

UNIVERSITE DE STRASBOURG
FACULTÉ DES SCIENCES



ANNUAIRE

de l'Institut de Physique du Globe

1934

Publié sous la direction de

E. ROTHÉ

Directeur de l'Institut et du Bureau central Séismologique

DEUXIÈME PARTIE

SÉISMOLOGIE

OBSERVATIONS DES STATIONS FRANÇAISES

BULLETIN

DU

BUREAU CENTRAL SÉISMOLOGIQUE FRANÇAIS

MENDE
IMPRIMERIE G. PAUC
PLACE URBAIN V

1936



INTRODUCTION



Au cours de l'année 1934 le personnel de l'Institut de Physique du Globe, Séismologie, est resté le même : M. J. Rothé, qui fit partie de la mission de l'Année polaire au Groenland a repris son poste. La station séismologique a été dirigée comme par le passé par M. Lacoste, professeur, aidé de M. Bois, assistant et des autres membres de l'Institut par roulement pendant les périodes de vacances. Ce sont eux qui ont procédé aux dépouillements des séismogrammes et à la détermination provisoire des épïcêtres.

La publication de l'Annuaire est faite exactement sur le modèle des années précédentes.

Le tableau I contient par ordre de date et d'heure, les observations des tremblements de terre à Al. Alger, Be. Besançon, Ba. Bagnères-de-Bigorre, Gr. Grenoble, Li. Lille, Ma. Marseille, Pa. Paris, PD. Puy-de-Dôme, St. Strasbourg. Une station a été établie provisoirement aux Granges-Gontardes pour l'étude des séismes fréquents qui se sont produits dans la Drôme (voir note spéciale). Le tableau a été établi conformément aux conventions internationales par M^{lle} J. Roess, également chargée de la rédaction du *Bulletin mensuel* provisoire du Bureau central séismologique français.

Les colonnes successives contiennent les dates, phases, heures, périodes des trains d'onde M, amplitudes correspondantes, distances de l'épïcêtre calculées, remarques et particularités. Une dernière colonne contient l'indication de la région probable de l'épïcêtre, toutes les fois que la détermination a pu être faite par M. Rothé, aidé de M. Bois, au moment de la révision des données en vue de la publication de l'annuaire.

Dans la plupart des cas, les coordonnées géographiques ne sont pas déterminées avec précision ; ce travail ferait double emploi avec celui qui, depuis la disparition du regretté M. H. Turner est continué à Oxford au nom de l'Union Géodésique et Géophysique Internationale sous la direction de M. Plaskett et sous le patronage de la *British Association* dont M. Whipple préside le comité séismologique.

Nous sommes heureux d'adresser nos remerciements aux diverses stations qui ont bien voulu nous faire parvenir les observations pour l'année 1934, (bulletins, cartes et renseignements) en outre des stations françaises et qui sont par ordre alphabétique :

Adélaïde	Copenhague <i>Kobenhavn</i>	Kucino
Alicante	De Bilt	La Jolla
Alipore (Calcutta)	Denver	La Paz
Almeria	Dyce (Aberdeen)	La Plata
Amboine	Ferndale	Lemberg <i>Lwów</i>
Apia	Florence <i>Firenze Ximeniano</i>	Little Rock
Bâle	Florissant	Malabar
Baku	Goettingue <i>Göttingen</i>	Málaga
Balboa Heights (Panama)	Graz	Manille <i>Manila</i>
Barcelone	Hambourg	Medan
Batavia	Haiwee	Melbourne
Beograd	Harvard (Cambridge)	Messstetten-Ebingen
Bergen	Hélouan <i>Helwan</i>	Mizusawa
Berkeley	Hof a. d. Saale	Montezuma
Bozeman	Honolulu	Mount Hamilton
Buffalo	Huancayo	Mount Wilson
Cape Town	Hukuoka	Nagasaki
Cartuja Granada	Irkutsk	Nagoya
Charlottesville	Istanbul	Neuchâtel
Chicago (Loyola University)	Ithaka	New-York (Fordham Univ.)
Chicago (U. S. C. G. S.)	Jena	Oosaka
Chiufeng	Karlsruhe	Ottawa
Coïmbre	Kew	Oxford
Coire <i>Chur</i>	Kôbe	Palo Alto
Columbia	Kôti	Pasadena

Peichiko (Nanking)	Seattle	Toronto
Perth	Sébastopol	Tortosa
Philadelphia	Simféropol	Toyooka
Pittsburgh	Sitka	Trieste
Prague <i>Praha</i>	Soengei Langka	Tübingen
Prato	Stuttgart	Tucson
Pulkovo	Sucre	Uccle
Quito	Sumoto	Ukiah
Ravensburg	Sverdlovsk	Vienne <i>Wien</i>
Reykjavik	Sydney (Obs.)	Vladivostock
Riverside	Sydney (Riv. Coll.)	Washington (Georgetown Univ.)
Rome	Tachkent <i>Tashkent</i>	Washington (U. S. C. O. S.)
Saint-Louis (J. S. A.)	Taunus	Wellington
San Fernando	Théodosia	Yalta
San Francisco	Tinemaha	Zagreb
San Juan	Tokio * <i>Tôkyô</i>	Zi-ka-wei
Santa Barbara	Tolède	Zurich

Un tableau II contient des renseignements sur l'agitation microséismique d'après les conventions adoptées par l'Observatoire de Bruxelles ; nous indiquons en microns l'amplitude des plus grandes ondes constatées dans l'intervalle de 15 minutes avant, 15 minutes après l'heure, aux heures 0, 6, 12, 18 sur les composantes N.S. et E.W. Ce tableau a été établi par M. Bois d'après les inscriptions de l'appareil Galitzine.

Pour l'Observatoire du Parc Saint-Maur, on a reproduit le journal séismologique dressé par M. Génaux, suivant les conventions adoptées par cet établissement. A savoir :

0, calme : les séismogrammes sont une ligne droite, sur laquelle on a toléré tout au plus des oscillations peu nombreuses et d'amplitude à peine perceptible.

1, peu agité : ondulations continues de très faible amplitude ou ondulations un peu plus grandes mais moins persistantes.

2, agité : ondulations continues d'amplitude notable, présentant parfois des maximums plus accentués.

3, très agité : oscillations continues et grandes, dont l'amplitude atteint souvent 2^{mm} sur les tracés (amplification 150 environ).

La troisième partie est consacrée aux tremblements de terre en France en 1934, par J.-P. Rothé, en Algérie par M^{me} Hée, en Tunisie par V. Lacroux, au Maroc par J. Debrach, à Madagascar par Ch. Poisson.

Des macroséismes figurent dans un tableau de M. Bois.

Nous rappelons que les amplitudes des maximums ont été calculées à Paris d'après les appareils Wiechert, pour lesquels le grandissement est voisin de 200 ; à Strasbourg, d'après les appareils Galitzine. Les autres stations françaises indiquent les amplitudes d'après les appareils Mainka. Les valeurs des constantes des appareils sont conservées dans les différents observatoires et à la disposition des personnes qui pourraient en avoir besoin. Les valeurs moyennes sont d'ailleurs publiées dans le *Bulletin provisoire* envoyé mensuellement par les stations d'Alger, Paris et Strasbourg.

Le réglage et la vérification des instruments de la station de Strasbourg sont assurés par M. J. Lacoste et M. Ch. Bois qui procèdent aussi au dépouillement des séismogrammes.

En annexe se trouvent deux notes de M. Lacoste sur l'agitation microséismique à Strasbourg en 1934, et sur la comparaison du mouvement microséismique à Strasbourg et à Bouxwiller, ainsi qu'une note de M^{me} A. Hée sur le tremblement de terre d'Algérie du 7 décembre. Le mouvement

* Le bulletin publié à Tokio contient les données de 123 stations japonaises. Parmi celles-ci, quelques unes publient et nous envoient un bulletin ; leurs noms figurent à leur place dans cette liste.

— v —

microsismique vertical à Strasbourg, en cours d'étude actuellement, sera l'objet d'une publication dans le prochain annuaire depuis 1927.

E. ROTHÉ.

N. B. Nous rappelons que les abréviations fréquemment utilisées sont :


J. S. A. pour le *Preliminary Bulletin* édité par la *Central Station of the Jesuit Seismological Association*.

U. R. S. S. pour le *Bulletin des Stations de 1^{re} classe du réseau sismique de l'U. R. S. S.*

U. S. C. G. S. pour le *Seismographic Report* de l'*United States Coast and Geodetic Survey*.

B. C. S. pour le *Bureau Central Sismologique*.

— VI —

 International
Seismological
Centre

LISTE
DES ETABLISSEMENTS DONT LES STATIONS FRANÇAISES DÉPENDENT
(personnel scientifique en 1934)

STRASBOURG

Institut de Physique du Globe de l'Université
de Strasbourg

Directeur : E. ROTHÉ.
Chef de service : J. LACOSTE.
Assistant : CH. BOIS.

ALGER-BOUZARÉAH

Observatoire de l'Université d'Alger

Directeur : V. LAGRULA.
Station sismologique
Chef de service : B. VESSELOVSKY.*

PUY-DE-DOME

Institut de Physique du Globe de l'Université
de Clermont-Ferrand

Directeur : G. GRENET.
Chef du service sismologique : J. COULOMB.

BAGNÈRES-DE-BIGORRE

Institut de Physique du Globe de l'Université
de Toulouse

Directeur : H. DAUZÈRE.
Chef de service : M. DORT.

LILLE

Observatoire de Lille

Directeur : M. GALLISSOT.
Assistant : L. LE THIERRY.

Le Bureau central sismologique français a été créé près de l'Institut de Physique du Globe
de Strasbourg (Décret du 28 juillet 1921) :

Directeur : E. ROTHÉ.
Assistante : M^{me} A. HÉE.

Des stations fonctionnent aussi dans diverses colonies :

Casablanca (Maroc).
Dakar (Afrique occidentale).
Fort-de-France (Martinique).
Ksara (République Libanaise).
Lomé (Togo).
Phn-Liên, près Haï-Phong (Tonkin).
Tananarive (Madagascar).
Tunis (Tunisie).

Directeur : Lieutenant de vaisseau ROUX.
Directeur : L. WELTER.
Directeur : A. ROMER.
Directeur : R. P. Ch. COMBIER.
Directeur : M. CARON.
Directeur : Lieutenant de vaisseau BRUZON.
Directeur : R. P. POISSON.
Directeur : V. LACROUX.

* M. Vessélovsky occupe ce poste depuis plusieurs années déjà, contrairement à ce qui était indiqué dans les annuaires précédents.

DONNÉES RELATIVES AUX STATIONS FRANÇAISES DONT LES OBSERVATIONS
FIGURENT DANS CETTE PUBLICATION



STRASBOURG

(Jardin de l'Université)

Coordonnées géographiques $\left\{ \begin{array}{l} \lambda = 7^{\circ} 45' 57'' \text{ E Gr} \\ \varphi = 48^{\circ} 35' 05'' \text{ N} \end{array} \right.$
 Altitude : 135 m.
 Sous-sol : gravier
 Appareils : Wiechert $\left\{ \begin{array}{l} \text{horizontal} \quad 1000 \text{ kg.} \\ \text{vertical} \quad 1200 \text{ kg.} \end{array} \right.$
 Sismographe horizontal 19-tonnes
 Galitzine $\left\{ \begin{array}{l} \text{deux horizontaux} \\ \text{un vertical} \end{array} \right.$

ALGER-BOUZARÉAH

Coordonnées géographiques $\left\{ \begin{array}{l} \lambda = 3^{\circ} 02' \text{ E Gr} \\ \varphi = 36^{\circ} 48' 04'' \text{ N} \end{array} \right.$
 Altitude : 332 m.
 Sous-sol : massif azoïque (schistes cristallins et calcaires métamorphiques).
 Appareils : Bosch-Mainka $\left\{ \begin{array}{l} 400 \text{ kg.} \\ \text{deux composantes} \end{array} \right.$

PUY-DE-DOME

Coordonnées géographiques $\left\{ \begin{array}{l} \lambda = 2^{\circ} 58' 01'' \text{ E Gr} \\ \varphi = 45^{\circ} 46' 28'' \text{ N} \end{array} \right.$
 Altitude : 400 m.
 Sous-sol : basaltes
 Appareils : Bosch-Mainka $\left\{ \begin{array}{l} 130 \text{ kg.} \\ \text{deux composantes} \end{array} \right.$

BAGNÈRES-DE-BIGORRIE

Coordonnées géographiques $\left\{ \begin{array}{l} \lambda = 0^{\circ} 09' \text{ E Gr} \\ \varphi = 43^{\circ} 01' \text{ N} \end{array} \right.$
 Altitude : 560 m.
 Sous-sol : terre rapportée, déblais.
 Appareils : Mainka B. C. S. $\left\{ \begin{array}{l} 450 \text{ kg.} \\ \text{deux composantes} \end{array} \right.$

LILLE

Coordonnées géographiques $\left\{ \begin{array}{l} \lambda = 3^{\circ} 04' 15'' \text{ E Gr} \\ \varphi = 50^{\circ} 30' 57'' \text{ N} \end{array} \right.$
 Altitude : 13 m.
 Sous-sol : marnes sur calcaire crayeux
 Appareils : Mainka $\left\{ \begin{array}{l} 130 \text{ kg.} \\ \text{deux composantes} \end{array} \right.$

PARC-SAINT-MAUR

(près Paris)

Coordonnées géographiques $\left\{ \begin{array}{l} \lambda = 2^{\circ} 29' 37'' \text{ E Gr} \\ \varphi = 48^{\circ} 48' 34'' \text{ N} \end{array} \right.$
 Altitude : 47 m.
 Sous-sol : calcaires du bassin de Paris
 Appareils : Wiechert horizontal 1000 kg.
 Mainka 400 kg.
 deux composantes.
 Galitzine $\left\{ \begin{array}{l} \text{deux horizontaux} \\ \text{un vertical} \end{array} \right.$

BESANÇON

Coordonnées géographiques $\left\{ \begin{array}{l} \lambda = 5^{\circ} 59' 15'' \text{ E Gr} \\ \varphi = 47^{\circ} 14' 59'' \text{ N} \end{array} \right.$
 Altitude : 311 m.
 Sous-sol : Bathonien moyen (calcaire compact).
 Bathonien inférieur (calcaire plus ou moins marneux en bancs lités). Bajocien.
 Appareils : Bosch-Mainka $\left\{ \begin{array}{l} 130 \text{ kg.} \\ \text{deux composantes} \end{array} \right.$

MARSEILLE

Coordonnées géographiques $\left\{ \begin{array}{l} \lambda = 5^{\circ} 23' 38'' \text{ E Gr} \\ \varphi = 43^{\circ} 18' 19'' \text{ N} \end{array} \right.$
 Altitude : 75 m.
 Sous-sol : calcaire.
 Appareils : Bosch-Mainka $\left\{ \begin{array}{l} 130 \text{ kg.} \\ \text{deux composantes} \end{array} \right.$

GRENOBLE

Coordonnées géographiques $\left\{ \begin{array}{l} \lambda = 5^{\circ} 42' \text{ E Gr} \\ \varphi = 45^{\circ} 11' \text{ N} \end{array} \right.$
 Altitude : 244 m.
 Sous-sol : rocher
 Appareils : Mainka B. C. S. $\left\{ \begin{array}{l} 450 \text{ kg.} \\ \text{deux composantes} \end{array} \right.$

Station provisoire.

LES GRANGES GONTARDES (DRÔME)

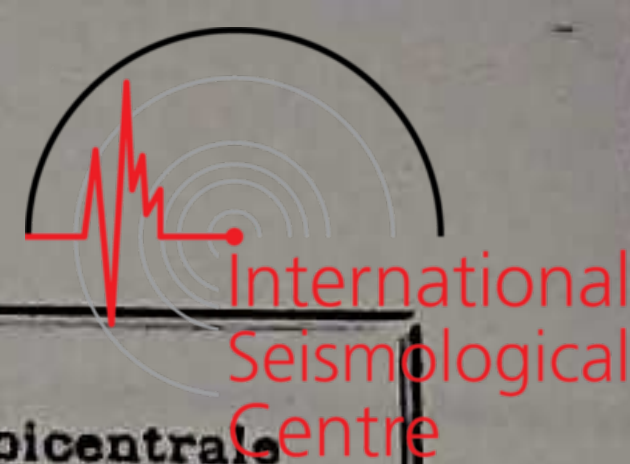
Coordonnées géographiques $\left\{ \begin{array}{l} \lambda = 4^{\circ} 46' \text{ E Gr} \\ \varphi = 44^{\circ} 22',5 \text{ N} \end{array} \right.$
 Altitude : 110 m.
 Sous-sol : calcaire
 Appareils : Mainka $\left\{ \begin{array}{l} 450 \text{ kg.} \\ \text{deux composantes.} \end{array} \right.$

1. Tremblements de terre inscrits



Date	Station	Phase	Heure			T s	Amplitudes			Δ km	Remarques	Région épiscoptrale probable
			h.	m.	s.		A _N μ	A _E μ	A _Z μ			
1 ^{er} Janv.	Ba	P? S? F	4	54	53					120	Correction d'heure très douteuse.	Ressenti en différents points de la côte du Golfe de Gascogne dans les provinces de Vizcaya et Navarra. (degrés IV-V)
	PD	e(P?) e ₁ e ₂ S F	4	56	17 34 54 57 04							
	Pa	e ₁ e ₂ F	4 5	57 58	36 14 02							
1 ^{er} »	St	e F	4 5	59 02								
	St	eL F	6 8	53 02							Galitzine.	Océanie 11° N 137° E
	Pa	traces	7	21-43							V. Galitzine.	Amboine P 6 ^h 17 ^m 47 ^s 980 ^{km} Batavia P 20 09 1740 Manille iP 21 40 2535
2 ^e »	St	e(P) e ₁ e ₂ eL F	21	04 07 13 20 22							V. Galitzine. E. Galitzine. N. Galitzine. Galitzine.	Mer d'Oman 16° N 57° E Hélonan iP 21 ^h 00 ^m 43 ^s Nanking eP 04 49 Manille iP 05 21 7165 ^{km}
	Pa	eL M F	21 22	15 29-30 02	15,13	6	4					
	St	iP ipP iP iPR ₁ ipPP ePR ₂ iS iPS iS iSR ₁ eL F	9	53 54 55 56 57 59 10 03 04 07 11	40 46 22 32 35 11 57 23 17 12 13 10					8450 Foyer profond	Dilatation, vert. V. Galitzine. V. N. Galitzine. V. E. Galitzine. V. Galitzine. H. Galitzine. E. Galitzine.	U.S.C.G.S. 53° N 155° E J. S. A. 53° 6' N 157° 3' E Foyer profond 250 ^{km} d'après les stations japonaises Mer d'Okhotsk S W du Kamtchatka Osaka P 9 ^h 46 ^m 53 ^s ,2 3202 ^{km} Nagoya P 46 57,1 Nanking iP 48 51 6380
3 ^e »	Pa	iP i PR iS L M F	9 10	53 55 56 03 13 26-27 11,6	49 30 43 05 05 13 5	10 12,14	15 3			7820	Dilatation.	
	Al	iP iS i(?) L F	9 10 11	54 04 06 19 15	47 44 48					8730	Très faible sur l'Est. Invisible sur le Nord.	
	PD	P? iS F	10	57 53	44 53							Cévennes ? Neuchâtel eP 10 ^h 58 ^m 10 ^s ,2 360 ^{km} Zürich eP 58 43,2
4 ^e »	Pa	e F	10 11	58 00	21						V. Galitzine.	
	St	eL F	14	17 46							Galitzine.	La Paz iP 13 ^h 44 ^m 48 ^s 5350 ^{km} Foyer profond.
6 ^e »	Pa	eL F	14	29 41							V. Galitzine.	
	Al		14	ca								Algérie Région Chercbell

Date	Sta- tion	Phase	Heure			T s	Amplitudes			Δ km	Remarques	Région épiscoptrale probable
			h.	m.	s.		A_N μ	A_E μ	A_Z μ			
15 Janv. (suite)	PD (suite)	PS? SR ₁ L F	07	23	35							
	Al	P	08	54	27				7680	Heure de P approximative, pas d'int. min.		
		PR ₁	09	03	31							
		S	08	27								
		SR ₁	11	45								
		SR ₂	11	45								
			L F	Changement des feuilles 11								
	Ba	eP	08	54	40					Int. min.		
		e?			55							
		SR ₁ ?	09	08	07							
		L F	Changement des feuilles à 0 ^h 02. 11									
16 "	St	e(P)	19	02					V. Galitzine. E. Galitzine. Galitzine. " " "	Au S. des îles Palau 5° N 135° E Manille iP 18 ^h 42 ^m 02 ^s 1900 ^{km} Medan iP 45 22 2990 Chiufeng P 46 34 3720		
		e ₁		05								
		e ₂		08								
		eL		30								
		F	20	10								
Pa	eP	19	09					V. Galitzine.				
	L		41									
	F	20	08									
19 "	St	eL	10	33				V. Galitzine. "	Pacifique côte Mexique d'après U.S.C.G.S. 22° N 109° W	Tucson eP 9 ^h 58 ^m 08 ^s Florissant eP 10 00 49 San Juan ePP 05 11		
		F	11	06								
Pa	traces	10	39					V. Galitzine. "				
	F		55									
19 "	St	eL	13 02-36						Galitzine. V. Galitzine.	Nord Birmanie 26° N 96° E Nanking eP 12 ^h 37 ^m 34 ^s 2180 ^{km} Chiufeng iP 37 49 2310 Medan iP 38 09 4050		
		Pa	traces 13 14-37									
19 "	Ma	i ₁	14	00	10				Local.	Marseille		
		i ₂ F			12 02							
20 "	Pa	e	18	07					Galitzine. "	Chine Chiufeng P 17 ^h 57 ^m 39 ^s 500 ^{km} Nanking iP 59 08 1440 Medan iP 18 09 17 6540 Ressenti dans le Chan Si à Tai Yuan et Woo Yuan, petits dommages. 39° N 112° E Trieste indique un macroséis- me en Turquie.		
		L		33								
		M		40-41		13,13	24	29				
		F	19	35								
	St	eL	18	28					Galitzine. "			
M		38	30	12	-17	+20	+17					
	F	19	10									
20 "	St	eL	23	19					Galitzine. "	Japon Sud de Formose Chiufeng (P) 22 ^h 51 ^m 36 ^s 2835 ^{km} Nanking iP 54 21 Nagasaki P 54 46,7		
		F		0 16								
Pa	eL	23	24					Galitzine. "	Côte Mer de Chine 26° 5' N 121° E d'après Nanking Nagasaki P 6 ^h 57 ^m 52 ^s ,5 1560 ^{km} Chiufeng P 59 12 1565 Osaka P 59 14,4 3430			
	F		0 16									
21 "	St	eL	7	38					Galitzine. "	Nanking eP 7 ^h 51 ^m 48 ^s 1245 ^{km} Hukuoka P 52 23,0 1610 Chiufeng iP 53 34 1710 Bashi Channel		
		F	8	15								
Pa	eL	7	45					Galitzine.				
	M		52-53		14,13	5	4					
	F	8	10									
22 "	St	eL	8	38					Galitzine.			
		F		56								
Pa	eL	8	40					Galitzine.				
	F		58									



Date	Station	Phase	Heure			T s	Amplitudes			Δ km.	Remarques	Région épiscoptrale probable
			h.	m.	s.		A _N μ	A _E μ	A _Z μ			
30 Janv. (suite)	Pa	eL	20	07		17,17 19	10	12			Etats-Unis Ressenti à l'Est de Nevada Dommages à Mina-Nevada U.S.C.G.S. 38°23' N 118°07' W Ukiah iP 20 ^h 17 ^m 28 ^s Tucson P 18 36 Boziman P 46	
		L	20	48								
		M ₁	21	00-01								
		M ₂	21	03-04								
	St	F	22	12								
		e(P)	20	29		18 16 15	+15	-12	+13	V. Galitzine. E. Galitzine. N. Galitzine.		
		e	20	34								
		e(S)	20	40								
	eL	21	52									
	Al	M ₁	21	03	30							
		M ₂	21	06	30							
		M ₃	21	07	00							
F		22	20									
31	St	P	20	30						Dilatation. Verticaux.	Samoa Ressenti à Samoa 14° S 173° W Apia iP 10 ^h 07 ^m 08 ^s 155 ^{km} Christchurch iP 12 50 290 Pasadena iP 17 59 d'après U.S.C.G.S. 16° S 174° W	
		S	20	40								
		L	21	57								
		M	21	02	30							
Pa	F	21	45									
	P _r	10	26	18								
	i	10	30									
	eL	11	14									
Pa	F	12	25									
	eP	10	26	17								
	iP	10	26	28								
	L	11	21									
2 Février	St	M ₁	11	25-26		22	8					
		M ₂	11	27-28		22		7				
		M ₃	11	30-31		21	7					
		F	13	6								
2	Pa	cL	15	51		19 20	7	9		Galitzine. "	Région îles Carolines 6° N 146° E d'après U.R.S.S. Batavia iP 15 ^h 11 ^m 09 ^s 3480 ^{km} Chiufeng iP 14 01 Sydney iP 16 54	
		F	17	30								
		eL	16	09								
		M ₁	16	16-17								
2	St	M ₂	16	19-20								
		F	16	58								
		eL	17	13								
		F	18	00								
2	Pa	eL	17	13							Emergences et longues	
		F	18	00								
		e	20	02								
		F	20	05								
3	Ba	eL	20	05								
		F	20	36								
		i	1	53	12							
		F	1	54	30							
3	St	eP'	14	52	17	19 18 18	+23 -22	+12	+18	V. Galitzine. " " Int. min. V. Galitzine. V. N. Galitzine. N. Galitzine. Galitzine. "	Ile Nouvelle-Poméranie 4° S 152° E d'après U.R.S.S. 5° S 151° E app' d'après U.S.C.G.S. Manille iP 14 ^h 40 ^m 14 ^s 4535 ^{km} Vladivostok iP 42 19 5550 Chiufeng iP 47 6045	
		iPR ₁	14	54	17							
		i	14	44								
		ePR ₂	14	57	(00)							
		i	14	24								
		eSP _c S	14	59	13							
		ePS	15	04	20							
		eSR ₁	15	11	30							
		eSR ₂	15	16	35							
		eL	15	32								
		M ₁	15	49	10							
		M ₂	15	20								
M ₃	15	52	30									
F	17	10										
Pa	e ₁	14	52	25								
	e ₂	14	54	33								
	L	15	38									
	M ₁	15	51-52		21	20						
3	Pa	M ₂	15	52-53		24,20	20					
		M ₃	15	53-54		21						
		F	17	2								

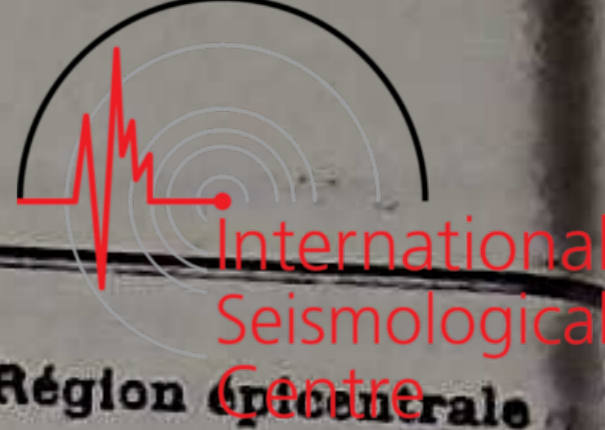
Date	Station	Phase	Heure			T s	Amplitudes			Δ km	Remarques	Région épiscoptrale probable
			h.	m.	s.		A _N μ	A _E μ	A _Z μ			
4 Février	St	P	9	37	59	6 8	-53 8	-39	+10	1340	Dilatation, V. Wiechert.	Albanie 40° N 20° E Ressenti fortement sur la côte de l'Albanie méridionale. Trieste iP 9h 36m 51s 730km Trévisé iP 37 02 980 Kew iP 39 21 2230
		i	38	19								
		eR ₁ P	40	06								
		eS	41	16								
		e	41	22								
		eL	42	00								
	M ₁	42	00									
	M ₂	10	15									
	F	10	15									
	Pa	e(P) ₁	9	41	52	8,15 15,13	9 2	12 11		(1465)		
e(S)		44	29									
L		45										
M ₁		9	45-46									
M ₂		47-48										
F		10	21									
Al	iL(M?)	9	43	43								
	F	47										
4 "	St	eP	13	34	30	18 15 15 12	+42 -44	+14	+8	4200	Verticaux. V. E. Galitzine. H. Galitzine. Int. min., N. Galitzine.	Perse 31°5 N 51° E d'après U.R.S.S. Baku eP 13h 29m 42s Ksara eP 30 35 2810km Helwan iP 31 23 Trieste iP 33 51,5 3540
		ePR ₂	36	13								
		eS	40	14								
		eSR ₁	43	(00)								
		eL	45									
		M ₁	49	50								
	M ₂	51	10									
	M ₃	54	30									
	M ₄	54	30									
	F	15	30									
Al	eP	13	34	44					4300			
	eS	40	50									
	eL	46										
	(eM)	54										
Pa	F	14	15									
	eP?	13	35	05					4320 ?			
	iS	41	13									
	L	46										
	M ₁	51-52										
	M ₂	53-54										
F	15,6											
4 "	Pa	e	22	22					4320 ?			
		L	23	08								
		F	0,3									
St	eL	22	26					Galitzine.		Mer de Banda 5° S 130° E Amboine iP 22h 01m 39s 290km Batavia iP 06 19 2530 Osaka P 08 43,7 3447		
	F	23	58									
9 "	St	eL	9	47					Galitzine.		Pacifique 0° 155° E d'après U.R.S.S. Manille iP 9h 34m 51s 1900km Wellington P 36 52 4280 Nanking P 37 50 4455	
		F	11	14								
	Pa	e	9	50		19,22	10	8				
		L	10	34								
		M	47-48									
		F	11	42								
Al	L	10	29					Seulement sur L.				
	F	11	00									
9 "	St	eL	11	18					Galitzine.		Données discordantes Probablement plusieurs secousses distinctes.	
		F	12	53								
	Al	L	12	08								
		F	12	25								
Pa	eL	12	15									
	F	12	43									
9 "	St	eP ₁	22	51	35				V. Wiechert, Galitzine.		Pacifique au S des Iles Fidji 21° S 178° W Apia 22h 34m 05s 7°3 Wellington 36 45 20°7 Chiufeng 44 34	
		iP ₂	42									
		i	51									
		F	56									

Date	Station	Phase	Heure			T s	Amplitudes			Δ km	Remarques	Région épicertrale probable
			h.	m.	s.		A _N μ	A _E μ	A _X μ			
Fevrier (suite)	Pa	e(P) e F	22	51	35 44							
11	St	eL F	10	05	42					Galitzine.	Pacifique, région du Japon 36° 7' N 142° E d'après U.R.S.S. Vladivostok iP 9 ^h 04 ^m 15 ^s 1120 ^{km} Amboine P 04 59 3600 Manille iP 07 01 3875	
	Pa	eL F	10	12	46							
12	Pa	eL F	7	32	57						Région Panama Ressenti à Balboa et El Vulcan 9° N 84° W d'après U.S.C.G.S. Balboa eP 6 ^h 44 ^m 22 ^s San Juan iP 47 34 Huancayo iP 48 20	
	St	eL F	7	35	50					H. Galitzine.		
12	St	eL F	11	55	13 09					Galitzine.	Siam 17° 5' N 99° E d'après U.R.S.S. Manille iP 11 ^h 35 ^m 24 ^s 2380 ^{km} Zi-Ka-Wei iP 35 43 2733 Batavia iP 36 37 Sverdlovsk iP 39 27 5390	
	Pa	e L M ₁ M ₂ F	12	02	15 17-18 19-20 13,6	15 16	3	4				
13	Pa	eP L M F	9	56	05 55 10 05 05-06 11,8	18,13	5	4			Mer du Groenland 73° N 17° W d'après U.R.S.S. Scoresby Sund iP 9 ^h 52 ^m 21 ^s	
	St	iP eS eL F	9	57	08 10 01 35 04 35				2780	Dilatation, V. Galitzine. H. Galitzine.	Copenhague iP 56 11 Lund iP 56 12 Pulkovo iP 56 33 2380 ^{km}	
14	St	iP i(pP?) iPR ₁ i(pPP?) ePR ₂ ePR ₃ S.P.S. iS iPS sS? iSR ₁ SR ₃ L M ₁ M ₂ M ₃ M ₄ M ₅ M ₆ M ₇ M ₈ M ₉ M ₁₀ F	4	12	38 52 16 13 33 18 26 20 02 23 08 32 24 38 25 42 29 48 36 15 42 48 26 45 50 40 53 00 50 55 00 50 57 39 53 58 30 7 30	20 20 15 15 15 15 15 15 18 12 15 15	+400 -235 -290 +240 -173 +195 +240 +375 -113 -162 +175			9900	Compression. Azimut 65° - e = 65°.	Philippines Ressenti au Nord de Luzon Dilatation - Petits dommages dans quelques villes au NW de la côte de Luzon. Inten- sité V à Vigan et Laoag. Vagues observées sur la mer au S de Vigan. Epicentre 17° 20' N 119° 22' E 17 répliques Manille iP 4 ^h 00 ^m 32 ^s 345 ^{km} Phu-Lien iP 02 33 1350 Zi-Ka-Wei P 03 00 1500 Nagasaki iP 03 49,7 1950
	Gr	iP PR ₁ S L F	4	12	38 16 24 23 43 35 6 00							
	Pa	iP PR ₁ (S) (PS) L	4	12	54 16 40 23 27 23 40 38				(9500 ?)	Compression.		

Maximum calculés sur les Wiechert.

Date	Sta- tion	Phase	Heure			T s	Amplitudes			Δ km	Remarques	Région épicentrale probable
			h.	m.	s.		A _N μ	A _E μ	A _Z μ			
14 Févr. (suite)	Pa (suite)	M ₁	50	51		22	140			10045	E. N. E. N. Int. min. E. E.	
		M ₂	51	52		23		130				
		M ₃	53	54		18	190					
		M ₄	57	58		17		180				
		M ₅	59	60		15,15	140	180				
		M ₆	5	02-03		16		190				
		F	7,5									
	Ma	eP	4	13	00							
					05							
		PR ₁		16	54							
PR ₂			19	30								
S _c P _c S _c ?			23	35								
S					56							
Ba	eP	4	13	15								
	ePR ₁		17	15								
	eS		24	38								
	L			35								
	F	6										
Al	iP	4	13	21								
	PR ₁		17	18								
	PR ₂		19	28								
	S _c P _c S _c		23	50								
	PS		26	20								
	SR ₁		31	42								
	SR ₂		35	24								
	L		47	20								
	eM		51	15								
	M ₁	5	04		18							
F	6	10										
14 »	Pa	eL	7	25					V. Galitzine.	Chiufeng eP 7 ^h 17 ^m 37 ^s Vladivostok P 56 36 Sverdlovsk iP 8 00 41		
		F	9	00								
14 »	St	eL	8	05					Galitzine. Compression	Philippines 17° N 121° E Ile Luzon Manille P 17 ^h 15 ^m 40 ^s 345 ^{km} Nanking iP 18 09 (1710) Chiufeng iP 19 42 2520		
		F	9	01								
14 »	St	eL	18	01					Galitzine. Compression	Mexique Colima d'après U.S.C.G.S. 17° N 106° W app ^t Little Rock iP 22 ^h 22 ^m 56 ^s 20 ⁹ Phases incomplètes.		
		F		43								
14 »	Pa	eL	18	07					V. Galitzine.	Pas de données		
		F		32								
14 »	St	eL	22	58					Galitzine.	Ile Sakishima Manille P 6 ^h 38 ^m 34 ^s 1190 ^{km} Osaka P 43 58,2 1720 Emergences ailleurs		
		F	23	44								
14 »	Pa	eL	23	08					Galitzine.	Nouvelle Guinée 2° S 132° E Amboine iP 21 ^h 02 ^m 31 ^s 500 ^{km} Manille P 06 34 2255 Tachkent P 13 14 Sverdlovsk iP 14 19 8960		
		F		54								
15 »	Pa	traces F	4	14 31					V. Galitzine.			
16 »	St	eL	6	57					Galitzine.			
		F	8	00								
16 »	Pa	e	7	16					Galitzine.			
		L		36								
		M		47		10,11	2	2				
		F	8	13								
17 »	St	eL	21	55					Galitzine.			
		F	23	01								
17 »	Pa	traces F	22	09 29					V. Galitzine.			

Date	Sta- tion	Phase	Heure			T s	Amplitudes			Δ km	Remarques	Région épiscoptrale probable
			h.	m.	s.		A _N μ	A _E μ	A _Z μ			
19 Févr.	St	eL F	10 12	43 14						Galitzine.	Mer des Indes 4° S 96° 5 E Medan iP 10 ^b 26 ^m 35 ^s 1080 ^{km} Phu-Lien P 30 11 2800 Manille iP 28 4140	
	Pa	eL F	11 12	17 12						"		
20 "	Pa	eL F	4 4	10 48						V. Galitzine. Compression.	Pacifique 5° S 103° 5 W d'après U.S.C.G.S. La Paz iP 3 ^b 26 ^m 15 ^s 4280 ^{km}	
	St	eL F	4 4	10 50						Galitzine.		
20 "	St	eL F	13 13	24 26						Galitzine.	Emergence à San Fernando	
	Pa	eL F	13 13	26 38						V. Galitzine.		
21 "	St	iP eSR ₁ ? eL F	0 1	44 47 55 11	21 52					1830 ? Compression, V. Galitzine. V. N. Galitzine.	Méditerranée 35° N 21° E d'après U.R.S.S. Prato eP 0 ^b 43 ^m 18 ^s 2990 ^{km} Baku eP 45 24 2450 Pulkovo eP 50 2800 Phases sans impetus nets	
	Pa	eL F	0 1	49 11						V. Galitzine.		
21 "	Al	iP eS L F	11 12	41 44 49 00	06 12				1780		Méditerranée Réplique 34° N 24° 5 E Helwan iP 11 ^b 39 ^m 18 ^s Göttingen iP 41 44 2400 ^{km} Cart. Gran. iP 42 04 2550	
	St	iP eS eL F	11 12	41 44 48 15	25 53				2050	Dilatation, V. Galitzine. N. Galitzine.		
22 "	Pa	iP e L M F	11 12	41 46 50 52-53 13	06 12	13,13	3	2			Méditerranée Réplique 34° N 24° 5 E Helwan iP 11 ^b 39 ^m 18 ^s Göttingen iP 41 44 2400 ^{km} Cart. Gran. iP 42 04 2550	
	St	eP e(S) e eL F	8 9	13 18 20 23 00	(18) 36 (02)				(3700)	V. Galitzine. E. Galitzine. V. N. Galitzine, int. min.		
22 "	Pa	e L M ₁ M ₂ F	8 9,7	14 19 27-28 30-31		23,22 14,16	14 5	10 8			Perse 39° N 44° 5 E d'après U.R.S.S. Baku iP 8 ^b 08 ^m 25 ^s Helwan iP 10 37 Tachkent iP 11 43 2120 ^{km}	
	Al	L F	8	24 37								
24 "	St	eL F	1 2	02 10						Galitzine.	Atlantique vers 12° N 40° W Ottawa eP 0 ^b 55 ^m 20 ^s Florissant eP 56 05 Trieste eP 57 24	
	Pa	eL F	1	11 38								
24 "	St	iP ipP iPR ₁ pPP PR ₂ SP ₂ S SP ₂ PS iS PS iSR ₁	6	37 38 41 42 45 47 48 50 55	21 08 22 15 15 20 17 41 20 30				10844 Foyer profond	Compression, V. Galitzine. V. Galitzine.	Pacifique S de l'île Bonin à 300 kilomèt. de Titisima. 24° 5 N 143° E d'après les stations japonaises U.S.C.G.S. indique 23° N 144° E Osaka P 6 ^b 26 ^m 51,9 ^s 1588 ^{km} Nagasaki iP 27 27,8 Hukuoka P 29,1 1830	



Date	Station	Phase	Heure			T s	Amplitudes			Δ km	Remarques	Région épicentrale probable
			h.	m.	s.		A _N μ	A _E μ	A _Z μ			
24 Févr. (suite)	St (suite)	L	7	10								
		M ₁	21	00	16			+59				
		M ₂	22	50	20			+60				
		M ₃	23	30	20		-75					
		M ₄	26	00	16			+68				
		M ₅	26	50	20				+92			
		M ₆	27	00	16		-75					
		M ₇	28	40	18				-65			
		M ₈	29	00	18		-73					
		M ₉	30	30	16				+50			
	F	10	30									
	Pa	(eP)	6	37	32						9535	
		PR ₁	41	40								
		S	48	07								
		L	7	00								
		M ₁	14-15		34			86				
		M ₂	18-19		19,23	41		82				
		M ₃	21-22		19,17	85		77				
	F	10,5										
	Gr	e	6	39	50							
		L	7	00								
		F	8	30								
PD	e	6	41	54								
	L	7	18									
	F	8	46									
Ba	e ₁	6	42	25								
	e ₂	48	37									
	L	7	00									
	F	Changement des feuilles.										
Al	eP	6	42	29						8700		
	eS	52	24									
	SR ₁	57	37									
	L	7	08									
	F	9	15									
24	Al	iP	18	09	04					240		
		iS			34							
		R ₁ S			47							
		F?	12									
25	St	eL	17	11								
		F	40									
	Pa	cL	17	17								
		F	42									
28	Pa	e ₁	14	(41)								
		e ₂	43	42								
		e ₃	55	18								
		L	15	01								
		M ₁	28		30,23	59	39					
		M ₂	39-40		20,21	56	55					
	F	17,7										
	St	e(PR ₁)	14	42	(30)						(13800 ?)	
		S _c P _c P _c S	49	51								
		ePS?	53	08								
		cL	15	00								
		M ₁	32	25	19	+40						
		M ₂	45		20		+28					
M ₃		35	50	18		+46						
M ₄	36	00	19	+87								
M ₅	38	00	18		-61							
M ₆	50		16	-51								
F	17	50										
Ba	eL	15	23									
	F	16	00									
PD	eL	15	25									
	F	16	40									

Algérie.

Galitzine.

Philippines
 18° N 122° E
 Manille iP 16^b23^m 52^s 370^{km}
 Osaka P 27 53,1 2155
 Chiufeng iP 28 02 2580

Région
 Ile Salomon
 Nouvelle Poméranie
 6°5 S 148° E
 d'après U.R.S.S.
 Amboine P 14^b26^m 23^s 2640^{km}
 Nagasaki P 29 44,0
 Zi-Ka-Wei iP 30 06 6233

H. Galitzine.
 (V. Galitzine arrêté).



Date	Station	Phase	Heure			T s	Amplitudes			Δ km	Remarques	Région épiscopentrale probable
			h.	m.	s.		A_N μ	A_E μ	A_Z μ			
28 Févr. (suite)	Al	L M F	15 23 16 04 16 32									
1er Mars	St	eL F	4 50 5 49									
1er »	St	eL F	20 20 21 55									
	Pa	e L M ₁ M ₂ F	20 (21) 52 58-59 21 00-01 21,9		21,21 18,19	12 6	9 6					
1er »	Al	eP PR ₁ S _c P _c S i? L M F	21 59 19 23 03 34 09 48 18 00 33 40 (45) 23						12000 ?			
	Pa	iP _v e ₁ e ₂ L M ₁ M ₂ M ₃ F	22 04 28 10 16 13 41 31 42-43 47-48 53-54 23,9		19 21,16 20	11 10	4 10					
	St	e(PR ₁) S _c P _c S S _c P _c P _c S iS ePS ePPS eSR ₁ SR ₂ eL F	22 04 40 10 32 11 29 12 28 14 21 15 09 20 20 24 14 30 0 20									
2 »	St	eL F	20 48 21 15									
	Pa	traces F	20 56 21 18									
3 »	Pa	eL F	10 22 38									
4 »	St	iP' i iPR ₁ eL F	6 14 40 15 05 17 57 7 00 8 10						15800			
	Pa	iP _v L M F	6 14 44 7 13 21-22 8,3		20		5					
4 »	St	c ₁ (P?) e ₂ eL F	11 29 (30) 43 52 13 00									

Début noyé dans l'agitation.

Galitzine.

H. Galitzine.

12000 ?

12220

15800

Galitzine.

V. Galitzine.

V. Galitzine.

Compression, V. Galitzine.
V. Galitzine.

Galitzine.

Compression.

V. E. Galitzine.
E. Galitzine.
Galitzine.

Pacifique
Manille P 3^h 55^m 11^s 4210^{km} ?
Phases mal définies dans les
diverses stations.

Pacifique
Région Nouvelle G^de Bretagne
2^o,5 S 162^o,5 E
d'après U. R. S. S.
Amboine 19^h 45^m 46^s 2370^{km}
Manille 48 03 4045
Batavia 58

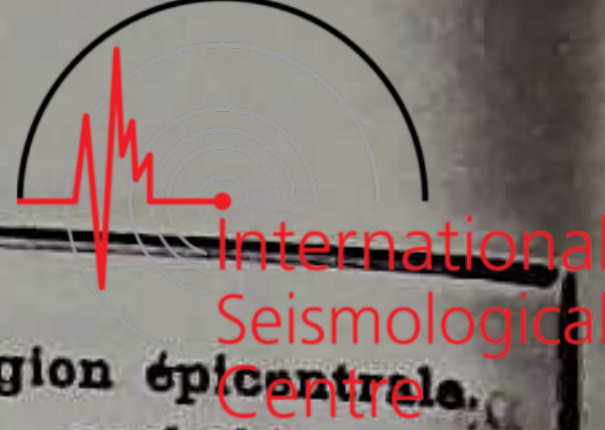
Chili
Ressenti à Puerto Montt
près Valdivia
39^o,7 S 73^o,7 W
d'après La Paz
Sucre iP 21^h 50^m 07^s 2320^{km}
La Paz iP 50 38 2570
Huancayo iP 51 17

Pacifique
Vladivostok P 19^h 56^m 44^s 830^{km}
Emergences et ép'ailleurs

Pas d'autres données

Nouvelles Hébrides
d'après Vladivostok
16^o,7 S 168^o,3 E
Sydney iP 6^h 00^m 25^s 2420^{km}
Wellington P 30 26^o3
Batavia iP 05 14 6700^{km}

Mer de Bering
58^o N 171^o E
Vladivostok P 11^h 22^m 49^s 3160^{km}
Sverdlovsk iP 26 38 5680
Manille iP 50 5925



Date	Station	Phase	Heure			T s	Amplitudes			Δ km	Remarques	Région épiscopale probable
			h.	m.	s.		A _N μ	A _E μ	A _Z μ			
4 Mars (suite)	Pa	e ₁	11	43								
		L		56								
5	Pa	M ₁	12	05-06		20		8				
		M ₂		10-11		16,16	7	4				
		F		13,3								
		eP ₁	12	06 21								
		(PR) ₁		11 35								
		L		32								
		M ₁	13	08-09		37		73				
		M ₂		10-11		19,39	16	82				
		M ₃		20-21		20,21	62	39				
		M ₄		24-25		21		84				
	St	M ₅		27-28		21,20	108	59				
		M ₆		34-35		19,19	66	56				
		F		16,1								
		iP ₁	12	06 21						18267	V. Galitzine, Compression.	
		i(P ₂)		07 29								
		eS _c P _c P		09 36								
		iPR ₁		11 13								
		eS _c P _c S		13 00								
		ePR ₂		16 00								
		ePR ₃		18 03								
	Al	ePR ₄		19 50								
		SR ₁		32 00								
		eL	13	00								
		M ₁		21 30		19		-49				
		M ₂		24 30		19	-70					
		M ₃		25 20		19		-62				
		M ₄		28 00		19	+63					
		M ₅		29 00		16		-48				
		M ₆		30 00		19	-65		-43			
		M ₇		32 00		16		-43				
	Ba	M ₈		30		19	-67					
		M ₉		36 00		15		-39				
		F	15	30								
		P _{1E}	12	06 28						18965 ?	Interprétation douteuse.	
		P ₂		08 15								
		PR ₁		11 48								
		PR _{2E}		15 52								
		S _c P _c P _c S		18 33								
		PS _c P _c S		22 15								
		SR ₁		32 32								
	PD	L	13	00								
		M		11 (45)								
		F	14	30								
		e ₁	12	07								
		e ₂		12 36								
		L		33								
		F	15									
		e ₁	12	13 57								
		e ₂		34 04								
		eL	13	15								
6	Pa	F	14									
		e	14	51 03								
		L		15 30								
		F		16,3								
		eL	15	12								
		F	16	12								
		eL	15	12								
		F	16	12								
		eL	15	12								
		F	16	12								
7	St	e(P?)	22	54								
		e(S?)	23	03								
		eL		15								
		F	0	20								
		eL	15	12								
		F	16	12								
		eL	15	12								
		F	16	12								
		eL	15	12								
		F	16	12								

Nord Nouvelle Zélande
 41° S 176°5 E
 Wellington P 11^h46^m 38^s 19,3
 Christchurch iP 47 15
 Sydney iP 50 50

Sibérie,
 côtes de la Mer Glaciale
 68° N 171° E
 Sitka eP 14^h 49^m 30^s
 Sverdlovsk eP 52 09
 Tachkent P 53 31

Amérique Centrale
 Région Honduras
 13°5 N 87°5 W
 d'après U.S.C.G.S.
 San Juan eP 22^h46^m 40^s
 St-Louis iP 47 19 24,7
 La Paz eP 48 53 4210^{km}

Date	Sta- tion	Phase	Heure			T s	Amplitudes			Δ km	Remarques	Région épicroentrale probable
			h.	m.	s.		A _N μ	A _E μ	A _Z μ			
7 Mars (suite)	Pa	e, L, M ₁ , M ₂ , F	23	04		22,19	8	6,				
				20		18		6				
			24-25									
			26-27									
			0	37								
8 "	Al	iP iS F	0	17 54					100		Algérie Beni-Sliman (A)	
				18 07								
				19 00								
8 "	St	iP eS eL F	3	01 17					2200	V. Galitzine, compression. N. Galitzine. Galitzine.	Ile de Crète 35° N 25° E Baku P 3 ^h 01 ^m 43 ^s 2010 ^{km} Pulkovo iP 02 30 2690 Sverdlovsk eP 03 28 3530	
				04 57								
				08								
				19								
9 "	Pa	eL F	3	05						V. Galitzine.		
				24								
9 "	St	eL F	14	34						Galitzine.	Japon Ile Yeso 43° N 142° 5 E d'après Baku Sverdlovsk eP 14 ^h 11 ^m 02 ^s 5610 ^{km} Baku eP 13 05 7200	
				15 26								
10 "	Pa	eL F	14	48						V. Galitzine.	Longues à Tachkent, Sverdlovsk, Kucino. Peut-être séisme local de Nouvelle-Zélande Wellington P 8 ^h 54 ^m 25 ^s 1° 75	
				15 31								
10 "	Pa	eL F	9	23						V. Galitzine.		
				10,9								
12 "	St	eL F	9	25						Galitzine.		
				10 04								
12 "	St	iP eL M ₁ M ₂ M ₃ M ₄ F	15	17 31		14		+12		V. Galitzine, compression.	Amérique du Nord Monts Wasach Ressenti dans la région de Salt Lake City (Utah) 41° 7 N 113° W Bozeman eP 15 ^h 06 ^m 50 ^s Ukiah iP 07 47 Tucson iP 08 04 St-Louis iP 09 39 16° 9	
				35		15						
				49 00		14	-14					
				20		14						
				51 30		14						
				53 20		14						
				17 00								
12 "	Al	eP iS L M F	15	18 01					9250	Int. min.		
				28 23								
				44								
				49								
				16 30								
12 "	Pa	eL M ₁ M ₂ F	15	36		17,16	16	19			Amérique du Nord Ressenti au Nord d'Utah 41° 7 N 112° 8 W Réplique Sitka iP 18 ^h 24 ^m 04 ^s Florissant iP 17 170 ^{km} Cincinnati iP 56	
				49-50		13,14	10	10				
				52-53								
				16,9								
12 "	Pa	eL M F	18	56		16		6				
				19 03-04								
				20,3								
13 "	St	eL F	18	58						Galitzine. Forte agitation.		
				19 11								
13 "	St	e ₁ c ₂ eL M ₁ M ₂ F	13	30		18	+10	+9		V. Galitzine. H. Galitzine.	Iles de Sainte-Croix 10° S 165° E d'après U R S S. Suva P 13 ^h 16 ^m 06 ^s 15° 8 Sydney eP 17 10 Wellington P 18 20 31° 7	
				35		16						
				14 00								
				38 20								
				41 30								
				16 00								
13 "	Pa	e, L M ₁ M ₂ M ₃ F	13	(32)		20		10				
				14 08		21		9				
				35-36		20,19						
				38-39								
				39-40								
				16,2								
13 "	Al	e(P?) L F	13	32 26								
				14 04								
				15 15								

Date	Station	Phase	Heure			T s	Amplitudes			Δ km	Remarques	Région épiscoptrale probable
			h.	m.	s.		A _N μ	A _E μ	A _Z μ			
14 Mars	St	eL F	5	02	18							
	Pa	Traces F	5	05	21							
15 "	St	eL F	12	09	13 04							
	Pa	e, F	12	21	13,0							
18 "	St	eL F	5	05	40							
20 "	St	e ₁ e ₂ eL F	3	15	21 38 48							
	Pa	eL, M ₁ M ₂ M ₃ F	3	43	54-55 55-56 56-57 4,4	22,21 21,19 20,18	12 10 11	9 8 6				
21 "	St	eL F	1	38	2 00							
	Pa	Traces F	1	44	2 11							
21 "	St	e F	6	25	42							
22 "	St	eL F	20	52	21 28							
24 "	Ba	(e) L F	12	23	13 10 14 40							
	Pa	e(P), iPR e L M ₁ M ₂ M ₃ M ₄ M ₅ M ₆ F	12	23	26 48 28 45 13 05 07-08 15-16 19-20 20-21 22-23 28-29	43 34 26 27,25 22,22 21	76 78 73 38	56 50 49 35				
	S	eP' PR ₁ S _c P _c P i S P S S _c P _c P _c S PPS SR ₁	12	23	51 26 35 27 31 28 25 30 59 33 23 38 26 44 23				15100		Verticaux.	

Pacifique
La Paz eP 4^h 48^m 19^s 4325^{km}
Emergences et longues ailleurs

Nouvelle Zélande
Ressenti dans l'île du Nord
sauf dans la péninsule
d'Auckland et dans plusieurs
stations de l'île Sud
39° 6' S 177° 4' E
Hastings P 10^h 46^m 30^s
Bunnythorpe P 47 00
Arapuni P 12

Région Kamtchatka
Ile Paramuschir
50° 5' N 155° E
d'après U. R. S. S.
Vladivostok iP 4^h 37^m 22^s 1920^{km}
Nagoya iP 37 47,4
Manille iP 41 30 5065

Archipel de Bismarck
4° S 154° E
d'après U. R. S. S.
Manille P 2^h 45^m 21^s 810^{km}
Wellington P 46 30 42° 6'
Vladivostok P 47 26 5670^{km}

Japon
Mer de Miyako
35° N 138° 5' E
Vladivostok iP 0^h 56^m 26^s 1060^{km}
Tachkent iP 1 03 38 5900
Sverdlovsk iP 41 6060

Mandchourie
vers 47° N 134° E
Vladivostok P 5^h 40^m 48^s
Chiufeng eP 43 09
Sverdlovsk iP 48 03

Longues ondes U. R. S. S. et
quelques autres stations.

Région îles Salomon
d'après U. S. C. G. S.
10° S 161° E
Apia 12° S 162° E
Sydney iP 12^h 10^m 00^s 3356^{km}
Apia iP 15 26° 9'
Wellington P 11 08 31° 8'

Date	Sta- tion	Phase	Heure			T s	Amplitudes			Δ km	Remarques	Région épicentrale probable
			h.	m.	s.		A _N μ	A _E μ	A _Z μ			
24 Mars (suite)	St (suite)	L ₁	13	12		20			+39			
		M ₁		24	30	20						
		M ₂		40	00	20	-36	-24				
		M ₃		43	00	18						
		M ₄		44	30	20		-34		-26		
		M ₅		47	10	10				+39		
		M ₆		48	00	20	+39					
		M ₇		54	00	20		+24				
		M ₈		55	30	20	+34					
		F		16	00							
21 "	Al	P ₁ N	12	24	20					17500	Interprétation douteuse.	
		P ₂ N			41							
		PR ₁		28	18							
		SP ₁ S		29	24							
		L	13	19								
21 "	Pa	M		30							V. Galitzine.	
		F	14	30								Pas de données.
		e	15	40								
25 "	Pa	L	16	22							V. Galitzine.	
		F	17,4									
25 "	Pa	Traces	13	09							Sverdlovsk iP 12 ^h 45 ^m 03 ^s 2360 ^{km} Longues ailleurs.	
		F		28								
29 "	St	iP	20	09	52					1460	Vertical, Dilatation. Azimut 101°,5e = 47°.	
		i		10	22							
		R ₁ P		11	04							
		iS		12	25							
		i		13	27							
		R ₂ S		14	17							
		M ₁			26	5			+8			
		M ₂		15	18	6		+14				
		M ₃		16	13	6	-15					
		F		40	45	7	+17					
29 "	Gr	P	20	10	04					1550		
		S		12	49							
		F		30								
29 "	Pa	iP	20	10	35					1835		
		eS		13	46	11		14				
		L		15								
		M ₁		16-17		10,12	9	6				
		M ₂		17-18		8,9	10	5				
29 "	Al	F		50								
		eP	20	10	51					2380		
		iPR ₁		11	13							
		iS		14	46							
		eSR ₁		15	28							
30 "	Pa	F		19							V. Galitzine.	
		eL	20	13								Pas de données.
1 ^{er} Avril	Al	F		27							Algérie.	
		iP	21	46	09					62		
1 ^{er} Avril	Al	iS			17							
		F		47								
2 "	St	eL	5	33							Galitzine.	
		F	6	32								
2 "	Pa	Traces	6	00							V. Galitzine.	
		F		20								
3 "	Pa	e	7	48	46						Galitzine.	
		L	8	17								
		M		19-20		13		2				
		F	10	07								
<p style="text-align: right;">Célèbes 2° N 128° E Ressenti au Nord de Célèbes et aux îles Sula Manille iP 5^h01^m25^s 1880^{km} Batavia iP 02 08 Vladivostok iP 05 49 4670</p> <p style="text-align: right;">Pacifique au large de la Colombie 4° N 79° W Huancayo eP 7^h40^m16^s 1820^{km} San Juan iP 44 La Paz P 41 35 2656</p>												



Date	Station	Phase	Heure			T s	Amplitudes			Δ km	Remarques	Région épiscoptrale probable
			h.	m.	s.		A _N μ	A _Z μ	A _Z μ			
3 Avril	St	eL F	8	08								
			10	06								
3	St	eL F	18	24								
			18	58								
	Pa	eL F	18	27								
			19	00								
3	St	eL F	23	13								
			0	03								
	Pa	eL F	23	25								
			0	02								
5	St	e F	21	27								
				35								
6	St	iP iS iPS eSR ₂ eL F	19	22	03							
				32	24							
				33	16							
				42	30							
				55								
			20	40								
	Pa	eP eS L M ₁ M ₂ F	19	22	14							
				32	33							
				53								
			20	04-05		12	2					
				08-09		12		2				
				39								
8	St	i(P) i cL F	2	32	50							
				33	02							
			3	27								
				45								
	Pa	iP L F	2	32	53							
			3	30								
				4,2								
9	St	e ₁ (P) e ₂ e ₃ eL F	15	49								
				52								
			16	00								
				22								
			18	50								
	Pa	eP L M F	15	49	57							
			16	27								
				37-38		16,18	3	4				
			18	07								
10	Pa	e(P) L F	5	52	38							
			6	22								
				41								
	St	e(P) eL F	5	53	(02)							
			6	21								
				48								
10	St	e(P) i(PR ₁) e(PR ₂) i(S _c P _c P _c S) e(PS) e(PPS)	10	37	18							
				41	36							
				44	02							
				49	18							
				51	02							
				52	03							
			11	00								
				23	20							
			12	30		20	+10					
	Pa	e(P) (PR) e L M ₁ M ₂ F	10	42	04							
				44	30							
				51	31							
			11	23								
				24-25		22	8					
				35		15,17	3	4				
			13,1									

Pacifique ?
Phases mal définies
La Paz eP 17h 42m 17s
Tucson P 24

N W iles Bonin
27° 5' N 141° 5' E
Osaka P 22h 33m 55s 3384km
Nagoya P 34 03,6
Nanking iP 36 28 2235

Emergences

Japon
37° 3' N 141° 7' E
NE du Cap Sioya dans la mer
Ressenti faiblement à Kwanto
Tohoku, et au Sud
de Hokkaido.

Japon
Hukuoka indique une faible
secousse locale
Manille et autres stations
voisines n'ont rien publié.
Batavia iP 2h 23m 23s 6900km
Emergences et longues ailleurs

Pacifique
38° S 94° W
Huancayo iP 15h 35m 53s 3600km
Sucre P 59 3660
Pasadena iP 40 56

Données discordantes.

Est des Indes Néerlandaises
vers 16° S 95° E
Batavia eP 10h 25m 06s 1170km
Amboine P 26 01 1480
Manille iP 27 56 2635

(12000)

Date	Station	Phase	Heure			T s	Amplitudes			Δ km	Remarques	Région épiscoptrale probable
			h.	m.	s.		A_N μ	A_E μ	A_Z μ			
15 Avril (suite)	Al	eP	22	29	50				12645			
		PR ₁		34	28							
		S _c P _c S		40	49							
		PS		44	02							
		PPS		45	43							
		SR ₁		50	34							
	PD	SR ₂		56	19							
		L	23	08								
		M		17								
	Ba	F	24	00								
		e	22	42	02							
	Ma	eL	23	11								
F			37									
St	e	22	44									
	L	23	05									
Pa	F	0	10									
	eL	22	44									
St	F	0										
	eL	4	52									
Pa	F	5	38									
	eL	5	00									
Pa	F		42									
	traces	11	24									
St	F		36									
	eL	14	24									
Pa	F		52									
	eL	14	30									
Pa	F	15	06									
	iP	2	41	35								
St	L		47									
	M		48									
	F	3	12									
St	e	2	42									
	eL		46									
	M		49									
Pa	F	3	08									
	eL	12	54									
	F	13	20									
Pa	traces	13	00									
	F		25									
	e	16	35	48								
St	i		37	12								
	eL	17	05									
	F		18									
Pa	eL	17	12									
	F		29									
Pa	eL	15	22									
	M		25-26									
	F		46									
24	St	e	17	56	01	11,9	5	3				
		i		28								
		i		57	(00)							
	eL	18	40									
	F	20	00									
	Pa	e	18	25?								
L			44?									
M			51-52?									
	F	19,7										

Int. min.

Très faible.

Galitzine.
»

V. Galitzine.

Galitzine.
»

V. Galitzine.

V. Galitzine.
Galitzine.
»

Galitzine.
»

V. Galitzine.

V. Galitzine.
»

Galitzine.
»

V. Galitzine
»

V. Galitzine.
»

Galitzine.
»

Heure incertaine, pas d'interruptions.

Sud de Formose
Ressenti à Davao - Intensité I
9°5 N 128° E
Manilla P 4^h01^m29^s 1100^{km}
Nagasaki P 04 40,4
Vladivostok iP 06 16 3730

Pas de données

Région sud de Formose
21°8 N 121° E
Manilla iP 13^h42^m05^s 1100^{km}
Chiufeng iP 44 44 2135
Vladivostok iP 45 33 2610

Atlantique ?
Emergences et eP

Pacifique, au Sud
de la Terre de Feu ?
La Paz P 12^h49^m34^s 4410^{km}
San Juan e 53 33
Ottawa e 55,4

Japon
30°5 N 140° E
à 350 kilomètres, en mer,
de l'île Hatijvo.
Nagoya iP 16^h15^m00,5^s 650^{km}
Osaka P 02,4 532
Koti iP 05,8

Emergences et longues

Océanie
Région Fidji Hébrides
Suva P 17^h38^m33^s 8°
Sydney eP 43 36
Manilla iP 47 54 6490^{km}



Date	Station	Phase	Heure			T s	Amplitudes			Δ km	Remarques	Région épicentrale probable
			h.	m.	s.		A_N μ	A_K μ	A_Z μ			
25 Avril	Al	iP iS F	8	03	53				128		Algérie Secousse assez forte.	
26 "	Pa	e L F	5	40							Sud de la Nouvelle Calédonie 25° S 170° E d'après U.R.S.S. 23° S 173° E d'après Batavia Amboina. Manilla iP 5 ^h 42 ^m 14 ^s 6790 ^{km} Vladivostok iP 43 37 8440	
26 "	St	eL F	9	13						Galitzine.	Sud de la Nouvelle Calédonie 25° S 170° E d'après U.R.S.S. Christchurch iP 8 ^h 01 ^m 32 ^s 22° 2 Batavia iP 07 30 7330 ^{km}	
	Pa	eL F	9	18						V. Galitzine.		
26 "	St	eL F	14	02						Galitzine.	Nord des Célèbes Ressenti à Gorontalo et Menado 2° N 124° E Amboina iP 13 ^h 41 ^m 25 ^s 830 ^{km} Batavia P 43 43 2010	
	Pa	eL F	14	43						V. Galitzine.		
26 "	Pa	eP (PR) L M F	21	19	54						Nouvelles Hébrides 14° S 169° E Sydney eP 21 ^h 04 ^m 42 ^s 3267 ^{km} Manilla iP 09 42 6165 Batavia iP 10 20 6690	
				23	06	17		3				
	St	eP' ePR ₁ S _c P _c P _c S eSR ₁ eL F	21	20					15500 ca	V. Galitzine. " " E. Galitzine. Galitzine. "		
				23	06							
				29	12							
				41	30							
				55								
				23	30							
27 "	St	eL F	9	58						Galitzine. "	Japon S E mer de Miyako Osaka P 9 ^h 18 ^m 32 ^s 315 ^{km} Vladivostok iP 19 04 1160	
				10	35							
27 "	Al	iP iS F	13	41	33				168		Algérie	
					54							
				44								
27 "	St	P' ePR ₁ e eS _c P _c S eL F	21	06	48				16800	V. Galitzine, dilatation. " " Galitzine.	S E Nouvelle Calédonie 25° S 170° E Wellington P 20 ^h 51 ^m 16 ^s 19° 4 Christchurch iP 39 22° 3 Amboina iP 55 20 4520 ^{km}	
				10	27							
				12	51							
				13	48							
				57								
				23	40							
	Pa	e(P) (PR) e ₁ e ₂ L M ₁ M ₂ F	21	06	50							
				10	43							
				16	51							
				19								
				22	04							
				20-21		20,17	4	4				
				27-28		19,16	5	4				
				23	45							
	Al	eL _N F	21	56						Traces de P et de S excessivement faibles. Seulement sur le N-S. V. Galitzine.		
				23	00							
28 "	Pa	eL F	16	20							Pacifique 2° N 165° 5 E Zi-Ka-Wei P 15 ^h 16 ^m 25 ^s Nanking iP 43 Vladivostok iP 17 00 5670 ^{km} Iles Salomon 3° S 158° E Vladivostok iP 18 ^h 10 ^m 06 ^s 5740 ^{km} Emergences et eP	
				17,5								
28 "	St	eL F	18	32						Galitzine. "		
				19	46							
	Pa	eL M F	19	08		19		3				
				17-18								
				20,2								

Date	Station	Phase	Heure			T s	Amplitudes			Δ km	Remarques	Région épicentrale probable
			h.	m.	s.		A _N μ	A _E μ	A _Z μ			
29 Avril	St	eL F	0	11	39							
	Pa	eL F	0	16	41							
30 "	Pa	traces F	9	27	43							
30 "	St	eL F	16	16	26							
	Pa	traces F	16	21	36							
1er Mai	St	eL F	4	10	32							
	Pa	eL F	4	14	42							
1er "	St	iP S _c P _c S	7	17	32				9300			
		iS		27	45							
		PS		28	55							
		eL		40								
		F	8	30								
	Pa	iP iS PS L M F	7	17	48				9060			
				28	02	9		4				
				30	27							
				30-31		10		2				
				9,0								
	Al	iP S _c P _c S	7	17	52				9845			
		S		28	08							
		PS		29	33							
		L	Invisibles									
		F	8 ca									
3 "	St	eL F	2	17								
			3	14								
	Pa	eL M F	2	23		14,14	3	3				
				35								
			3	13								
3 "	Al	iP iS F	3	43	39				128			
					56							
				45								
3 "	Pa	eL M F	8	10		13		2				
				12-13								
				34								
3 "	Pa	eL F	9	29								
				52								
4 "	PD	iP i eL F	4	46	22							
				56	33							
			5	11								
				40								
	Pa	iP iS L M ₁ M ₂ W ₁ F	4	47	01				7530			
				55	57							
			5	03								
				07-08		43		80				
				10		34,40	70	80				
			7	09								
			Dans le suivant									

Pacifique, Est du Japon
Est mer de Miyako
41°5' N 147° E
Osaka P 23^h27^m48,4^s 830^{km}
Sverdlovsk 28 11 1220
Vladivostok P 35 09 6000

Longues à Sverdlovsk
et Tachkent
Iles Bonin
27°5' N 143° E
Osaka P 15^h21^m44,1^s 157^{km}

Perse
27°5' N 57°5' E
Tachkent iP 3^h44^m14^s 1810^{km}
Sverdlovsk iP 46 48 3210
Kucino eP 47 48 (3590)

Région Sumatra
vers 6° N 95° E
très beaux impétus
Medan iP 7^h05^m21^s
Soeng. Lang. iP 7 07 23 1210^{km}
Batavia iP 7 08 00(1280)

Pacifique - Est des îles Bonin
27°45' N 145° E
NNW Mer de Titisima
Nagoya P 1^h33^m21,1^s
Hukuoka P 34 07,9
Vladivostok P 35 16 2020^{km}

Algérie
Région Cherchell (A)

Longues seulement.

Pas de données.

Alaska
61° N 148°5' W
ressenti à Anchorage
et à Fairbanks
Sitka iP 4^h37^m55^s
Toronto iP 43 49
Ottawa iP 44 08 4680^{km}

Dilatation.



Date	Station	Phase	Heure			T s	Amplitudes			Δ km	Remarques	Région épiscoptrale probable
			h.	m.	s.		A_N μ	A_E μ	A_Z μ			
4 Mai (suite)	St	iP	4	47	08					7830 Foyer profond	Dilatation.	
		ipP			42							
		iPR ₁		49	38							
		ipPP		50	44							
		iS		56	09							
		isS		57	31							
		iSR ₁	5	00	22							
		iSR ₂		04	30							
		eL		10								
		M ₁		14	30	25	-39					
		M ₂		15	00	25	+36					
		M ₃		17	45	14			-23			
		M ₄		20	00	14			+21			
		M ₅			50	14	+31					
M ₆		23	00	12		+9						
F	8	40										
4 "	Ba	P	4	47	33				7930			
		PR ₁		50	21							
		S		56	55							
		L	5	10								
		F	6	00								
4 "	Al	iP	4	48	11				8720			
		iPR ₁		51	12							
		iS		58	10							
		PS			52							
		iL	5	14	54							
		M		20	45							
F	7	20										
4 "	St	iP	5	15	23					Compression, V. Galitzine.	Réplique ?	
		F	dans les L du précédent.									
4 "	Pa	iP	5	15	23					Dilatation.		
		F	8	42								
4 "	St	e(P)	13	57	09				420		Alpes Carniques Région de Maniago Ressenti à Carnia (intensité V) Trieste \overline{P} 13 ^h 56 ^m 19 ^s 130 ^{km} Treviso \overline{iP} 21 150 Padoue \overline{iP} 31 150	
		eP			22							
		eS		58	14							
		R ₁ S			24							
		R ₂ S			32							
		F	14	03								
5 "	Pa	eL	2	08					V. Galitzine.	Phases mal définies Tucson eP 1 ^h 24 ^m 04 ^s La Paz P 27 10 4840 ^{km}		
		F		31								
5 "	Pa	e	11	52					V. Galitzine. Galitzine.	Région île Kermadec 35° S 175° W Ressenti à Gisborne Wellington P 14 ^h 34 ^m 46 ^s 9 ^o ,6 Christchurch P 35 29 12 ^o ,1 Sydney Obs. eP 37 30 2800 ^{km}		
		L	15	54								
		F	16,7									
7 "	Ba	i	4	35	30				Galitzine.	Local.		
		e			36							
		F		36	33							
8 "	St	eL	20	27					Galitzine.	Signalé par les stations australiennees. Phases mal définies.		
		F	21	15								
8 "	Pa	eL	20	38					Faible, V. Galitzine.			
		F	21	10								
9 "	St	i(P)	16	25	44					Compression, V. Galitzine. V. Galitzine. Galitzine.	Pacifique Sud îles Kouriles 45° 5' N 155° 5' E Vladivost. eP 16 ^h 17 ^m 32 ^s 1540 ^{km} Osaka P 17 38,7 4091 Tachkent iP 23 28 6520	
		e(PR?)		30	(00)							
		eL			52							
		F	17	40								

Date	Station	Phase	Heure			T s	Amplitudes			Δ km.	Remarques	Région épiscoptrale probable
			h.	m.	s.		A_N μ	A_E μ	A_Z μ			
9 Mai (suite)	Pa	iP L M F	16 17	25 05	52	13,17	2	4				
			09-10									
			17,7									
9 "	Pa	eL F	19	20 38						V. Galitzine.	Longues dans les stations de l'U.R.S.S.	
11 "	PD	\bar{S} iM F	12	58 59	09 21 30						Local (voir Drôme étude spéciale)	
11 "	Al	iP iS F	13	23 24 26	53 22				230		Algérie Région Sétif (C)	
	Al	iP iS F	13	32 33 35	56 21				210		Algérie Région Sétif (C)	
11 "	Pa	eL F	18	02 16							Emergences diverses	
11 "	PD	eS iM F	20	58 59 21	54 05 30					Int. min.	Drôme (voir étude spéciale) Neuchâtel eP 20 ^h 57 ^m 52,5	
	St	e F	20 21	59 01						Grand pendule.		
11 "	PD	\bar{P} \bar{S} iM F	21	06 11	00 24 36						Drôme Ressenti dans la Drôme, dans la région de Donzère au S. de Montélimar.	
	St	e i (S?) i (R ₁ , S) F	21	06 07 12	05 29				(450)		Neuchâtel eP 21 ^h 05 ^m 09,9 ^s Zürich eP 35,6 Coire cP 37,1	
11 "	Pa	e(P) F	21	06 09	57							
11 "	PD	eM F	21	19 20	16							
11 "	PD	eS eM F	21	43 44	09 20 30							
12 "	St	e F	0	09 11							Réplique Neuchâtel eP 0 ^h 08 ^m 16,6 ^s Zürich eP 09 27,3	
	PD	\bar{S} M F	0	09 11	19 32							
12 "	PD	eS iM F	2	23 25	41 53 30						Réplique	
12 "	PD	eP e e(S) eM F	7	20 21 25	53 17 20 31						Réplique Neuchâtel eP 7 ^h 22 ^m 09,8 ^s Zürich eP 30,1 Prato eP 23 43	
	St	e R ₁ S? R ₁ S? F	7	23 24 28	32 59 10							
	Pa	e(P) F	7	23 26	41							

Date	Station	Phase	Heure			T s	Amplitudes			Δ km	Remarques	Région épiscoptrale probable
			h.	m.	s.		A _N μ	A _E μ	A _S μ			
13 Mai	Al	e eSPP? i L	9	20							Région îles Salomon 5° S 154° E Batavia iP 9h 07m 39s 2440km Melbourne P 08 47 32,6 Manilla iP 09 23 4520km	
				24	21							
				25	01							
			Invisibles									
	St	e(P') i(PR ₁) (S ₁ P ₁ P)	9	21	07				14280	V. Galitzine.		
				23	08					H. Galitzine.		
				24	30					E. Galitzine.		
				31	(00)					N. Galitzine.		
				33	19					Galitzine.		
				10	10							
			11	36								
	Pa	eP' (PR) e L M ₁ M ₂ F	9	21	15							
				23	29							
				24	37							
			10	01								
				03-04		43		26				
				08		24,28	12	17				
			11,9									
13	St	eL F	17	51						Galitzine.	Luçon Ressenti dans la montagne au Nord 19° N 120° E Manilla iP 17h 03m 49s 400km Nanking P 05 08 1790 Chiufeng P 06 50 2500	
	Pa	traces F	18	00						V. Galitzine.		
14	St	eL F	13	42						Galitzine.	Arizona U S Ressenti à Yuma 28° N 113° W Tucson iP 13h 15m 48s St-Louis iP 19 44 21,6	
	Pa	eL M F	13	57								
			14	00-01		13,16	2	2				
			36									
14	St	iP ipP iPR ₁ ipPP iS iPS eL F	22	24	16				8330	V. Galitzine, Compression.	Alaska 57°5 N 153°5 W Sitka eP 22h 14m 56s Ukiah eP 18 36 Bozeman eP 40	
					34				Foyer profond			
					26	56						
					27	12						
					33	39						
					34	08						
					40							
				23	50							
	Pa	iP ₁ eS L M ₁ M ₂ F	22	24	28				8700			
					34	23						
				51								
				55-56		26		8				
				57-58		16,17	3	3				
			24,0									
15	Pa	eL F	0	50						V. Galitzine.	Longues à Uccle	
			1	03								
15	Pa	traces F	16	01						V. Galitzine.	Mount Wilson iP 15h 21m 08s	
				18								
16	PD	eP̄ S iM F	2	52	49						Ressenti dans la Drôme Clerm.-Ferr. eP̄ 2h 52m 49s Neuchâtel eP̄ 57,9 Zürich eP̄ 53 23,6	
				53	11							
				53	21							
				57								
	St	R ₂ P̄ eS? R ₂ S? F	2	53	53				450?			
				54	44							
				55	02							
				59								
	Pa	e F	2	54	10							
				57								
16	PD	eP̄ eS F	3	31	22						Ressenti dans la Drôme Clerm.-Ferr. eP̄ 3h 31m 22s Neuchâtel eP̄ 40,4 Zürich eP̄ 32 01,2	
					16							
				34								

Date	Sta- tion	Phase	Heure			T s	Amplitudes			△ km	Remarques	Région épiscoptrale probable
			h.	m.	s.		A _N μ	A _E μ	A _Z μ			
16 Mai (suite)	St	R ₂ P? eS? F	3	32	42				450 ?	Grand pendule.		
19 "	St	iP eL F	1	26	28					V. Galitzine, Compression.		
	Pa	e L M F	1	26	34			1	13		Atlantique vers 15° S 15° W La Paz iP 1 ^h 24 ^m 54 ^s 5780 ^{km} Uccle eP 26 37 7400 Baku P 28 14 8750	
	Al	e(L?) F	1	41								
			vers 2 heures									
19 "	Pa	eP e L F	10	59	50					V. Galitzine.	Amérique Centrale Sur' de la mer Ogosawara: 15° N 91° W. Profondeur 50 à 80 ^{km} Saint Louis iP 10 ^h 52 ^m 47 ^s San Juan iP 49 Huancayo iP 53 52	
19 "	St	i(P) ipP e(S?) eL F	11	00	05					Foyer profond		
					ca					V. Galitzine. " N. Galitzine. V. N. Galitzine. "		
20 "	Pa	eP L M F	19	08	23			2	14,13	V. Galitzine.	Atlantique au large de la Scandinavie; 67° N 6° E Göttingen eP 19 ^h 07 ^m 47 ^s Karlsruhe iP 08 24 Trieste P 09 07,8	
	St	eP eS eL F	19	08	24					1980	V. Galitzine. " V. N. Galitzine.	
21 "	St	eL F	5	25	46					V. N. Galitzine. "	Formose 22° N 121° E Chiufeng P 4 ^h 40 ^m 32 ^s 2055 ^{km} Vladivostok eP 41 14 2390 Irkutsk P 44 01	
	Pa	eL F	5	25	50					V. Galitzine, Faible.		
21 "	Pa	eP L M F	10	12	28			3	15,12		Mer du Groenland 74° N 0° près de l'île Jan Mayen Pulkovo P 10 ^h 11 ^m 20 ^s 1960 ^{km} Hamburg iP 42 Kew eP 59 2290	
	St	iP eS eL F	10	12	32					2760	V. Galitzine, Compression.	
22 "	St	eL F	2	06	42					V. N. Galitzine. "	Iles Nicobar 7° N 95° E Tachkent iP 1 ^h 29 ^m 17 ^s 4470 ^{km} Chiufeng eP 39	
	Pa	eL F	2	16	43					V. N. Galitzine.		
22 "	Pa	eP? e L M ₁ M ₂ F	11	11	12			5	20,21		Atlantique Région Rocher St-Paul 0° 5' N 30° 5' W La Paz iP 11 ^h 09 ^m 30 ^s 4530 ^{km} Huancayo iP 10 11 St-Louis eP 12 31 65 ^{km}	
								4	19,18			
	St	eP iS eL F	11	11	32					6540	V. Galitzine.	
					37							
					29							
					20							
24 "	Pa	traces F	0	11	29					V. Galitzine.	Sumatra ressenti sur la côte Ouest à Benkalen 2° S 103° E Batavia P 23 ^h 10 ^m 25 ^s 690 ^{km} Medan P 27 780	

Date	Sta- tion	Phase	Heure			T s	Amplitudes			Δ km	Remarques	Région épiscopale probable
			h.	m.	s.		A _N μ	A _E μ	A _Z μ			
24 Mai	Al	P S F	22	17	52 18 05 19				104		Algérie.	
25 "	St	eL F	11	09	29					Galitzine.	Prato iP 11 ^h 04 ^m 40 ^s Emergences ailleurs.	
	Pa	eL F	11	10	21							
26 "	St	eL	4	06-16						V. N. Galitzine.	Maroc: Région bético riffaine. 35°25' N 40° W d'après Tolède.	
	Pa	eL M F	4	06 07 18		8,10	1	1				
27 "	Pa	traces F	9	57	10 11					V. Galitzine.	Méditerranée ? phases mal définies.	
	St	eL F	9	57	10 12					V. N. Galitzine.		
27 "	Pa	eL F	18	17	29					V. Galitzine.	Pas d'autres données.	
	St	eL F	18	19	32					V. N. Galitzine.		
28 "	St	e F	5	03	08					V. Galitzine.	Pas de données.	
28 "	St	P eL F	5	44	45 6 12 35					V. Galitzine. Galitzine.	Région Kouriles. 48° N 150° E Osaka P 5 ^h 36 ^m 34 ^s 1508 ^{km} Chiufeng P 39 04 2600 Sverdlovsk iP 41 40 5590	
	Pa	iP F	5	44	53 6 32					V. Galitzine.		
30 "	St	eL F	12	22	47					V. N. Galitzine.	Kew très faible.	
	Pa	eL F	12	24	38					V. Galitzine.		
30 "	St	eL F	23	51	0 14					V. N. Galitzine.	Japon, ville de Mito 36°3' N 140°5' E Ressenti dans les districts de Kwanto, Tōboku et Tynbu Nagoya P 23 ^h 04 ^m 46,5 ^s 377 ^{km} Hukuoka P 06 03,7 930 Vladivostok iP 28 1020	
	Pa	traces F	23	52	0 13					V. Galitzine.		
31 "	Al	eP _m j R.S F	13	25	57 26 56 27 42 35				950 ?		Maroc: Rabat, Taza, Petitjean 34°20' N 3°30' W d'après Tolède. Almeria P 13 ^h 23 ^m 24 ^s 280 ^{km} Toledo eP 24 00 610 ^{km} Sverdlovsk eP 31 06	
	St	e ₁ e ₂ eL F	13	26	31 33 48					V. Galitzine. N. Galitzine. V. N. Galitzine.		
	Pa	eL M F	13	31	32-33 52	14,13	1	1		V. Galitzine.	Emergences.	
31 "	Pa	traces F	15	10	29							
	St	eL F	15	12	23					V. N. Galitzine.		
31 "	Al	iP iS F	18	56	49 57 09				160		Algérie: Molière (A).	
			Dans le suivant									



Date	Sta- tion	Phase	Heure			T s	Amplitudes			Δ km	Remarques	Région épiscopale probable
			h.	m.	s.		A_N μ	A_Z μ	A_Z μ			
31 Mai	Al	iP iS F	18	58	03 24				168		Algérie: Molière (A).	
2 Juin	Al	e i iS? L F	6	05	23 16 15 51 35						Assam, confins du Thibet; 27° N 95° E	
	St	iP ipP ipPP iS eL F	6	05	33 06 06 08 43 14 33 21				78°0 foyer profond	V. Galitzine, Compression. V. Galitzine. N. Galitzine.	Destructeur à Mazufurabad (Indes Anglaises). Le séisme a été ressenti à Calcutta. Phu-Liên eP 5 ^h 57 ^m 12 ^s 1210km Nanking iP 59 17 23 5 Chiufeng iP 30 2465	
2 "	Pa	iP P' iS L M F	6	05	53 27 10 22 26-27 14	10,12	1	1	7950			
	Pa	iP iS L M ₁ M ₂ M ₃ F	13	47	17 11 52 54 55-56 58-59 16,0	16,15 13,13 13,13	54 47 52	58 40 51	2360		Islande. 66°,5 N 18°,5 W Ressenti au nord de l'Islande Région de Thingö, Öefgord, Husavik, Eyjafjordur. Reykjavik eP 13 ^h 43 ^m 12 ^s Stonyhurst iP 46 08 Hamburg iP 56	
2 "	St	iP m ₁ m ₂ i iS i m ₃ L M ₁ M ₂ M ₃ M ₄ M ₅ M ₆ M ₇ M ₈ F	13	47	36 51 57 48 34 51 45 52 06 53 00 55 56 30 57 20 45 14 00 10 45 01 40 04 10 15 16 00	6 6 15 15 14 15 10 15 14 10 12	-17 +33 +7 +21 -18 -48 +36 +4	+11 +11 +21 -18 -18 +19	2550	Verticaux, Compression. Azimut 11°		
	PD	iP L F	13	47	47 55 20				3500			
2 "	Al	iP eS iL M F	13	49	12 28 35 30 50				7420 ?	V. Galitzine. V. N. Galitzine. N. Galitzine. V. N. Galitzine.	Alaska. 62°,5 N 150° W d'après U.R.S.S. 60° N 152° W d'après U.S.C.G.S. Sitka iP 16 ^h 47 ^m 20 ^s Mount-Wilson iP 52 04 Vladivostok P 54 22	
	St	e(P) i e(S?) eL F	16	56	30 37 21 10 20					L faibles.		
2 "	Pa	iP L F	16	56	31 17 17 18 18							
	St	e(P) e(S) eL F	21	08	07 18 ca 27 40					V. Galitzine. N. Galitzine. V. N. Galitzine.	Kamtchatka 53°,5 N 157°,5 E	



Date	Station	Phase	Heure			T s	Amplitudes			Δ km	Remarques	Région épiscoptrale probable
			h.	m.	s.		A _N μ	A _Z μ	A _Z μ			
6 Juin (suite)	Pa	traces F	11	29								
6 »	St	eL F	12	26						V. Galitzine.		
6 »	St	eL F	17	19						V. N. Galitzine.	Vladivostok P 11 ^h 45 ^m 01 ^s (1390 ^{km}) Sverdlovsk P 51 31	
6 »	Pa	traces F	17	27						V. N. Galitzine.	Vladivostok eP 16 ^h 38 ^m 03 ^s (1320 ^{km}) Emergences ailleurs.	
6 »	St	eL F	22	03						V. Galitzine.		
7 »	St	e(P) eL F	16	20	21					V. N. Galitzine.	Pas de données.	
7 »	Pa	eL F	16	50						V. Galitzine. V. N. Galitzine.	Vladivostok eP 16 ^h 17 ^m 05 ^s Emergences.	
8 »	St	e(P) eR ₁ P R ₁ P R ₁ PS S R ₂ S F	3	18	06				400	V. Galitzine, Faible.	Alpes de Carnie: Région Frioul - Gaillat. Ressenti au Nord de l'Italie.	
8 »	PD	e? S? F	3	19	17					V. Wiechert.		
8 »	Pa	e L M F	3	20	27	6,4	3	4				
8 »	Pa	traces F	3	39	53					V. Galitzine.	Longues.	
8 »	St	e(P?) e(S?) eL F	5	00						V. Galitzine. N. Galitzine! Galitzine.	Pacifique. Le service U.S.C.G.S. signale des dommages à Parkfield, région de Monterey. 35°54' N 120°27' W Ukiah eP 4 ^h 48 ^m 50 ^s Tucson eP 49 40 Denwer eP 50 51	
8 »	Pa	e L M ₁ M ₂ F	5	12		16,17 13,17	4 5	6 6				
8 »	St	eL F	16	03						V. N. Galitzine.	Longues et traces.	
8 »	Pa	eL F	16	48								
8 »	St	e(P) F	18	42	45					V. Galitzine.	Samoa: Ressenti à Apia. Apia iP 18 ^h 23 ^m 53 ^s 2 ^o ,2 Manila P 34 41 8010 ^{km}	
8 »	Pa	e F	18	42	49							
9 »	St	eL F	3	14	52					V. N. Galitzine.		
9 »	St	eP iPR ₁ eSR ₁ eL ...	13	17	34				(13600)	V. Galitzine. N. Galitzine.	Nouvelle Guinée; 6° S 148° E d'après U.S.C.G.S. Malabar iP 13 ^h 03 ^m 01 ^s 2150 ^{km} Sydney Riv. eP 04 30 2910 Balavia iP 06 13 4130	

Date	Sta- tion	Phase	Heure			T s	Amplitudes			Δ km	Remarques	Région épicertrale probable
			h.	m.	s.		A _N μ	A _E μ	A _Z μ			
9 Juin (suite)	St (suite)	M ₁	14	01	45	25	+16					
		M ₂		11	00	20	+5		+6			
		M ₃		15	30	20			-6			
		M ₄		16	00	20	-4					
		F		16	00							
	Pa	e(P) _r	13	17	40							
		e ₁		19	37							
		e ₂		20	46							
		e ₃		36	54							
		L	14	02								
St	M ₁		04	05	25	11						
	M ₂		06		22,21	13	9					
	M ₃											
	F		15,6									
9	Al	e e(S)	13	18							Local	
10	Pa	e	19	59	56							Emergences et longues. Pasadena i 19 ^h 52 ^m 16 ^s
		L	21	04								
		F	21,7									
St	e(P?)	20	00	(00)							V. Galitzine, Int. min. V. N. Galitzine.	
	eL		54									
	F	21	45									
12	St	e ₁	9	43								Côte Sud Mexique (région Acapulco) d'après U.S.C.G.S. 14° 5' N 95° 5' W Tucson iP 9 ^h 37 ^m 21 ^s St-Louis iP 43 Pasadena iP 38 14
		e ₂		45	12							
		e ₃		56								
		eL	10	02								
		F		50								
Pa	i(P)	9	44	58							Faible.	
	L	10	18									
	F	10,8										
13	St	iP	2	03	03					9200	Verticaux, Compression.	Iles Kouriles ; 43° 8' N 146° 7' E Secousses ressenties au Sud de Hokkaido et du district de Kwanto. Nagoya P 1 ^h 53 ^m 48 ^s , 8 1260 ^{km} Nanking iP 56 21 2810 Irkutsk P 52
		m ₁			06	6	-2	-1	+3	9200		
		ipP			37							
		ePR ₁		06	10							
		ePR ₂		09	30							
		iS		13	05							
		m ₂			05	6	+13	+7				
		iPS			45							
		L		30								
		M ₁		42	00	15	-9					
	M ₂		45	30	15	+7	-2	+7				
	M ₃		46	35	14			-8				
	M ₄		48	40	14		+4					
	F	4	00									
	Pa	iP	2	03	12					8940		
iS			13	19	7			19				
L			33									
M ₁			40		22,30	14	14					
M ₂			41	42	23		16					
PD	M ₃		42	43	28	25						
	F	4,6										
	iP	2	03	29								
	e		13	42								
	eL		43									
Al	F		51						9400			
	eP	2	03	58								
	S		14	27								
13	St	L	Invisibles							340		Italie: Province de Parme ; Ressenti avec degré V à Parme degré IV à Lunigrana et la Ribera. Ressenti d'une manière générale à Turin, Milan, Gènes et Savone.
		eP	9	07	30							
		P			36							
		R ₁ P			40							
		S		08	20							
		R ₂ S			27							
F	R ₃ S			14								
	F		30									

Date	Station	Phase	Heure			T s	Amplitudes			Δ km	Remarques	Région épiscoptrale probable
			h.	m.	s.		A _N μ	A _E μ	A _Z μ			
13 Juin (suite)	PD	eP S F	9	07	57 08 42 18							
	Pa	(eP) e L M F	9	08	17 09 (19) 10 12-13 35	5,7	6	10				
13 »	St	iP	22	18	49				5000	Verticaux, Compression.	Perse : Confins de l'Afghanistan; 29° 5' N 61° 5' E Baku iP 22 ^h 14 ^m 14 ^s Sverdlovsk iP 15 00 2920 ^{km} Helwan P 16 07 Pulkovo iP 17 43 4000 Inscrit également à Grenoble	
		PR ₁		20	44							
		PR ₂		21	18							
		i ₁		22	27							
		i ₂		23	15							
		i ₃		24	16							
		iS		25	31							
		SR ₁		28	37							
		eL		33								
		M ₁		39	40	20	-33					
		M ₂		42	15	12		+20				
		M ₃			45	12		+10				
		M ₄		44	00	15	+27					
		M ₅		45	30	16	-24					
		M ₆		46	30	12		+17				
		M ₇		47	30	12		+10				
		F	2	00								
13 »	Pa	iP	22	19	17				5400			
		iS		26	21							
		L		36								
		M ₁		41-42	22	21						
		M ₂		43-44	24,24	34	43					
		M ₃		44-45	29	47						
		M ₄		45-46	23,18	27	22					
F	2,0											
13 »	PD	eP	22	19	17				5440			
		S F		26 16 23 10								
13 »	Al	iP	22	19	19				5440			
		PR ₁		20	20							
		iS		26	07							
		iL		33	34							
		M F		40 23	20							
15 »	St	e ₁	3	13				V. Galitzine. Galitzine.		Océanie. Faible, émergences douteuses Amboina P 2 ^h 56 ^m 31 ^s 2210 ^{km} Sydney e(P) 57 21 Manila P 59 02 3235		
		e ₂		24								
		eL		46								
		F	5	05								
15 »	Pa	e	3	16				V. Galitzine. V. E. Galitzine. Galitzine.	Mer de Baffin, près des côtes du Groenland, vers 61° N 51° W. Cambridge Harvard eP 6 ^h 39 ^m 07 ^s Washington iP 55 Pulkovo P 42 11			
		L	4	01								
		M F		08-09 57	18,20	2	3					
15 »	St	e ₁	6	41				V. E. Galitzine. Galitzine.	Pas de données.			
		e ₂		43								
		eL F		48 7 05								
15 »	Pa	eL	6	52				V. Galitzine.				
		M F		55-56 7 21	15		1					
15 »	St	e(P)	13	15				V. N. Galitzine.	Osaka Manila			
		eL F		2 17 00								
15 »	Pa	traces	13	21					Pacifique. 21 ^h 34 ^m 09,7 ^s 2289 ^{km} 36 51			
		F		34								
15 »	St	eL	22	18								
		F		38								

Date	Sta- tion	Phase	Heure			T s	Amplitudes			△ km	Remarques	Région épicroentrale probable
			h.	m.	s.		A _N μ	A _R μ	A _Z μ			
15 Juin (suite)	Pa	eL F	22	29	41							
16 »	St	e F	3 4	56 03						V. N. Galitzine. »	Pasadena iP 3 ^h 51 ^m 39 ^s	
16 »	St	e(P) e(S?) e(PS?) eL F	5	23 33 34 51 30	32					V. Galitzine. H. Galitzine. V. Galitzine. Galitzine.	Région des Iles Kouriles : 49° N 158° 5 E Vladivostok P 5 ^h 15 ^m 48 ^s 2120 ^{km} Irkutsk eP 17 54 Sverdlovsk P 20 38 5950	
	Pa	e L M F	5 6	24 05-06 52	30	11	2					
16 »	St	eL F	9 10	51 04						V. Galitzine. »	Pas de données.	
16 »	St	eL F	19 20	21 02						V. N. Galitzine. »	Philippines, local. Ressenti avec intensité III à Iloilo.	
	Pa	traces F	19	30 59						V. Galitzine.	Manila P 18 ^h 48 ^m 30 ^s 390 ^{km} Un autre séisme s'est produit vers la même heure.	
17 »	St	eP eL F	14 15 16	23 12 10	54					V. Galitzine. V. N. Galitzine.	Samoa : Ressenti à Apia : iP 14 ^h 04 ^m 45 ^s Emergences et longues ailleurs	
	Pa	e(P) L F	14 15 16,4	24 20	05							
17 »	St	eP eS F	17	07 08 11	46 13			220		Grand pendule.	Autriche : Lechtal. Coire eP 17 ^h 07 ^m 14 ^s ,1 94 ^{km} Zürich eP 26,4 135 Bâle eP 37,0 220	
18 »	St	c(P) e ₁ e ₂ eL F	1 2 3	47 54 55 00 42						V. Galitzine. N. Galitzine. V. Galitzine. Galitzine. »	Emergence a Trieste.	
18 »	Pa	traces F	3	05 14						V. Galitzine.	Longues dans quelques stations russes.	
18 »	Pa	eP P PR ₁ S PS L M ₁ M ₂ F	9	24 25 27 33 34 44 45-46 56 57	48 08 36 48 22	13 17,14	3	2 2	7600	V. Galitzine.	Alaska. d'après J. S. A. 59° 2 N 149° 5 W ; d'après U. S. C. G. S. 60° 5 N 150° W. Sitka iP 9 ^h 15 ^m 57 ^s Tucson iP 21 11 St-Louis iP 14 42° 1 Vladivostok P 22 22 5110 ^{km}	
	St	eP ipp ePR ₁ S PS eSR ₁ eL F	9	24 25 27 34 35 38 48 58	54 13 48 (01) 35 27				8000 foyer profond.	Verticaux. » V. Galitzine. Int. min.		
	Al	P eS L	9	25 36	57 02				8900 ?			
18 »	St	eL F	11 12	34 10						V. N. Galitzine. »	Pas d'autre donnée.	

Date	Station	Phase	Heure			T s	Amplitudes			Δ km	Remarques	Région épiscoptrale probable
			h.	m.	s.		A _N μ	A _E μ	A _Z μ			
18 Juin (suite)	Pa	eL F	11 47 12 04									
19 »	St	eL F	3 34 4 00									
19 »	St	eL F	4 30 7 00									
19 »	St	iP iS eL M F	18 47 43 51 22 53 54 06 19 30		15	+11			2190	Compression.		
	Pa	iP iS L M ₁ M ₂ M ₃ F	18 48 20 52 30 55 56-57 57-58 59-60 19,6		11,13 10,11 13		6 6	4 3 4	2560			
20 »	St	eL F	14 41 15 40									
	Pa	traces F	14 46 15 42									
21 »	St	eL F	19 33 45									
	Pa	eL F	19 36 52.									
22 »	St	e eL F	18 21 57 20 13									
	Pa	eL M F	19 06 27-28 20 11		12,16		2	3				
23 »	St	eP eS e eL F	5 30 20 38 54 40 47 7 27						7490			
	Pa	eP L M ₁ M ₂ M ₃ F	5 31 41 54 56-57 6 01-02 02-03 7,0		22 10,17 18		11 5	7 8				
24 »	St	eL F	2 06 3 30									
24 »	Pa	e L F	3 45 4 49 5,7									

V. Galitzine.

V. N. Galitzine.

V. N. Galitzine.

Compression.

V. N. Galitzine.

V. Galitzine.

Galitzine.

V. Galitzine.

N. Galitzine.

V. Galitzine.

V. N. Galitzine.

V. Galitzine.

Pacifique.

Manila P 2^h 50^m 12^s 1635^{km}

Région Mariannes:

17° N 148° E.

Osaka P 3^h 54^m 33^s 2080^{km}

Manila P 55 41 2890

Vladivostok P 58 18

Asie Mineure

37,5° N 30° E

Kucino P 18^h 46^m 33^s 2030^{km}

Graz iP 33 2280

Baku eP 54 1710

Longues.

Emergences et longues.

Archipel de Bismarck:

4° S 152° 5 E

Amboina P 18^h 00^m 22^s 2350^{km}

Manila P 02 18

Nanking iP 04 03

Autre Séisme:

Mexique,

SE de Manzanillo;

18° N 105° W d'après J.S.A.

Tucson iP 18^h 37^m 21^s 1665^{km}

Pasadena iP 38 15

Harvard iP 41 04

(Cambridge)

Thibet:

33° N 94° E

Phu-Lien eP 5^h 23^m 53^s 1820^{km}

Tachkent iP 24 27 2280

Irkutsk iP 41 2430

Pacifique, au NE
des îles Galapagos.

Huancayo iP 1^h 47^m 03^s

Florissant eP 48 07

San Juan eP 08

Pacifique,

Région Nouvelle Zélande.

Wellington P 3^h 29^m 30^s 19^{km}

Sydney Ob.eP 30 18 2400^{km}



Date	Station	Phase	Heure			T s	Amplitudes			Δ km	Remarques	Région épicroentrale probable
			h.	m.	s.		A _N μ	A _E μ	A _Z μ			
24 Juin	St	e eL F	3	45						V. N. Galitzine.		
			4	03						"		
			5	38						"		
24 "	Al	eP PR ₁ SP ₁ S _c PS L M F	6	12	32				9.600		Frontière Bolivie Argentine. 21° S 66° W Huancayo eP 6 ^h 02 ^m 25 ^s San Juan iP 07 06 40° Saint-Louis iP 09 59 64°	
			15	48								
			22	40								
			23	10								
			40	(30)								
			47	(25)								
			7	30								
	Pa	iP PR (S _c P _c S) (S) L M ₁ M ₂ F	6	12	49				(10.130)			
			16	41								
			23	16								
			23	53		10		4				
			38									
			49-50			30,30	24	39				
			51-52			24,22	17	26				
			9,7									
	St	e S _c P _c S S PS SR ₁ eL M ₁ M ₂ M ₃ M ₄ F	6	18					10.600?	Début perdu par le changement des feuilles.		
			23	34								
			24	20								
			25	33								
			31	03								
			46									
			52	45		20	+13					
			7	00	30	16	-10					
			03	30		15	+10					
			05	00		15		+11				
			10	00								
24 "	Pa	eL F	14	46							Pas d'autre donnée.	
			15	32								
25 "	St	e(P) F	11	25	(00)					V. Galitzine, Int. min.	Pas de données.	
			40							"		
	Pa	e L F	11	25						V. Galitzine.		
			12	25								
			13,2									
25 "	Pa	e L M F	15	17		12,13	2	2		V. Galitzine.	Asie Mineure. vers 39° 5' N 28° E Zagreb eP 15 ^h 27 ^m 43 ^s Trieste eP 28 00 Uccle P 29 43	
			36									
			38									
			16	44								
	St	e(P) eL F	15	29	10					V. Galitzine. V. N. Galitzine.		
			35							"		
			16	08							Pas de données.	
26 "	St	eL F	12	56						V. N. Galitzine.		
			14	03						"		
26 "	St	eL F	14	50						V. N. Galitzine.		
			15	40						"		
26 "	St	eL F	16	01						V. N. Galitzine.		
			17	45						"		
26 "	Pa	traces F	20	45						V. Galitzine.	Japon. Ressenti au NE de Kwanto, Kasima - Nada : 36° 4' N 141° 3' E Nagoya eP 20 ^h 40 ^m 10,6 ^s 330km Osaka P 33,0 456 Tachkent iP 49 34	
			21	52						Galitzine.		
	St	eL F	21	01						"		
			40								Pas de données.	
27 "	St	eL F	12	05						Galitzine.		
			13	55						"		
	Pa	eL F	12	21						V. Galitzine.		
			52									

Date	Sta- tion	Phase	Heure			T s	Amplitudes			Δ km	Remarques	Région épiscoptrale probable
			h.	m.	s.		A _N μ	A _E μ	A _Z μ			
28 Juin	St	e F	1	08	23 13					V. E. Galitzine.	Pas de données.	
28 »	St	eP' ePR ₁ S _c P _c P? eL F	1	15	41 18 19 19 19 2 06 3 30				14.900	V. Galitzine. V. N. Galitzine. Galitzine.	Pacifique 10° S 165° E Amboina P 1 ^b 03 ^m 14 ^s Manila iP 05 17 Nanking eP 06 35	
	Pa	e ₁ e ₂ L F	1	15	55 18 43 2 10 3 37							
29 »	St	eP eP' iPR ₁ iPR ₂ i iPS iPPS eSR ₁ eL F	8	38	47 42 38 43 32 45 50 46 45 51 59 53 04 9 03 00 11 00				11.800	V. Galitzine. » » » » » N. Galitzine.	Célèbes. 4° S 121° E Amboina iP 8 ^b 26 ^m 53 ^s 760 ^{km} Batavia iP 28 33 Manila iP 29 21 1825	
	Pa	i(P) PR ₁ PR ₂ i(S) e L M ₁ M ₂ F	8	42	43 45 43 47 07 52 29 54 37 9 22 31-32 36-37 11,1	15,15 16,15	2 3	2 3	8.520			
	Al	i(Pou P i(S) F	R ₁ 8	42	50 19 9 07							
29 »	St	eL F	12	55	14 00					V. N. Galitzine.	Réplique du précédent d'après Chiufeng. Amboina P 12 ^h 36 ^m 38 ^s 820 ^{km} Batavia P 37 48 1390 Manila iP 38 42 1690	
	Pa	eL F	13	00	13,9							
30 »	Pa	traces F	9	39	10 01					V. Galitzine.	Pas de données.	
30 »	Pa	e ₁ e ₂ L M F	10	35	40 42 46-47 11 12	13,11	1	1			Atlantique ? Emergences à Kew et Uccle.	
	St	eL F	10	41	11 10					N. Galitzine. »		
30 »	St	eL F	12	21	15 30					N. Galitzine. »	Océanie. Emergences à Sydney et Melbourne.	
	Pa	eL M F	12	21	27-28 55	9,11	1	1				
30 »	Pa	eL F	13	27	14 34						Emergences et longues. Pasadena iP 13 ^h 21 ^m 16 ^s	
30 »	St	eL F	18	00	19 00					V. N. Galitzine. »	Iles Bonin. 27° N 142° E Vladivostok P 17 ^h 11 ^m 00 ^s 1960 ^{km} Nanking eP 40 2400 Manila P 12 30 3945	
	Pa	traces F	18	08	31					V. Galitzine.		

Date	Sta- tion	Phase	Heure			T s	Amplitudes			Δ km	Remarques	Région épiscoptrale probable
			h.	m.	s.		A_N μ	A_E μ	A_Z μ			
30 Juin	St	e(P) i(S) F	19	59	50 53				20 ?	Grand pendule. »	Pas de données.	
30 »	Pa	e(P) L F	20	01	34					V. Galitzine.	Emergences et longues.	
					57	21,6						
1er Juillet	St	i(P) eL F	20	01	57					V. Galitzine. »	Local - Strasbourg.	
					06 12							
1er »	St	eP iS i F	11	29	41				20	Grand pendule, Wiechert.	Local - Strasbourg.	
					43							
					47 30 30							
1er »	St	e F	15	38	30				H. Grand pendule. »	Pas d'autre données.		
1er »	St	eP iS F	16	12	59				20	E. Grand pendule. »	Local - Strasbourg.	
					13 02	14 00						
1er »	St	e F	16	27					H. Grand pendule. »	Pas de données.		
1er »	St	eP iS F	18	17	50				40		Ressenti à Seltz (Bas-Rhin) III Bâle eP 18 ^h 18 ^m 08,5 ^s 146 ^{km} Zürich eP 11,8 142 Neuchâtel eP 20,3 212	
					56	22						
1er »	Pa	e L F	20	21						V. Galitzine.	Frontière Chili Bolivie. La Plata P 19 ^h 56 ^m 19 ^s 2190 ^{km} La Paz P 59 42 (4890)?	
					51	22,2						
3 »	Pa	eL F	20	39						V. N. Galitzine. »	Japon, près de l'île Isigaki. Manila iP 3 ^h 48 ^m 36 ^s 2210 ^{km} Nanking eP 49 10 Chiufeng P 31 01 (2035)	
					34	4 33 5 05						
3 »	St	eL F	4	37						V. N. Galitzine. »	Italie, côte Adriatique, vers 43° N 14° E Zagreb eP 16 ^h 12 ^m 50 ^s Prato eP 36 Trieste S 13 32	
					14	4 37 5 14						
3 »	St	eL F	16	16						V. Galitzine. »	Océan Atlantique Sud. 53° S 15° W d'après U.R.S.S. La Plata P 1 ^h 47 ^m ,8 2730 ^{km} La Paz P 50 40 ^s 5065	
					40	16 16 40						
4 »	Pa	eL F	16	16						V. Galitzine.		
					35	16 16 35						
4 »	Pa	e L M ₁ M ₂ F	2	02		18	3	2		V. Galitzine. »		
					34	45-46	16,17	2	2			
4 »	St	e ₁ e ₂ eL F	4	52						V. N. Galitzine. »		
					10	50-51						
4 »	St	e F	16	50					V. Galitzine. »	Pas de données.		
6 »	St	e F	2	52	13					Grand pendule.	Italie; Ressenti dans la province de Pérouse. Prato iP 2 ^h 48 ^m 29 ^s 210 ^{km} Trévise iP 36 590 Trieste eP 52	
					53	2 52 13 53						
6 »	Pa	traces F	19	30					V. Galitzine.	Pas de données.		
				48								



Date	Station	Phase	Heure			T s	Amplitudes			Δ km	Remarques	Région épiscoptrale probable	
			h.	mi.	s.		A_N μ	A_E μ	A_Z μ				
6 juillet	Gr	e ₁ e ₂ L F	22 59 05 23 10 32 16 0 30										
	Pa	eP eS L M ₁ M ₂ F	23 01 (02) 11 08 22 33-34 34 35 3,3	17 15,15	23	51 44			8.910	Int. min. Correct. d'heure douteuse.		Côte au Sud de l'Oregon. Ressenti. 41°5 N 124°9 W Ukiah iP 22 ^h 49 ^m 38 ^s 2°8 Berkeley iP 50 00 4°3 Pasadena iP 51 09 9°1	
	St	eP PR ₁ S PS SR ₁ SR ₂ eL M ₁ M ₂ M ₃ M ₄ M ₅ M ₆ F	23 01 15 04 22 11 27 12 13 16 53 20 15 30 33 00 35 20 36 30 38 10 39 00 40 20 2 00	18 15 16 14 15 12	-39 +39 +57		-37 +60 +29		9.030	V. N. Galitzine.			
	Al	eP S PS L M F	23 01 41 12 09 40 29 36 0 40						9.380 ?				
	7 "	Pa	e L F	14 58 15 30 16,2							V. Galitzine.		Longues.
		St	eL F	15 29 17 00							V. N. Galitzine.		
	8 "	Pa	eL F	14 56 15 11							V. Galitzine, faible.		Japon. Nord du cap Erimo. 41°9 N 142°8 E
	9 "	St	eP iS R ₁ P R ₁ S F	2 00 57 01 04 12 21 03 00						50	Grand pendule.		Forêt-Noire, au nord de Fribourg en Brisgau. Bâle eP 2 ^h 01 ^m 01,3 ^s 65 ^{km} Zürich eP 08,1 98 Neuchâtel eP 14,1 133 Coire eP 23,0 200
	9 "	St	eP iS R ₁ P R ₁ P i F	3 34 43 48 53 35 00 09 38 00						35	Grand pendule.		Réplique.
	10 "	Pa	e L M F	1 13 34 32 40-41 2 43	17		2						Antilles. 19° N 80° W d'après U.S.C.G.S. et J.S.A.
	St	e(P) e(PR ₁) e(S?) eL F	1 13 45 16 23 34 2 30							V. Galitzine. H. Galitzine. Galitzine.			
10 "	Pa	traces F	3 51 4 12							V. Galitzine.		Pas de données.	

Date	Sta- tion	Phase	Heure			T s	Amplitudes			Δ km	Remarques	Région épicroentrale probable	
			h.	m.	s.		A_N μ	A_E μ	A_F μ				
10 Juillet	St	$e_1(P)$	21	30						V. Galitzine. » » »	Pacifique. Manila P 21 ^h 21 ^m 17 ^s 5765 ^{km} Chiufeng eP 23 06 7855		
		$e_2(PR_1)$		33									
		eL	22	35									
		F	23	20									
	Pa	e	21	31						V. Galitzine.	Pas de données.		
L		22	31										
F		23,3											
11 "	Pa	e	15	57						V. Galitzine.	Pas de données.		
L		16	54										
F		17,7											
12 "	Pa	e	10	04	25	14,15	2	1			Pacifique. 37°5 N 142°5 E d'après U.R.S.S. Vladivostok iP 9 ^h 54 ^m 17 ^s 1070 ^{km} Chiufeng iP 56 32 2400 Nanking P 35 2510		
L			39										
M			47-48										
F		12,2											
12 "	Pa	traces	15	20							Ressenti à Java. Malabar iP 14 ^h 26 ^m 32 ^s 900 ^{km}		
F		16	45										
13 "	Al	iP	4	22	26,3				136		Algérie. Orléansville (A).		
		iS			43,3								
		$R_1 F_2 S_2$	23	05,6									
		$R_1 S$			22,3								
		F		27									
13 "	Al	iP	9	35	16,1				149		Algérie. Orléansville (A).		
		iS			34,7								
		$R_1 S$	36	12,0									
		F	39										
13 "	Al	iP	10	51	37,2				154		Algérie. Orléansville (A).		
		iS			56,4								
		F	56										
	Pa	traces	10	58					V. Galitzine.	Pas de données.			
F		11	35										
13 "	Al	iP	19	27	11,0				144		Réplique.		
		iS			29,0								
		F	29										
13 "	Al	iP	21	02	53,0				144		Réplique.		
		iS			11,0								
		F	08										
14 "	Al	eP	0	25	38				136		Réplique.		
		iS			55								
		F	27										
16 "	St	e(P)	8	32	(00)				(9.900)	V. Galitzine, Int. min. »	Côtes Mexique. 16°9 N 100°1 W St-Louis eP 8 ^h 24 ^m 12 ^s Pasadena eP 27 Washington iP 25 11 31°		
		e(PR ₁)		35	30								
		eL	9	04									
		F		46									
	Pa	L	9	04		18	2				Panama. Destructeur dans la province de Chiriqui. Dommages à David City et Puerto Armuelles. 8°2 N 82°5 W d'après J.S.A. San Juan iP 1 ^h 40 ^m 49 ^s 19°2 Huancayo iP 41 11 21°2 Chicago iP 42 06 34°7		
M			13-14										
F			48										
18 "	Gr	iP	1	48	29				9.465				
		PR ₁		51	38								
		S		59	01								
		PS	2	00	09								
		SR ₁		04	36								
		L		10									
		F		dans le suivant									



Date	Station	Phase	Heure			T s	Amplitudes			Δ km	Remarques	Région épicentrale probable
			h.	m.	s.		A _N μ	A _E μ	A _Z μ			
18 Juillet	Ba	P	1	48	34							
		PR ₁		51	37							
		S		59	?							
		Pa	SR ₁	2	04	66						
			L		11							
			F	3	00							
		Pa	iP	1	48	37						
			S		58	54	11,14	30	104	9.150		
			SR ₁	2	03	10						
			L		04							
			M ₁		14-15		25,30	114	392			
			M ₂		20-21		19,21	68	272			
		F	dans le suivant									
	Al	eP	1	48	41							
		PR ₁		51	51							
		PR ₂		53	53							
		S		59	07							
		PS			53							
		SR ₁	2	05	03							
		?		10	19							
		iL		14	45							
		M		24								
				F	dans le suivant							
	St	iP	1	48	53							
		PR ₁		51	18							
		iS		59	23							
		m ₁			30	18	-330					
		PS	2	00	20							
		m ₂			30	18	-390					
		SR ₁		05	18							
		m ₃			30	20	+500					
		SR ₂		08	39							
		m ₄		09	00	25	+310					
		eL		18								
		M ₁			15	15	+53					
		M ₂		20	00	25		+380				
		M ₃			20	20			+500			
		M ₄		26	00	18	+83	-235				
M ₅		27	00	18			-300					
		M ₆		31	30	15	-79					
		F	dans le suivant									
	Ma	P	1	48	54							
		PR ₁		51	36				8.400			
		S		58	39							
		PS		59	20							
		SR ₁	2	04	44							
18 "	Pa	L		17								
		F	6									
		P	4	12	57							
		S		22	(57)				8.900			
		L		38								
		M ₁		44-45		19		18				
M ₂		47-48		17,18		4	17					
		F	8,2									
	Al	P	4	13	03							
		S		23	12				8.965			
18 "	St	iP	4	13	12							
		S		23	30				9.165		V. Galitzine, dilatation.	
		eL		40								
18 "	St	F	6	00								
		eL	7	28								
18 "	Pa	F	8	07								
		eL	12	04								
		F		21								

Maximum calculés sur les Wiechert.

Réplique du précédent.
 Toronto iP 4^h 07^m 23^s 3235^{km}
 Ottawa iP 54 4045
 Pasadena iP 08 28

Pas de données.

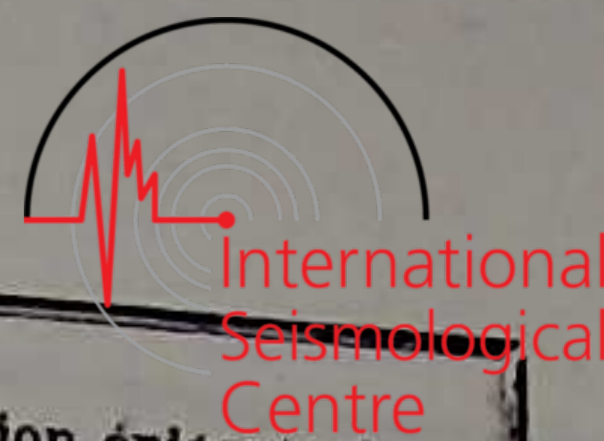
Galitzine.
 " V. Galitzine.



Date	Station	Phase	Heure			T s	Amplitudes			Δ km	Remarques	Région épicertrale probable
			h.	m.	s.		A _N μ	A _E μ	A _Z μ			
18 Juillet	Pa	e L F	13	23							Emergences et longues. Vladivostok P 13 ^h 14 ^m 07 ^s	
	St	e eL F	13	25	56					V. Galitzine. » »		
18 "	St	eP e eL F	16	22	20					V. Galitzine. E. Galitzine.	Nouvelle réplique. Washington P 16 ^h 16 ^m 11 ^s	
			dans le suivant									
18 "	Al	iP PR ₁ S L M F	17	12	00				9.255		Pacifique - Région Panama. 7 ^o ,8 N 82 ^o ,5 W d'après U.S.C.G.S. 8 ^o ,2 82 ^o ,2 d'après J.S.A. Huancayo iP 17 ^h 04 ^m 24 ^s 20 ^o ,6 St-Louis iP 08 04 3103km Tucson iP 46 3509	
	Pa	iP S L M ₁ M ₂ F	17	12	02				8.860			
			dans le suivant			31 36	41	96				
	Ma	eP PR ₁ S PS SR ₁ L F	17	12	04				8.365			
			dans le suivant									
18 "	St	iP PR ₁ iS PS L M ₁ M ₂ M ₃ M ₄ F	17	12	12				9.155	Vert., compression.		
			dans le suivant			16 16 16 16	+11 -11	+23 -20				
18 "	St	iP' iPR ₁ eL M ₁ M ₂ M ₃ M ₄ M ₅ M ₆ M ₇ M ₈ M ₉ M ₁₀ F	19	59	40				15.400	V. Galitzine, dilatation.	Ile Santa Cruz. Destructeur à Vanikoro. Ressenti aux îles Salomon. 14 ^o S 167 ^o E d'après U.S.C.G.S. 16 ^o S 167 ^o E d'après J.S.A. Sydney R. eP 19 ^h 45 ^m 50 ^s 3165km Wellington P 46 27 29 ^o ,2 Perth iP 49 25 3210km	
			dans le suivant			30 30 20 25 25 20 20 20 20 20 20 20	+880 -1250	-1250 -545 +770 -1500				
	Gr	P P' L F	19	59	45							
	Pa	eP PR L M ₁ M ₂ M ₃ F	19	59	46				(10.000)			
			dans le suivant			24 23,20 22,21	782 560	605 438 519				



Date	Station	Phase	Heure			T s	Amplitudes			Δ km.	Remarques	Région épacentrale probable		
			h.	m.	s.		A _N μ	A _E μ	A _Z μ					
18 Juillet (suite)	Ma	P (P') L F	20	00	00 03 (20) 28						Int. min.			
			dans le suivant											
	Ba	iP L F	20	00	(03) 21 22 25						Int. heure.			
	Al	eP i? PR ₁ SP ₁ S? S PS SR ₁ SR ₂ L M ₁ M ₂ M ₃ F	20	00	12 02 22 03 18 10 01 11 01 26 16 24 19 45 30 59 21 02 30 15 30 23 15					9.880				
						28	300							
						25	390							
						18	163							
	19	St	iP' ePR ₁ ePR ₂ eL F	0	26	14 29 09 36 23 46					15.400	V. Galitzine, compression.	Nouvelle Calédonie. 13°15' S 166°30' E Sydney R. iP 0 ^h 12 ^m 13 ^s 2955 ^{km} Wellington P 55 31° Amboina P 14 03	
				dans le suivant										
		Ma	i L F	0	26	(20) 44						Int. min. Très faibles.		
				dans le suivant										
		Al	iP S L	0	26	39 36 54 48					9.100	Très faibles.		
Pa		e L M F	0	29	22 46 52-53	14,13	2	2						
			dans le suivant											
19		St	iPR ₁ ePR ₂ ePR ₃ iPS iSR ₁ eL M ₁ M ₂ M ₃ M ₄ F	1	46	53 49 38 52 16 56 28 2 02 55 08 29 00 31 10 33 30 43 40					12.200	Galitzine.	Région Nouvelle Guinée. Ressenti à Céram et en Nouvelle Guinée. 2° S 130° E Amboina iP 1 ^h 28 ^m 57 ^s 600 ^{km} Manila iP 31 57 2310 Malabar P 33 10 2960	
							18	+22						
							16	-23						
							15		+20					
							16		-20					
			dans le suivant											
	Gr	eP L F	1	47	14 2 04 3 20									
	Ma	i L F	1	47	(20) 07 3 20						Int. min.			
	Pa	P L M ₁ M ₂ F	1	47	21 2 26 27-28 36-37	33,19 21	35	10 27						
	Al	eP eS L ₂ F	1	47	56 57 56 2 04 (30) 3 30					8.745				



Date	Station	Phase	Heure			T s	Amplitudes			Δ km	Remarques	Région épiscoptrale probable
			h.	m.	s.		A_N μ	A_E μ	A_Z μ			
19 Juillet	St	eP' ePR ₁ eL F	6	04	44 07 48 27	16,15	2	2	15.200	V. Galitzine.	NE des Nouvelles Hébrides. 13° S - 164,5° E Manila P 5 ^h 51 ^m 43 ^s 5780 km Batavia iP 55 24 Chiufeng iP 56 34 7990	
	Pa	e L M F	6	07	38 46 13-14							
" "	St	eP' ePR ₁ S _c P _c P _c ePR ₂ eS _c P _c S _c eL M ₁	7	56	26 59 22 8 00 (00) 02 58 05 25 38	15.000	V. N. Galitzine. V. Galitzine. Int. min.	Polynésie. 10° S - 170° E Sydney R. eP 7 ^h 42 ^m 18 ^s 2955 km Amboina P 44 19 Manila P 46 13 6060				
	M ₂	05	00	18	+21				-19			
	M ₃	07	00	18	-14							
	M ₄	09	00	18	+23							
	M ₅	09	00	16					+23			
	F	11	30									
	Gr	eP L F	7	56	27 8 47 9 20							
	Al	eP ePR ₁ e e L M F	7	56	30 58 58 8 04 00 08 40 50 9 02 10 00						7.000 ?	Douteux.
	Pa	eP L M ₁ M ₂ F	7	56	35 8 43 9 07-08 14-15 11,7				17 17	18	19	Phases indiscernables.
	19 "	St	e(P) e(PR ₁) eL F	12	19				22 30			
19 "	Pa	e L F	12	22	13 24 14 01				V. Galitzine.			
19 "	Pa	traces F	15	56	16 08				V. Galitzine.	Pas de données.		
19 "	Pa	traces L F	23	17	0 18 1,4				V. Galitzine.	Pacifique. Vladivostok eP 23 ^h 08 ^m 23 ^s 7300 km Chiufeng e(P) 59		
20 "	St	e ₁ e ₂ F	23	17	08 2 20 16 50				V. Galitzine.			
20 "	St	e eL F	2	22	56 50				V. Galitzine. " "	Région Aléoutiennes. 50,5° N - 175° W d'après U.R.S.S. Vladivostok P 2 ^h 18 ^m 00 ^s 4020 km Tachkent iP 19 14 8370 Chiufeng P 29		
20 "	Pa	e L M F	2	23	3 00 11-12	17	2					
20 "	St	eP i(PR ₁ ?) F	4	11	40 14 51 6 00				V. Galitzine. "	Pacifique ? Phases mal définies. Vladivostok P 8 ^h 53 ^m 04 ^s 7300 km		

Date	Station	Phase	Heure			T s	Amplitudes			Δ km	Remarques	Région épiscoptrale probable
			h.	m.	s.		A_N μ	A_E μ	A_Z μ			
20 Juillet (suite)	Pa	P (PR) L F	4	12								
				15								
			5	24								
			6,2									
20 "	St	i F	13	26	26							
			14	00								
20 "	St	eL F	14	28								
			15	00								
20 "	St	$i_1(P')$ $i_2(PR_1)$ eL F	17	07	41				15.200			
				10	38							
				30								
				40								
20 "	St	e_1 e_2 F	18	25	28							
				32	26							
			dans le suivant									
20 "	Pa	e L F	18	30								
				37								
			dans le suivant									
20 "	St	e_1 e_2 eL F	19	08	13							
				11	04							
				27								
				22	00							
20 "	Pa	e_1 e_2 L M_1 M_2 F	19	08	15							
				12								
				27								
			20	18-19		15	5					
				37-38		18		5				
			21,9									
21 "	Pa	eL F	5	08								
				6,0								
21 "	St	e eL F	5	29	29							
			6	26								
				53								
21 "	St	eP eP' PR ₁ S ₁ P ₁ P PR ₂ PS ₁ P ₁ S SR ₁ SR ₂ eL M_1 M_2 M_3 M_4 M_5 M_6 M_7 M_8 M_9 M_{10} M_{11} F	6	35	15					15.600		
				37	45							
				40	38							
				41	30							
				43	47							
				50	37							
				59	12							
			7	04	21							
				22								
				43	50	20	+67					
				46	50	20	+57					
				47	00	18		+18				
				48	00	15			+21			
				50	40	18	-45					
				51	45	15						
				52	00	18		+9				
				54	00	15						
			8	02	30	15						
				04	00	18						
				07	00	20						
			dans le suivant									
21 "	Pa	e(P) L M_1 M_2 F	6	37	45							
			7	00								
				28-29		26		101				
				46-47		18,17		57		43		
			dans le suivant									

Pacifique ?
Emergences.
Pas de données.

Océanie.
11°3 S 167°3 E
Vladivostok P 16^h48^m56^s 7260km
Sydney R. eP 53 45
Manila P 57 21 5945

Région îles Salomon ;
d'après Manila :
9° S 159° E
Sydney Ob. eP 18^h15^m42^s 3400km
Manila P 19 28 4945
Emergences diverses.

W des îles Fidji.
Manila indique 16° S 173° E
Vladivostok P 18^h49^m14^s 7020km
Batavia eP 33
Amboina P 55 08

Ile Luçon.
17°5 N 122°5 E
Ressenti au Nord et au centre
de Luçon.
Manila iP 4^h38^m05^s 230km
Nanking eP 42 16 2545
Vladivostok eP 43 30 2930

Nouvelle Guinée.
18°2 S 164° E
d'après J.S.A ;
20° S 167° E
d'après U.S.C.G.S.
Melbourne P 6^h24^m49^s 34°7
Amboina iP 25 27
Manila iP 27 19 6455km
Batavia iP 28 13

Phases indiscernables.



Date	Station	Phase	Heure			T s	Amplitudes			Δ km	Remarques	Région épiscoptrale probable
			h.	m.	s.		A_N μ	A_E μ	A_Z μ			
21 Juillet (suite)	Al	eP ₁	6	38	02					14.835	Int. min.	
		PR ₁		40	25							
		S.P.S		44	58							
	Ma	PPS	7	20	26					16.380 ?	Int. min.	
		L		34								
		M	9	35								
	Al	F	6	38	24						Int. min.	
		e(P')		42	36							
		e ₁	7	00	52							
	Pa	e ₂	7	00	52						Int. min.	
		SR ₁		06	(00)							
		SR ₂	8	50								
Al	L	8	50							Int. min.		
	F	10	51	02					9.500			
	P	11	01	35								
Pa	S	11	01	35						Int. min.		
	eL		23									
	M	12	30									
Pa	F	12	30							Int. min.		
	iP	10	51	23					8.910			
	S	11	01	29								
St	(PS)		02	(27)	21		43			V. Galitzine. Compression.		
	(SR)		07	01								
	L		10		25	19						
St	M ₁		20-21		21		56			V. Galitzine. Compression.		
	M ₂		21-22									
	F	14,7										
St	iP	10	51	41					9.400	V. Galitzine. Compression.		
	PR ₁		54	53								
	PR ₂		56	46								
St	eS	11	02	11						V. Galitzine.		
	PS			57								
	SR ₁		07	54	18		-40					
St	SR ₂		11	24	20	+17						
	eL		20		16	-15						
	M ₁		23	30	16		+6					
St	M ₂		25	10	16					V. Galitzine.		
	M ₃		34	20	15							
	M ₄		35	00	16							
St	M ₅		38	20	16	+18				V. Galitzine.		
	M _n											
	F	14	40									
Ma	P	10	52	00					9.400	V. Galitzine.		
	S	11	02	28								
	PS		03	24								
Pa	SR ₁		08	(00)						V. Galitzine.		
	L		17									
	F	12	20									
21 "	Pa	traces	21 h. à 22 h.15								Pacifique. Manila P 20 ^h 20 ^m 31 ^s 5925km Vladivostok eP 21 48 7000	
22 "	Pa	e ₁	3	17	24						V. Galitzine.	
		e ₂		21								
		L	4	17		12		1				
St	M			24-25						V. N. Galitzine.		
	F	6,1										
	e ₁ (P')	3	17	25					(15.500)			
St	e ₂ (PR ₁)		20	05						V. N. Galitzine.		
	eL	4	13									
	F	6	00									
Al	Al	e	3	17	35					V. Galitzine.		
		i		18	38							
		f	5	00								
Al	Al	e	20	01	02					V. Galitzine.		
		F	dans le suivant									
		e	20	02	17							
St	St	F	dans le suivant							V. Galitzine.		
		e	20	02	17							
		F	dans le suivant									

Panama.
8°2 N - 82°5 W
d'après J.S.A. ;
7°8 N - 82°5 W
d'après U.S.C.G.S.
San Juan iP 10^h43^m42^s 18°7
St-Louis iP 45 29 31°
Ottawa iP 46 24 3706km

Pacifique.
Manila P 20^h20^m31^s 5925km
Vladivostok eP 21 48 7000

Nouvelles Hébrides.
13°5 S - 170° E
Suva P 3^h01^m(24^s) 14°1
Sydney Ob. eP 02 54 3450km
Manila iP 06 35 5660

Emergences et longues ondes.



Date	Sta- tion	Phase	Heure			T s	Amplitudes			Δ km	Remarques	Région épcentrale probable
			h.	m.	s.		A_N μ	A_E μ	A_Z μ			
22 Juillet (suite)	St	P	20	05	05				5.340	V. Galitzine, Compression. Int. min. V. Galitzine.	Ouest de Pamir. Ressenti à Tachkent intensité III. 37° 6' N 71° 8' E Tachkent iP 19 ^h 58 ^m 17 ^s 460km Baku iP 20 00 44 1840 Sverdlovsk iP 01 29 2230	
		pP		03	(01) 27							
		sP			50							
		PR ₁		07	36							
		e		08	17							
		pPP		11	41							
		iS		13	15							
		isS		15	37							
		eSR ₁		16	22							
		esSS		25								
eL		21	30									
F												
23	Pa	eP	20	05	32	15 10,13	3	7 5			Algérie. Oued Fodda (A).	
		e		08	31							
		e		14	03							
		L		16								
		M ₁		17-18								
		M ₂		18-19								
F		21,2										
23	Al	iP	8	08	32				136			
		iS			49							
23	Pa	F		10								
		traces	16	41								
23	Pa	F	17	06								
		e ₁	18	30	42	10 11	2	2			Océan Atlantique. 2° 5' S 17° 5' W Cartuja eP 18 ^h 29 ^m 16 ^s 4510km Kew eP 30 43 5830 Uccle eP 57 5940	
e ₂		38	05									
L		44										
M ₁		50-51										
M ₂		52-53										
F		19	42									
23	St	iP	18	31	01				5.770	V. Galitzine, Dilatation. " " N. Galitzine		
		PR ₁		33	00							
		PR ₂		34	07							
		eS		38	33							
		SR ₂		43	23							
		eL		46								
F		19	13									
24	Pa	eP	2	59	50					V. Galitzine.	Emergences.	
		L		3	28							
		F		4,1								
25	St	e(P)	10	58	30					V. Galitzine. V. N. Galitzine. "	Chiufeng eP 11 ^h 45 ^m 07 ^s 1235km Tachkent iP 40 46 1720	
		eL		11	50							
		F		13	11							
25	Pa	traces	11	49						V. Galitzine. "		
		F		12	31							
25	St	e	15	49						V. Galitzine. "	Vladivostok P 15 ^h 37 ^m 40 ^s Longues ailleurs.	
		F		16	06							
27	Pa	e	2	38						V. Galitzine.	Nord Canada. 63° N 100° 5' W Florissant iP 2 ^h 30 ^m 53 ^s 24° 2' Washington iP 31 30 27° 0' Pasadena iP 32 03	
		L		3	04							
		F		3,6								
27	St	eL	3	07						V. N. Galitzine. "		
		F			43							
27	St	iP	12	45	06	16		2	(15.200)	V. Galitzine. " " "	Mer de Corail. 16° S 160° E Melbourne eP 12 ^h 32 ^m 05 ^s 31° 5' Manila P 34 52 5470km Vladivostok eP 36 14 7180	
		iPR ₁		47	(58)							
		eL		13	48							
		F		14	45							
27	Pa	eP	12	48	09							
		L		13	52							
		M		14	55-56							
		P		14	55							



Date	Station	Phase	Heure			T s	Amplitudes			Δ km	Remarques	Région épiscoptrale probable
			h.	m.	s.		A _N μ	A _E μ	A _Z μ			
1907 Juillet	St	e ₁ (P)	2	15	13					(6.000)	V. Galitzine. » V. N. Galitzine. E N Galitzine. V. Galitzine. N. Galitzine. Galitzine. »	Kachmir. 33° N 74° E Sverdlovsk iP 2 ^h 11 ^m 53 ^s Pulkovo iP 13 14 Manila iP 14 51
		e ₂ (PR ₁)		17	06							
		e ₂ (S)		22	45							
		e ₁ (SR ₁)		26	00							
		e ₃		32	36							
		e ₄		33	00							
		e ₅		37	90							
		eL		3	30							
		F										
		Pa	Pa	e	2	27		11,12	2			
L				37								
M				42	43							
Pa	Pa	F	3,3									
		e ₁	16	07	26					Longues ondes.		
		e ₂		09	33							
L		16										
St	St	M		19-20								
		F		57								
		eL	16	16						Galitzine. »		
F		30										
Pa	Pa	eP	21	48	29	33,25 18	34	30	38		8.300	Compression.
		PR		51	24							
		iS		58	13							
		L	22	03								
		M ₁		16-17								
		M ₂		24-25								
		F	1,1									
St	St	iP	21	48	42	19 18 16 15 15 15 18	+35 -25 +5 -35			8.365	V. Galitzine, Compression.	
		PR ₁		51	26							
		PR ₂		52	58							
		eS		58	23							
		PS			59							
		SR ₁	22	03	28							
		SR ₂		06	36							
		eL		12								
		M ₁		21	00							
		M ₂			30							
		M ₃		26	10							
		M ₄			20							
		M ₅		27	40							
M ₆		28	00									
M ₇		29	40									
F	1	00										
Ba	Ba	e(P)	21	49	02					(9.000)		
		e(PR ₁)		52	09							
		e(S)		59	17							
		eL	22	10								
Al	Al	F	23	10						9.000 ??		
		e(P)	21	50								
		S	22	00	15							
Pa	Pa	e		03	01							
		M		21								
		F	23									
Pa	Pa	e	2	02							V. Galitzine.	Longues seulement.
		L		25								
St	St	F	dans le suivant									
		eL	2	26								
Pa	Pa	F		40								
		e	3	01								
St	St	L		16								
		F	3,6									
St	St	e	3	17								
		P		32								
St	St	e	3	54	(00)							
		eL	4	06								
		F		20								

Pacifique ?
Manila P 3^h 41^m 07^s
Christchurch eP 07

Date	Station	Phase	Heure			T s	Amplitudes			Δ km	Remarques	Région épiscoptrale probable
			h.	m.	s.		A _N μ	A _E μ	A _Z μ			
30 Juillet (suite)	Pa	e L F	4	20								
			dans le suivant									
31 "	St	i(P) e eL F	6	11	47							
				24								
				45								
	Pa	L M F	6	54		15,21	3	5				
				58-59								
			7,5									
31 "	Al	i(P) i(S)	12	00	51							
				13	13							
	St	e(P) e(S) eL F	12	02								
				12	34							
				20								
				55								
2 Août	St	e ₁ e ₂ e ₃ eL F	7	24	12							
					17							
				33	12							
				50								
			8	38								
	Pa	eL F	7	53								
			8,4									
2 "	St	e F	11	12								
				17								
3 "	St	eL F	10	22								
				45								
	Pa	traces F	10	27								
				34								
3 "	St	eL F	20	05								
				38								
	Pa	traces F	20	10								
				17								
4 "	St	e ₁ e ₂ eL F	13	28	43							
				31ca								
				10								
				38								
	Pa	eL M ₁ M ₂ F	14	15		22	4	5				
				21-22		18						
				26-27								
			15,2									
6 "	St	eL F	17	30								
				37								
	Pa	traces F	17	37								
				40								
7 "	St	iP PR ₁ SPP PR _c SPPS PSPS PPS eL M ₁ M ₂	3	59	31				15.850			
			4	02	34							
				03	01							
				05	40							
				09	30							
				12	38							
				15	14							
				30								
				52	50	25	-26					
				54	00	25		+18				

V. Galitzine, Compression.
V. N. Galitzine.

Philippines.
Ile Luçon.
Ressenti à Luçon, VI
17° N 155° E
L'épicentre est dans la mer de Chine.
Manila indique :
15° 08' N 119° 47' E
Phu-Liën P 6^h 01^m 58^s 1760km
Nanking P 02 37 1910
Chiufeng iP 04 03 2710

Ressenti N Sumatra.
9° N 98° 5' E
Medan iP 11^h 50^m 05^s
Batavia eP 52 44
Manila iP 55 01

V. Galitzine.
N. Galitzine.
V. N. Galitzine.

Nouvelle Guinée.
Ressenti à Hollandia.
5° S 136° E
Amboina eP 6^h 57^m 35^s 1480km
Vladivostok P 7 03 25 5410
Tachkent P 06 50 8500

V. Galitzine.

Emergences seulement.

V. N. Galitzine.

Japon.
Ressenti à Tohoku et au sud de Hokkaido.
35° 5' N 131° E
Nagoya P 9^h 37^m 47^s 670km
Vladivostok P 38 13 920
Chiufeng eP 39 16

V. Galitzine.

Longues seulement.

V. Galitzine.

V. Galitzine.
Galitzine.

Archipel de Bismarck.
3° S 147° 5' E
d'après le réseau U.R.S.S.;
6° 45' S 145° 45' E
d'après Manila.
Batavia iP 13^h 12^m 04^s 2530km
Manila iP 14 23 3700
Zi-Ka-Wei P 15 58
0° 5' S 143° 5' E

Galitzine.

Emergences et longues seulement.

V. Galitzine.

V. Galitzine, Dilatation.
Galitzine.
V. N. Galitzine.
V. Galitzine.

Nouvelles Hébrides.
14° S 165° 5' E
U.S.C.G.S. 14° S 167° E
Manila 15° S 162° 5' E
Riverview iP 3^h 45^m 33^s 2720km
Manila P 49 23 5610
Batavia iP 50 09 6660



Date	Station	Phase	Heure			T s	Amplitudes			Δ km	Remarques	Région épiscoptrale probable
			h.	m.	s.		A _N μ	A _E μ	A _Z μ			
7 Août (suite)	St (suite)	M ₃	4	56	00	25	+26					
		M ₄		27	00	20						
		M ₅	5	00	30	25		+6	-19			
		M ₆		02	50	20	-19					
		M ₇		04	00	18			+19			
		M ₈			10	16	+20					
		F	7	00								
		eP	3	59	44						8.365	
		(P?)	4	00	32							
		ePR ₁		02	27							
eS		09	27									
L		23										
F		50										
Pa		e	4	00								
		L		55								
		M ₁		57-58		26	21					
		M ₂	5	05		20,20	27	31				
F		7,3										
St		e(P)	11	59	23					5.750?		
		e(S)	12	06	46							
		e ₁		09	15							
		e ₂		11	30							
		e ₃		15	20							
		eL		18								
		M ₁		18	45	7			-5			
		M ₂		20	40	12	+18					
		M ₃		23	40	12						
		M ₄		25	30	10	-11	+11	+19	+13		
F	13	00										
Pa		e	12	13								
		eL		18								
		M		27		8,17	6	22				
F		13,2										
Pa	traces	F	20	52								
		F	21	18								
St		L	20	54								
		F	21	50								
St		P	22	56	45,0					25		
		S			48,0							
F		58										
St		eL	23	32								
		F		56								
Pa	traces	F	23	40								
		F		51								
St		e(P)	8	31	(00)							
		e(S?)		41	ca							
		eL		50								
		M ₁	9	06	00	18	+20					
M ₂		14	30	12				-12				
F	10	20										
Pa		e	8	55	(31)							
		L	9	10								
		M ₁		16		15,17	9	9				
		M ₂		32-33		13	9					
F		55										
St		S _c P _c P	12	18	44					13.600		
		iPR ₂		19	59							
		e		30	28							
		e		31	13							
		F										

dans le suivant

Chine,
Tien-Chun :
42°5 N 87°5 E d'après
Tachkent eP 11^h53^m17^s1470^{km}
Sverdlovsk eP 54 47 2380
Baku eP 56 02 3130

Nouvelle Guinée.
8° S 147° E
d'après le réseau U. R. S. S.
Vladivostok eP 19^h43^m14^s5820^{km}
Tachkent P 46 43 9500

France (Bas-Rhin).
Ressenti à Erstein.
L'épicentre est près
de Benfeld.
Stuttgart S 22^h57^m11^s130^{km}

Emergences à Kew et Stuttgart

Formose.
24°7 N 121°8 E
d'après Hukuoka.
Ressenti à Giran, Trefet,
Taihoku, Tainden, etc.
Nanking iP 8^h20^m03^s800^{km}
Manila P 42 1120
Hukuoka P 21 15,4

Océanie.
4° S 152° E
Amboina P 12^h02^m50^s
Manila iP 04 48 4420^{km}
Wellington iP 05 34

Date	Sta- tion	Phase	Heure			T s	Amplitudes			Δ km	Remarques	Région épiscoptrale probable
			h.	m.	s.		A_N μ	A_E μ	A_Z μ			
11 Août (suite)	Pa	e_1	12	19	04	7	2	2				
		e_2		20	10							
11 »	Pa	L			27	8	3	2				
		M_1		10-11								
11 »	Pa	M_2			17-18	14						
		F		14,4								
11 »	St	$e_1(P)$	13	03	25							
		e_2		10	33							
11 »	St	eL			14							
		F		14	30							
11 »	Pa	traces	15	33								
		F		40								
11 »	Al	$i\bar{P}$	20	23	29				144			
		$i\bar{S}$			47							
12 »	St	eL	14	30								
		F		15	37							
12 »	Pa	traces	15	20								
		F		28								
13 »	St	eP	0	03	17	30	-38	+7	+30	11.700		
		PR_1		07	31							
		($S_c P_c P_c S_c$)		14	20							
		eS		15	21							
		iPS		16	39							
		eL		40								
		M_1		43	30							
		M_2		45	00							
		M_3		52	30							
		M_4			40							
		M_5		53	20							
		M_6		55	30							
		F		2	30							
13 »	Al	eP	0	03	28					11.355		
		PR_1		07	25							
		PR_2		09	34							
		e(S?)		15	15							
		L		41								
		F		59								
13 »	Pa	e(P)	0	03	32	31	31	33				
		e		07	50							
		L		44								
		M_1		47-48								
		M_2		53-54								
		F		55								
13 »	Pa	traces	11	59		31	39	42				
		F		12	05							
14 »	St	eP'	9	08	59					16.680		
		ePR ₁		12	34							
		eL		10	05							
		F		40								
14 »	Pa	eL	9	09								
		F		35								

Atlantique ?
Toledo P 13^h 03^m 18^s
Les autres stations n'indiquent
que des émergences.

Emergences et longues
seulement.

Algérie.

Manila P 13^h 49^m 33^s 4045^{km}

Philippines.
d'après J.S.A.
7°6' N 126°2' E
Manila iP 2^h 51^m 18^s 940^{km}
Amboina eP 52 15 1160
Phu-Liên eP 54 21 2540
Batavia P 41 2850

Pacifique.
22° S 168° E
Wellington P 8^h 54^m 18^s 230^{km}
Amboina P 57 49 4890^{km}
Manila iP 59 47 6910



Date	Station	Phase	Heure			T s	Amplitudes			Δ km	Remarques	Région épacentrale probable
			h.	m.	s.		A_N μ	A_E μ	A_Z μ			
	Pa	eL F	10	04							V. Galitzine.	
	Pa	traces F	5	17							V. Galitzine.	Traces à Uccle.
	St	eL F	5	18							V. Galitzine. »	
	St	e(P) eL F	11	16	48						V. Galitzine. V. N. Galitzine. »	Données discordantes. Toronto P 11 ^h 10 ^m 05 ^s 3055km M ^r Wilson iP 59 Ottawa eP 11 08 3720
	Pa	eL F	11	44							V. Galitzine.	
	Al	iP iS F	12	34	39				168			Algérie.
	St	eL F	14	50							V. N. Galitzine. »	Emergences et longues.
	Pa	traces F	15	21							V. Galitzine.	
	St	e(?) eL F	3	01	46						N. Galitzine. Galitzine. »	Japon. 34° N 133° E Réseau U.R.S.S. Vladivostok eP 2 ^h 40 ^m 47 ^s 900km Manila P 44 20 2855 Tachkent iP 48 00 5520
	Pa	eL M ₁ M ₂ F	3	27		13		1				
	St	e F	23	45		13					V. N. Galitzine. »	Longues seulement.
	Pa	traces F	23	48							V. Galitzine. »	
	Pa	eL F	13	58								Pas d'autre donnée.
	St	e eL F	19	50							V. N. Galitzine. V. Galitzine. »	Sumatra. 0°5' S 90° E Batavia iP 19 ^h 28 ^m 42 ^s Amboina P 50 1030km Phu-Liên eP 31 18 2460
	Pa	eL F	20	26								
	Al	iP iS F	7	54	07,4				168			Algérie (A). Malakoff, Oued-Fodda.
	St	e F	8	00	28,6						Galitzine. »	Algérie. 36° N 1° E d'après Cartuja-Granada, eP 7 ^h 54 ^m 58 ^s Algérie (A) Oued-Fodda, Ami-Moussa
	Pa	eL F	8	02								
	Al	iP iS F	8	28	57				168			idem.
	Al	iP iS F	16	57	16,4				152			
	St	e ₁ e ₂ F	23	26	35,4						N. Galitzine. V. Galitzine. V. N. Galitzine.	Pacifique. 14°5' S 161° E Sydney R. P 23 ^h 35 ^m 44 ^s 2580km Manila P 39 44 6065 Chiufeng P 41 43 7790
	Pa	eL F	23	27							N. Galitzine.	

Date	Station	Phase	Heure			T s	Amplitudes			Δ km	Remarques	Région épiscoptrale probable
			h.	m.	s.		A_N μ	A_E μ	A_Z μ			
23 Août (suite)	Pa	eL F	23	50								
	St	e i F	23	52	19 48							
24 "	St	eP' e(PR ₁) e(PS) e(SR ₁) eL F	0	08	08 16 37 46 53				(15.500)			
	Pa	e ₁ e ₂ L M F	0	08	41 25 15 10-11 20	20		2				
24 "	Al	iP iS F	9	34	51 10 39				152			
24 "	Pa	traces F	9	42	50							
25 "	Pa	traces F	0	25	40							
25 "	St	e F	5	47	55							
25 "	St	eP R ₁ S R ₂ S R _{1,2} S R ₃ S F	19	43	51 12 15 20 25 48				500			
	Pa	traces F	19	46	53							
26 "	St	e eL F	1	55	15 13 56							
	Pa	eL M F	2	14	27-28 50	18		1				
26 "	Pa	traces F	9	24	33							
26 "	St	e F	10	06	30							
	Pa	eL F	10	14	38							
26 "	St	e ₁ e ₂ F	22	12	54 21 15							
28 "	St	eL F	12	08	39							
	Pa	traces F	12	13	28							

Nouvelles Hébrides.
14° S 166° E
Manila iP 23^h 58^m 08^s 6000km
Batavia iP 48
Chiufeng P 0 00 08

Algérie.
Oued-Fodda (A).

Pas de données.

Longues à Uccle.

Italie (Apennin).
Dégats à Pontremoli.
Zürich eP 19^h 43^m 34,7^s 270km
Neuchâtel eP 38,5 315
Bâle eP 40,8 280
Zagreb eP 44 09
Vienne eP 56 510

Californie.
22° 5' N 109° W
Pasadena iP 1^h 34^m 53^s
Mt Wilson iP 56
Toronto iP 38 08 3120km

Pas de données.

Pacifique.
27° 5' N 148° 0' E
d'après le réseau U.R.S.S.
Sverdlovsk iP 9^h 28^m 45^s 7260km
Tachkent iP 49 7100

Données insuffisantes :
Pasadena iP 22^h 04^m 42^s
Mt Wilson iP 42

Au large du Mexique :
17° N 103° 5' W
Pasadena iP 11^h 27^m 43^s
St-Louis P 28 30
Washington P 29 40

Date	Sta- tion	Phase	Heure			T s	Amplitudes			Δ km	Remarques	Région épiscoptrale probable
			h.	m.	s.		A_N μ	A_E μ	A_Z μ			
1 ^{er} Août	Pa	P	5	10	16	14,15 13,11	35 18	51 34		4.150	V. Galitzine.	U.S.C.G.S. : 72° N 70° W J.S.A. : 71° 7' N 70° W Mer de Baffin. 73° N 66° W Ottawa iP 5 ^h 08 ^m 35 ^s Copenhague P 09 50 Pulkovo iP 57
		PR		11	50							
		iS		16	12							
		L		21								
		M ₁		29-30								
	Gr	M ₂		32-33								
		F		8,3								
		e(P)	5	(10)	25							
		eL		20								
		F		6	10							
1 ^{er} »	St	iP	5	10	32	25 25 15 15 15	-80 +92 -50 +39			4.420	Verticaux, dilatation. E W irrégulier.	
		iPR ₁		12	12							
		iS		16	43							
		eL		23								
		M ₁		25	30							
	St	M ₂		27	40							
		M ₃		28	40							
		M ₄		30	30							
		M ₅		30	30							
		F		40								
1 ^{er} »	St	eP	15	06	07	12 14 15 12	-25 +29 +27 -17			5.050	V. Galitzine. E W faible.	
		iS		12	52							
		iSR ₁		16	11							
		eL		20								
		M ₁		24	25							
	Gr	M ₂		26	30							
		M ₃		29	10							
		F		16	00							
		e(P)	15	(06)	ca							
		e(S)		(13)	ca							
1 ^{er} »	Pa	eL		24		11,10 9,13 11	13 22 26				Nord Est Afghanistan : 39° N 70° 5' E Baku iP 15 ^h 01 ^m 34 ^s 1830 km Sverdlovsk iP 02 07 Helwan P 04 22	
		F		16	00							
		e(P)	15	07								
		e		16	41							
		L		22								
	Pa	M ₁		25-26								
		M ₂		26-27								
		M ₃		29-30								
		F		17,1								
		eL	7	51								
1 ^{er} Sept.	St	F		8	54	17,15 16,14	3 3	3 2			Japon. Osaka P 6 ^h 57 ^m 45,3 ^s 582 km Chiufeng eP 59 02 33° 8' N 131° 4' E Nagoya P 8 ^h 06 ^m 51,9 ^s 660 km Manila iP 15 52 1700	
		eL		7	57							
	Pa	F		8	36							
		e(P)	11	48	53							
	Pa	e		56	35							
		L		12	05							
		M ₁		10-11								
		M ₂		13-14								
		F		42								
	St	e ₁	11	49	10							
e ₂			51	ca								
e ₃			56	53								
eL			12	04								
F			13	10								
Al	iL	12	03	42								
	F		20									
2 ^e »	St	eL		9	50						Données insuffisantes. Pasadena eP 9 ^h 05 ^m 53 ^s	
		F		11	23							
2 ^e »	Pa	traces		9	51						Données insuffisantes. Pasadena eP 9 ^h 05 ^m 53 ^s	
		F		10	28							



Date	Sta- tion	Phase	Heure			T s	Amplitudes			Δ km	Remarques	Région épiscoptrale probable
			h.	m.	s.		A_N μ	A_R μ	A_z μ			
7 Sept.	Al	iP iS F	3	39	39 56				134			
	Pa	e L M ₁ M ₂ M ₃ F	3	41 (21) 44 46-47 48 51-52		13 8,10 7,9		10 8 5			Algérie (A), Région Carnot. Importants dégats. Alicante iP _s 3 ^h 40 ^m 01 ^s Cart. Gran. eP 24 450 ^{km} Toledo eP 42 780	
	St	eP eS eL F	3	42 27 45 14 46					1.500			
7 "	Al	iP iS F	4	39 16 43 35					152		Algérie (A). Région Carnot.	
7 "	Al	iP iS F	5	38 53 39 10 44					136		idem.	
7 "	Al	iP iS F	7	48 56 49 12 52					128		idem.	
7 "	Al	eP iS F	20	24 55 25 12 33					141		Algérie (A), Région Carnot. Alicante eP _s 20 ^h 25 ^m 18 ^s 510 ^{km} Cart. Gran. eP 42 450 Toledo P _s 26 00 770	
	St	eL F	20	29 57						Galitzine.		
	Pa	eL M F	20	31 34-35 21,2	8,11	1	2					
7 "	Al	iP iS F	21	56 19 59 33					120		Algérie (A), Région Carnot.	
7 "	St	eL F	23	34 42						Galitzine. »	Emergence à Stuttgart.	
8 "	St	eL F	7	04 53						Galitzine. »	Tien Chan. 38°8 N 71°5 E d'après le réseau U.R.S.S. Tachkent iP 6 ^h 45 ^m 49 ^s 315 ^{km} Baku eP 49 09 2050 Sverdlovsk iP 31 2160	
	Pa	e L M F	7	(11) 14 20 7,5	9,13	2	2					
8 "	Al	iP iS F	9	03 49 04 05 07					128		Algérie (A), Région Carnot.	
8 "	St	e ₁ e ₂ e _f F	11	28 34 36 14 00						V. Galitzine. » Galitzine. »	Pacifique. Région Samoa. Apia eP 11 ^h 15 ^m 16 ^s 11 ^o Sydney R. e 21,3	
	Pa	e(P) L M F	11 12	34 (24) 33 41-42	18		3					
8 "	St	e ₁ e ₂ e _f F	18	04 25 05 20 25 30 10						Grand pendule.	Ressenti en Carnie. Vienne iP 18 ^h 05 ^m 04 ^s 220 ^{km} ? Emergences ailleurs.	



Date	Station	Phase	Heure			T s	Amplitudes			Δ km	Remarques	Région épicertrale probable
			h.	m.	s.		A _N μ	A _E μ	A _Z μ			
10 Sept.	Al	P̄ iS̄ F	6	12	08 27 13 30				125	Int. min.		
11 »	St	e eL F	1	22	26 38					Galitzine.	Algérie (A), Région Carnot.	
	Pa	eL F	1	27	41					V. Galitzine.	Sicile. Ressenti dans l'île. Emergences à Uccle et Stuttgart, longues à Kew.	
11 »	St	eL F	8	56	10 08					Galitzine.		
	Pa	eL F	9	17	36					V. Galitzine.	Célèbes. 0° N 122° E d'après Pulkovo. Ressenti. Manila iP 8 ^h 17 ^m 11 ^s 1690 ^{km} Batavia iP 35 1920 Medan iP 19 03	
11 »	Pa	traces	14	36-43						V. Galitzine.		
12 »	Al	P̄ S̄ F	1	42	06 23 43 21				132		Algérie (A), Région Carnot.	
12 »	Al	eP̄ eS̄ F	3	13	23 36 14 30				104 (?)		idem.	
12 »	St	e eL M ₁ M ₂ F	15	03	11 16 20 23 00 16 00	15 12	-5 +7	-4 +6		Galitzine.	Plusieurs séismes. Pacifique. Manila P 14 ^h 31 ^m 17 ^s 2075 ^{km}	
	Pa	e eL M F	15	04	16 23-24 16 42	15,13	5	2				
12 »	St	eL F	16	23	43					Galitzine.	Région Formose. Hukuoka P 15 ^h 36 ^m 47,7 ^s 301 ^{km} Osaka P 37 38,5 702	
12 »	St	eL F	18	27	19 06					Galitzine.	En mer au S. du Japon. 31° N 131° E Osaka P 17 ^h 44 ^m 08 ^s Chiufeng P 46 19 Manila P 47 09 2065 ^{km}	
	Pa	eL M F	18	36	42-43 19,1	12,10	2	1				
12 »	St	e(P̄) i(S̄) F	20	50	57 51 02 52				(30)	Verticaux. Int. min.	Ressenti à Erstein. (Bas-Rhin). Voir étude macroséismique.	
12 »	St	eL F	23	28	39					Galitzine.	Région Japon. Osaka P 22 ^h 39 ^m 57,4 ^s 663 ^{km}	
	Pa	traces F	23	31	39					V. Galitzine.		
13 »	St	eL F	3	52	4 13					Galitzine.	Japon. Osaka P 3 ^h 06 ^m 17,6 ^s 665 ^{km} Chiufeng eP 08 27 1820	
	Pa	traces F	3	57	4 13							
13 »	St	eL F	11	03	26					Galitzine.	Idem. Osaka P 10 ^h 17 ^m 36,2 ^s 779 ^{km}	
13 »	St	eL F	14	42	15 53					Galitzine.	Idem. Osaka P 14 ^h 20 ^m 12,3 ^s 613 ^{km} Chiufeng eP 21 44 1845 Manila P 22 41 1980	
	Pa	eL M F	15	09	15-16 31	15,12	3	2				

Date	Station	Phase	Heure			T s	Amplitudes			Δ km.	Remarques	Région épacentrale probable
			h.	m.	s.		A _N μ	A _E μ	A _Z μ			
16 Sept.	St	eL F	0	11	20					Galitzine.	Emergences.	
16 "	St	eL M F	13 14	50 11	30	13 12	+4	-4	+5		Pacifique. Région du Japon. 30° N 131° E Osaka P 13 ^h 16 ^m 47 ^s 726km Vladivostok P 18 23 1450 Sverdlovsk iP 25 00 6040	
	Pa	e L M F	14 (00) 06 12-13 38			11,14	2	2				
16 "	St	eL F	16	01	08					Galitzine.	Emergences.	
16 "	St	eL F	19 20	59 17						Galitzine.	Probablement réplique, de même qu'il y eut de nombreuses secousses prémonitoires vers la même région. Osaka P 19 ^h 13 ^m 16,8 ^s 725km	
	Pa	traces F	20	05	18					V. Galitzine.	Idem. Osaka P 1 ^h 38 ^m 36,7 ^s 716km	
17 "	St	eL F	2	31	36					Galitzine.	Idem. Osaka P 13 ^h 41 ^m 57,5 ^s 712km	
17 "	St	eL F	14	28	43					Galitzine.	Algérie, Faible secousse à Carnot.	
	Al	P eS F	14	29	54 30 31				144			
17 "	St	eL F	19	22	29					Galitzine.	Pas de données.	
18 "	St	eL F	3 4	59 09						Galitzine.	Emergences à Stuttgart.	
18 "	Al	iP iS F	6	05	39 55 07				128		Algérie (A).	
18 "	Pa	traces F	10 11	55 04						V. Galitzine.	Deux séismes Zürich eP 9 ^h 37 ^m 59,2 ^s Zagreb eP 38 24 310km Bâle eP 25,6 400 Florissant eP 10 ^h 11 ^m 16 ^s Pasadena e 12 21	
18 "	St	eL F	12	03	19					Galitzine.	Emergences.	
18 "	St	eL F	19	10	29					Galitzine.	Pasadena iP 19 ^h 21 ^m 19 ^s	
	Pa	traces F	19	18	27					V. Galitzine.		
21 "	St	eL F	6 7	49 17						Galitzine.	Région Australie. Perth P 5 ^h 52 ^m 25 ^s Emergences ailleurs.	
	Pa	traces F	6 7	56 12						V. Galitzine.		
21 "	St	iP i e (PR ₁ ?) eS _c P _c S eL F	12	51	45 16 47 05 25 10				(10.200)	Verticaux, dilatation. V. Galitzine. Galitzine. Faibles.	Océanique. Nord de Sumatra. Ressenti à Tapanseli. Medan iP 12 ^h 39 ^m 33 ^s Batavia iP 41 29 Malabar iP 47 1190km Manila iP 44 18 3510	
	Pa	iP P eS _c L F	12	52	02 33 24 33 14,0				9.230	Non mesurables.		



Date	Station	Phase	Heure			T s	Amplitudes			Δ km	Remarques	Région épiscopale probable
			h.	m.	s.		A_N μ	A_E μ	A_Z μ			
21 Sept.	St	e F	19	50							Grand pendule.	Ressenti à Geispolsheim (Bas-Rhin).
"	St	eL F	8	48							Galitzine.	Pas de données.
"	St	eL F	12	59							Galitzine.	Pasadena iP 11 ^h 43 ^m 47 ^s
"	St	eL F	1	43							Galitzine.	Monts Darvaz. 39°13' N 71°46' E Tachkent iP 1 ^h 25 ^m 23 ^s 315 ^{km} Baku eP 28 50 1740
"	Pa	eL F	1	55								
"	St	eP' e e(PR ₁) eL F	8	18	54				(17.600)		V. Galitzine. N. Galitzine. V. Galitzine. Galitzine. "	Pacifique. 29° S 178° W Wellington P 8 ^h 02 ^m 00 ^s Riverview iP 04 38 Vladivostok iP 11 20
"	Pa	eL F	8	19							V. Galitzine.	
"	Pa	e L F	21	52							V. Galitzine.	Pacifique. Région Japon. Oosaka P 21 ^h 42 ^m 49 ^s 7749 ^{km} Vladivostok eP 43 00 920 Sverdlovsk iP 50 36
"	St	eL F	22	27							Galitzine. "	
"	Pa	e ₁ e ₂ L F	10	49	18						V. Galitzine.	Pacifique. Région Samoa. Apia eP 10 ^h 35 ^m 07 ^s Sydney Riv. eP 40 00 Pasadena iP 41 45
"	St	eL F	10	59							Galitzine.	
21 "	Al	P S F	16	34	44						Int. min.	Algérie.
"	St	e(P) c eL F	19	35							V. E. Galitzine. N. Galitzine. H. Galitzine. "	2 séismes superposés : I. Japon. 34° N 130° 5 E Oosaka P 19 ^h 21 ^m 55 ^s Zi-Ka-Wei iP 22 48 Chiufeng iP 23 59
"	Pa	e L F	19	35							V. Galitzine.	II. Philippines. Manila iP 19 ^h 24 ^m 39 ^s 500 ^{km} Ressenti Bowgan VI.
26 "	Pa	eL F	1	37							V. Galitzine.	Arabie. 27° N 57° E d'après Baku P 1 ^h 11 ^m 01 ^s 1900 ^{km}
26 "	Al	eP eS L F	7	36	28				(5.350?)		Faible.	Atlantique. Région Rocher St-Paul La Paz P 7 ^h 33 ^m 30 ^s 4700 ^{km} Cartuja Gran. iP 35 06 4250
"	Pa	e ₁ e ₂ L M ₁ M ₂ F	7	36	48							Un autre séisme s'est produit aux Philippines. Manila iP 7 ^h 47 ^m 30 ^s 660 ^{km}
"	St	i(P) e e(S) eL F	7	37	06				(6.040)		V. Galitzine. [Compression. Horizontaux. Galitzine.	
"			8	57								

Date	Station	Phase	Heure			T s	Amplitudes			Δ km	Remarques	Région épicertrale probable
			h.	m.	s.		A_N μ	A_E μ	A_Z μ			
26 Sept.	Al	cP iS F	16	36	15 30 39 30				120		Algérie (A) Région Carnot.	
27 »	Al	iP iS F	4	15	40 57 18				134		Idem.	
27 »	St	eL F	23	16	30					Galitzine.	Tachkent iP 23 ^h 42 ^m 18 ^s 2 ^e Emergences et longue- aileurs.	
	Pa	eL F	23	19	46							
28 »	Al	iP iS F	1	38	41 57 42						Algérie.	
1 ^{er} Oct.	St	eL F	2	54	3 46					Galitzine.	Atlantique. Rocher St-Paul. Réplique	
	Pa	e L F	2	59	09 3 08 41					V. Galitzine.	La Paz eP 2 ^h 49 ^m 44 ^s 459 ^e	
2 »	Pa	traces F	0	55						V. Galitzine.	Emergence à Stuttgart.	
			1	37								
4 »	Pa	eL F	5	43						V. Galitzine.	La Paz eP 4 ^h 43 ^m 55 ^s	
				52								
5 »	St	eL F	8	49	9 41					Galitzine.	Données incertaines et incompatibles.	
	Pa	eL F	8	50	9,8					»	Reykjavik eP ? 8 ^h 40 ^m 06 ^s	
5 »	St	iP e eS eL F	20	38	12 40ca 48 39				9.300	V. Galitzine, Dilatation. V. Galitzine. E. Galitzine.	Pacifique. Est Japon. 40° N 145° E Osaka P 20 ^h 28 ^m 10,9 144 Nanking P 30 55 Sverdlovsk iP 35 15 599 Tachkent iP 16 611	
			21	04								
			22	10								
	Pa	eP L M ₁ M ₂ F	20	38	18	17,18 18,20	4	5				
			21	10								
			22,1	13-14 18-19	4				5			
5 »	St	eL F	22	47						Galitzine.	Emergences et longues.	
			23	20						»		
6 »	Pa	eL F	22	47						V. Galitzine.	Entre l'Islande et le Groenland 68° N 19° W Reykjavik P 0 ^h 20 ^m 50 ^s 10 ^e Kew eP 24 03 2190 ^{km} Uccle P 32 2480	
			23	32								
6 »	Pa	e L M F	0	24	37 31 33-34	13,14	2	5				
			1	06								
6 »	St	eP eS eL F	0	25	18 29 39 31				2.840	V. Galitzine. H. Galitzine. Galitzine.	Sverdlovsk iP 3 ^h 12 ^m 19 ^s	
			1	07								
6 »	Pa	traces F	3	53	4 11					V. Galitzine.		
6 »	Al	eP (S) L M F	12	57	00 03				5.000 ca	Int. min. Interprétation douteuse, phases incer- taines.	Deux séismes. L. Malabar iP 11 ^h 40 ^m 58 ^s Batavia P 11 34 880 ^{km}	
			13	13								
				20								
				30								

Date	Station	Phase	Heure			T s	Amplitudes			Δ km	Remarques	Région épiscoptrale probable			
			h.	m.	s.		A_N μ	A_E μ	A_z μ						
6 Oct.	St	$e_1(P?)$	12	58						Galitzine.	II. Atlantique. Région St-Paul. La Paz eP_N 12 ^h 56 ^m 47 ^s 4890 ^m San Fernando e 58 06 Uccle $e(P)$ 58,3 Pulkovo eP 13 00 09 8210				
		$e_2(S)$	13	06											
		eL F	14	00											
6 "	Pa	e	12	59		18 15,15	4	5		136	Int. min.	Algérie (A) Région Carnot.			
		L	13	06											
		M_1		07-08											
		M_2 F	14,4	18-19											
6 "	Al	P	14	59	26										
		iS F	15	01	43										
7 "	St	eL	3	44											
		F	4	06								Sumatra. Ressenti à Tapanoeli. Medan iP 2 ^h 26 ^m 22 ^s 440 ^{km} Batavia P 28 24			
7 "	Pa	e	11	(00)		12		2				Emergences, sans doute réplique du séisme du 6. Reykjavik e 10 ^h 58 ^m ,6 Uccle eP 59 58 ^s			
		L	06												
		M F	11-12 44												
8 "	St	e	11	00											
		eL		08											
		F		22											
8 "	St	eL	7	21											
		F		37								V. Galitzine. Données insuffisantes. Emergences. La Paz eP_e 7 ^h 07 ^m 15 ^s			
8 "	Pa	eL	7	23											
		F	7,7												
9 "	St	eL	19	52											
		F	20	08								Zürich eP 19 ^h 50 ^m 59 ^s ,4			
9 "	Pa	traces	19	55											
		F	20	07											
9 "	St	eL	21	12											
		F		30								Côtes de Chine. Nanking iP 20 ^h 54 ^m 56 ^s 60 ^{km} Nanking eP 21 15 04			
10 "	St	P'_1	16	00	(59)					17.000 foyer profond	Int. min. V. Wiechert. V. E. Wiechert. N. Galitzine. Verticaux. N. Galitzine. " " " " E. Galitzine. H. Wiechert, Int. min. N. Galitzine. " " E. Galitzine. N. Galitzine.	Océanie. Nord îles Fidji. 23° S 176° W Melbourne iP 15 ^h 48 ^m 04 ^s Manila iP 52 22 6865 ^{km} Batavia iP 37 7040 Oosaka P 40 7164 Hukuoka P 49,2 Medan P 53 45 8310			
		iP_2	01	11											
		i		29											
		i		39											
		ipP'	03	14											
		iPR_1	04	45											
		i	05	06											
		$S_c P_c S?$	08	00											
		i		48											
		iPS'	10	(59)											
		$i(SP)$	11	50											
		i	14	09											
		i	15	26											
		$i(SR_1)$	17	29											
		eL	22												
		M_1	23	00	16										
		M_2	25	00	18										
F	18	30		+15			+14								
10 "	Pa	P	16	01	02					8,850	V. Galitzine.				
		P'		32											
		(PR)	03	15											
		iS	11	05											
		L	23												
		M_1	24-25		17,34		11	46							
		M_2	31-32		22			19							
M_3 F	37-38 18 50		34		35										

Date	Sta- tion	Phase	Heure			T s	Amplitudes			Δ km	Remarques	Région épacentrale probable
			h.	m.	s.		A _N μ	A _E μ	A _Z μ			
10 Oct. (suite)	Al	eP i(PR ₁) i i(S) (SR ₁) L F	16	01	12 04 28 08 17 11 51 15 51 25					9.635 ??	Interprétation douteuse.	
15 "	St	eL M F	8	33	53						Galitzine.	
	Pa	eL M F	8	53	54-55 9 08	16,16	6	4				Asie Mineure. Ressenti à Smyrne, d'après Trieste. Sverdlovsk iP 8 ^h 23 ^m 53 ^s 3180 ^{km} les autres stations ont des émergences peu nettes.
18 "	Pa	e(P) L M ₁ M ₂ F	8	07	59 57 9 06-07 20-21	18 19,26		5 8			V. E. Galitzine.	Iles Santa Cruz. 11° S 167° E Apia iP 7 ^h 53 ^m 28 ^s 20 ^{km} ,9 Melbourne P 54 58 Oosaka P 57 22,6 5520 ^{km} Manila iP 25 5900 Batavia iP 58 15 7220 Medan P 59 26 7760
	St	e(P') i(PR ₁ ?) e eL F	8	08ca	10 49 14 50 29 10 40						V. E. Galitzine. V. Galitzine. "	autre séisme : La Plata P 7 ^h 33 ^m 47 ^s 1320 ^{km} Florissant 47 53
19 "	Al	eP eS F	2	35	40 55 37					120		Algérie (A). Région Carnot.
19 "	St	e(P) eL F	21	07	50 20 22 07						V. Galitzine. Galitzine. "	Monts Himalaya. 32°43' N 78°1 E d'après le réseau U.R.S.S. Tachkent P 21 ^h 01 ^m 17 ^s 1200 ^{km} Sverdlovsk iP 04 03 2960 Pulkovo P 06 11
	Pa	eL F	21	32	53							
20 "	St	eL F	8	40	54						Galitzine. "	Réplique du précédent ? Tachkent iP 8 ^h 14 ^m 31 ^s Sverdlovsk P 17 18
	Pa	traces	8	44-52							V. Galitzine.	
20 "	Al	eP iS F	22	02	51 03 13 05					179		Algérie.
21 "	St	iP' iPR ₁ i i(S) eL F	18	11	38 12 21 13 01 20 23 27 19 23					(11.800)	V. Galitzine, Compression. " Int. min. V. Galitzine.	Pacifique. Nord des Carolines. 16° N 153° E Oosaka 17 ^h 57 ^m 45.4 ^s 1843 ^{km} Nanking P 58 31 (?) 2320 Manila P 40 5510
	Pa	e L F	18	20	43 27 19,0						V. Galitzine.	
24 "	St	e ₁ (P?) e ₂ i ₁ i ₂ i ₃ i ₄ F	21	26	30 44 27 (00) 09 14 31 29						V. Wiechert, E. G ^d pendule. N. Grand pendule. Int. min. N. Grand pend. V. Wiechert. E. Grand pendule. N. "	Pas de données.
26 "	St	eL F	10	33	43						Galitzine.	Emergence à Stuttgart.
26 "	St	eL F	15	05	52						Galitzine.	Célèbes. 4° S 121° E Malabar iP 11 ^h 47 ^m 53 ^s 1600 ^{km} Batavia iP 55 1720 Manila P 48 22 2135 Medan iP 49 20 2500 Oosaka P 51 55,0 3675
	Pa	traces	15	05-34							Galitzine.	

Date	Station	Phase	Heure			T s	Amplitudes			Δ km	Remarques	Région épiscoptrale probable				
			h.	m.	s.		A _N μ	A _E μ	A _L μ							
25 Oct.	St	iP	17	23	54					9,600	V. Galitzine, Compression.	Japon. 30° 5' N 132° E Oosaka P 17 ^h 12 ^m 44,0 ^s 619 ^{km} Nanking iP 13 48 1155 Chiufeng iP 15 02 1800 Manila iP 16 1925 Medan iP 18 50 4650 Batavia iP 19 04 4810				
		i(pP?)		24	13											
		iPR ₁		27	34											
		iS ₁		34	35											
		e			49											
		iS _c P _c P _c S			54											
		PS		35	35											
		eSR ₁		40	13											
		eSR ₂		46	(00)											
		eL		55												
		M ₁		18	01	40	15	+10								
		M ₂			03	20	15	-19								
		M ₃			04	45	15	+8	+33							
		M ₄			07	30	15	+22	-25							
		F		19	00											
26	Pa	P	17	24	(07)				11,300	Int. min.						
		PR		27	52											
		(S)		36	00											
		L			59											
		M ₁		18	00-01	26		27								
		M ₂			01-02	22,28	18	30								
		M ₃			09-10	17,16	11	19								
		F		19,1												
		27	Al	e	17	29	00									
				e		35	14									
L	18			06												
27	Be	F		25												
		eL	18	00												
27	St	eL	10	55						Galitzine	Pacifique La Paz eP _s 10 ^h 03 ^m 46 ^s 5580 ^{km} Pasadena eP 07 18 Emergences peu nettes ailleurs.					
		F	12	30												
		27	Pa	eL	11	03								19	Galitzine	4
M				13	14											
F	12,6															
29	St	eL	0	22						Galitzine	Japon. Région Est Formose. ressenti à Taihoku. 24° N 126° E Manila P 23 ^h 38 ^m 20 ^s 1210 ^{km} Nanking iP 26					
		F		48												
		29	Pa	eL	0	28									Galitzine.	Emergences et longues sauf à : Pasadena eP _s 2 ^h 37 ^m 08 ^s Little Rock eP 38 55 18° 1' St-Louis eP 39 29 20° 0' Florissant eP 30 22° 2' Victoria P 44 34
F	1,1															
29	St			eL	3	10					13,14	Galitzine.	2			
		F		56												
		29	Pa	eL	3	15								25	Galitzine.	2
M ₁				20-21												
M ₂				23-24												
29	St	e(P?)	16	11	21					V. Galitzine.	Pas de données.					
		i			51											
		e		22	(00)											
29	Pa	F	dans le suivant							V. Galitzine, Int. min.	Transcaucasie. 40° 0' N 47° 5' E ressenti à Baku intensité IV à V. Baku iP 16 ^h 16 ^m 07 ^s Tachkent iP 19 23 1830 ^{km} Sverdlovsk iP 53 2010					
		e	16	19												
		29	St	L		32								21,21	Galitzine, Dilatation.	12
M ₁				36-37												
M ₂				39-40												
29	St	F		43					21,22	Galitzine.	10					
		iP	16	22	52											
		e		24	58											
29	St	eS		27	58					Galitzine.	12					
		e		28	23											
		eSR ₁		29	17											
29	St	eL		32						Galitzine.	10					
		F	17	25												
		29	St	e		21	58								Galitzine.	12
e				28	23											
eSR ₁				29	17											

Date	Sta- tion	Phase	Heure			T s	Amplitudes			Δ km	Remarques	Région épiscoptrale probable
			h.	m.	s.		Δ _N μ	Δ _E μ	Δ _Z μ			
30 Oct.	Al	iP iS i F	16	44	39 54 08 48				124		Algérie.	
30 »	St	eL F	21 22	43 13						Galitzine. »	Iles Philippines Ressenti à Davao, intensité III. 7° 4' N 127° 05' E Manila P 20 ^h 55 ^m 04 ^s 1000km Batavia iP 58 05 3090	
3 Nov.	Al	iP iS F	3	40	48 04 44				130		Algérie, Les Atafs.	
4 »	St	eP' eS _c P _c P	2	13	47 38 38				(15.500)	V. Galitzine. » H. Galitzine. »	Nouvelles Hébrides : 15° S 169° E Sydney Riv. eP 1 ^h 58 ^m 50 ^s 2720km Melbourne eP 2 00 00 Batavia P 04 26	
		e ₁ e ₂ e ₃ eL F			31 37 42 48							
	Pa	e ₁ e ₂ L M ₁ M ₂ F	2	(14)	21 06 21-22 24-25	20 22	7	8				
		F	dans le suivant									
4 »	St	e(P') e(S _c P _c P) e(PR ₂) F	3	34	27 05 20 00				(17.000)	V. E. Galitzine. V. Galitzine. »	Sud des îles Fidji : 23° 5' S 178° E Sydney Riv. iP 3 ^h 19 ^m 29 ^s 2720km Melbourne P 21 27 Manila P 24 42	
	Pa	eL M ₁ M ₂ M ₃ F	4	27	39-40 53-51 01-02 6,2	25,19 18,18 26	10 14 14	6 7				
5 »	St	P ePR ₁ ePR ₂ eS _c P _c S eS ePS eL M ₁ M ₂ M ₃ M ₁ M ₂ F	23	14	34 49 28 38 53 38 40 45 00 20 30 20 00	18 20 18 16 15 18	+8 -7 +5	+4 +7 -4	9,180	V. Galitzine, Compression. e = 50°,5.	Iles Aléoutiennes, d'après U.S.C.G.S. 52° N 178° W, J.S.A. 52° 2' N 176° 7' W Oosaka P 23 ^h 09 ^m 33 ^s 4336km Chiufeng iP 10 57 5200 Manila iP 12 45 6900	
	Pa	P (S) L M ₁ M ₂ F	23	14	34 32 34 54-55 57-58	20 19,18	6	5 5	8.750 ?			
6 »	St	eP iS F	12	13	16,5 21				30	H. Grand pendule. »	Local.	
7 »	Al	iP iS mS F	14	31	17 34 37 41				136		Algérie, Ressenti à Cherchell.	
		F						28,5** 12**				

Date	Station	Phase	Heure			T s	Amplitudes			Δ km	Remarques	Région épiscoptrale probable
			h.	m.	s.		A _N μ	A _E μ	A _Z μ			
7 Nov.	St	e(P) eL F	14	36	49	13				V. Galitzine. Galitzine.	Méditerranée 36° 8' N 0° 7' E Alicante iP 14 ^h 34 ^m 21 ^s Granada P 52 Toledo P 35 03 ressenti à Cherchell, Novi, Alger.	
	Pa	eL M F	14	38	40-41 58							3
8 »	St	eL F	4	10	35	15				Galitzine. »	Japon. Oosaka P 3 ^h 26 ^m 40 ^s 359 ^{km} Nanking eP 29 35 2355 Chiufeng eP 53 2044	
	Pa	eL M F	4	19	23-24 35							2
9 »	St	e(P') i e ₁ e ₂ e ₃ e ₄ e ₅ eL F	4	18	35 41 19 05 28 36 42 48 40					V. Galitzine. » N. Grand pendule. » E. Grand pendule. » Galitzine.	Nord des îles Samoa. 10° 54' S 170° 27' W Apia iP 3 ^h 59 ^m 47 ^s 3° 2 Pasadena iP 4 10 21 Batavia iP 49 8670 ^{km}	
	Pa	e i L F	4	18	38 19 08 44 5,7							
9 »	St	i(P) iPR ₁ i i eS iSR ₁ i i i eL F	13	44	58 45 24 34 46 20 48 13 32 49 48 50 43 51 38 14 00 15 00				1.920	Verticaux, Dilatation. Azimut 138° ? e = 78°, 5 ? ?	Méditerranée orientale, à l'E de la Crète. 35° N 22° 5' E Hélouan iP 13 ^h 42 ^m 52 ^s Trieste P 43 51 Toledo P 45 57	
	Al	iP Sou PR ₁ i	13	45	00 48 15 56 35							
10 »	Be	iP PR ₁ ? F	13	45	01 48 23 14	8,12	3	4	(5.170)	Phases incertaines.	Pas de données.	
	Pa	iP i(PR) e(S) L M F	13	45	30 49 22 52 21 53 53-54 14 26							
10 »	St	eL F	9	13	10 09					Galitzine. »	Entre l'Islande et le Groenland, d'après Stuttgart. Probablement deux séismes. Longues et émergences dans beaucoup de stations. La Paz P 15 ^h 19 ^m 13 ^s Tachkent iP 50 32	
	Pa	eL F	9	23	10 32							
10 »	St	eL F	15	43	16 28					Galitzine. »	Très faibles, phases incert.	
	Al	(P) (S) L F	15	44	34 51 21 16 00 10							
	Pa	P S L M F	15	44	(58) 19 15 51 54 55 16 33	13,13	5	7	2.650	Int. min.		

Date	Sta- tion	Phase	Heure			T s	Amplitudes			Δ km	Remarques	Région epicentrale probable
			h.	m.	s.		A _N μ	A _E μ	A _Z μ			
11 Nov.	Pa	traces F	2	18								
11 »	St	eL F	22	06								Pas de données.
12 »	St	e ₁ e ₂ e ₃ e ₄ F	1	12	05							Région Formose. Tuhihoku. 24°3' N 121°6' E Nanking P 21 ^h 19 ^m 11 ^s 870 ^{km} Manila P 20 07 2220 Chiufeng eP 21 12 1933
12 »	Al	iP iS F	6	07	21				85			Bosnie. Ressenti à Travnik. Graz iP 1 ^h 09 ^m 28 ^s 430 ^{km} Vienne eP 10 24 300
12 »	St	eP i iS i ₁ i ₂ i ₃ eL M ₁ M ₂ M ₃ F	7	24	49				2.920			Algérie (A). Miliana.
												Asie Mineure. 37°5' N 40° E Helwan iP 7 ^h 22 ^m 07 ^s Vienne iP 23 51 2270 ^{km} Tachkent iP 24 16 2430
	Be	e(P) S i L F	7	25								
	Pa	P e L M ₁ M ₂ M ₃ F	7	25	25							
	Al	eL F	7	30								
12 »	St	e(P?) e eL F	8	35	41							Portugal. Ressenti à Lisbonne et dans les districts Alemtejo et Algarve 37°45' N 7°50' W San Fernando iP 8 ^h 32 ^m 27 ^s 290 ^{km} Malaga P 50 Toledo iP 33 05 375
	Pa	eL F	8	40								
13 »	St	eL F	0	00								Émergences.
14 »	Al	iP iS F	7	32	36				125			Algérie. Région Carnot ?
15 »	St	eL F	22	53								Nord de Darvaz. 38°22' N 70°3' E Tachkent iP 23 ^h 13 ^m 00 ^s 337 ^{km} Sverdlovsk iP 19 30 2320 Pulkovo P 21 35 3590
	Pa	traces F	23	20								
16 »	Pa	traces F	7	49								Pas de données.

Date	Station	Phase	Heure			T s	Amplitudes			Δ km	Remarques	Région épiscoptrale probable
			h.	m.	s.		A_N μ	A_E μ	A_Z μ			
16 Nov.	St	eL F	10 47 11 35									
	Pa	eL F	10 56 11 30									Atlantique ? Emergences et longues. La Paz eP 10 ^h 07 ^m 20 ^s 5800km Pasadena eP 16 58 Inscrit à San Fernando, Kew, Uccle.
16 "	St	eL F	12 58 13 37									Données insuffisantes. Chiufeng eP 12 ^h 15 ^m 30 ^s Manila P 17 44
	Pa	traces F	13 18 33									
16 "	St	e eL F	14 04 34 16 20									Iles Carolines. 8° N 142° 5' E Manila P 13 ^h 49 ^m 45 ^s Osaka P 50 38 Batavia P 52 22
	Pa	e L M ₁ M ₂ F	14 16 47 49-50 59-60 16,1		22,23 22,21	7 7	7 6					
18 "	St	iP	3 29 33									
		ipP	30 45									
		iPR ₁	31 40									
		iP _c P?	32 07									
		ipPP	37									
		iS	36 14									
		i(ss?)	37 34									
		eSR ₁	39 41									
		eL	40									
		M ₁	07		9				+6			
			12			+7	-9					
			41 00		14		+8					
			47 35		14	+5						
			4 40									
18 "	Pa	iP	3 30 01									
		pP	31 13									
		PR ₁	33 06									
		S	36 57									
		L	41									
		M ₁ M ₂ F	42-43 44 5,1		9,12 15,11		3 4	5 4				
18 "	Al	eP	3 30 19									
		PR ₁	32 10									
		PR ₂	32 55									
		PR ₃	33 19									
		eS	37 35									
		eL F	42 4									
18 "	Pa	iP	9 30 19									
		eL	10 06									
		F	11,1									
18 "	St	i(P)	9 30 29									
		eL F	50 10 36									
18 "	Al	iP	11 17 12									
		iS F	27 21									
18 "	St	e(P)	15 32 ca									
		eL F	45 16 27									
18 "	Pa	eL	15 48									
		F	16 30									



Date	Sta- tion	Phase	Heure			T s	Amplitudes			Δ km	Remarques	Région épiscoptrale probable
			h.	m.	s.		A _N μ	A _E μ	A _Z μ			
18 Nov. (suite)	St	i(P')	22	59	16	25 25 18	+8	+5	+4	(13.500 ?)	V. Galitzine, Compression. Galitzine.	Archipel Bismarck. 4° S 149° E Manila iP 22 ^h 47 ^m 25 ^s Batavia P 48 34 Vladivostok iP 49 22 Chiufeng iP 51
		i(PR ₁ ?)	23	01	32							
		e ₁	02	25								
		e ₂	08	31								
		e ₃	10	04								
		eL	33									
	M ₁	50	00									
	M ₂	51	40									
	M ₃	59	50									
	F	1	00									
	Pa	iP	22	59	20	20 24 21	8	6	6	(6.300)		
		PR ₁	23	01	30							
PR ₂		02	37									
L		44										
M ₁		52-53										
M ₂		56-57										
M ₃	59	60										
F	1,1											
Al	eP	22	59	31						Int. heure.		
	e	23	02	24								
	e	03	06									
19 "	Pa	eL	8	05							Australie. Sydney R. P 7 ^h 10 ^m 49 ^s 222km La Paz iP 20 50 6075 Pasadena iP 30 28	
		F	9	12								
St	eL	8	12									
	F	36										
21 "	St	e ₁ (P?)	10	27	16						E. Grand pendule. " " " "	Italie. Versilia ; ressenti à Rome IV.
		e ₂	28	20								
		e ₃		25								
		e ₄		31								
		F	31									
21 "	St	e(P)	22	30	(59)	13	3		2.260	V. Galitzine, Int. min. E. Galitzine.	Méditerranée. 32°5 N 27°5 E d'après Baku. Helwan P 22 ^h 27 ^m 51 ^s Belgrade P 29 13,8 Baku eP 30 58	
		eS	34	44								
		eSR ₁	35	24								
		eL	37									
		F	23	00								
	Pa	eL	22	41								
		M	42-43									
		F	23,0									
22 "	Pa	eL	19	05						V. Galitzine.	Tachkent eP 18 ^h 22 ^m 16 ^s 260km	
		F	20.6									
23 "	Pa	traces	7	57						V. Galitzine.	Japon. Rivière Naka.	
		F	8	08								
24 "	Pa	e	13	(00)							Nouvelles Hébrides. 17° S 170° E Riverview iP 12 ^h 39 ^m 12 ^s Amboina iP 42 05 Batavia P 44 22	
		L	59									
St	eL	13	34							Galitzine.		
	F	14	57									
25 "	St	e(P)	9	22	00				30	Grand pendule. " "	Forêt-Noire. Foyer en Bade.	
		i(S)		03,5								
		F	23	20								
26 "	St	eP	12	22	28	10.440 Foyer profond.				V. Galitzine, Compression. " " " " " " " " H. Galitzine. " " V. Galitzine. E. Galitzine.	Philippines. 14° N 120° E Ressenti à Manille VI. Manila iP 12 ^h 09 ^m 35 ^s Phu-Liên P 12 46 Zi-Ka-Wei iP 13 13	
		e(pP)	23	01								
		iPR ₁	26	16								
		i(pPP)	50									
		iS _c P _c S	32	55								
		iS	33	25								
		iPS	34	40								
		e	37	00								
		eSR ₁	39	55								
		eSR ₂	47	22								
		eL	54									
		F	13	50								

Date	Sta- tion	Phase	Heure			T s	Amplitudes			Δ km	Remarques	Région épacentrale probable
			h.	m.	s.		A_N μ	A_E μ	A_z μ			
25 Nov. (suite)	Pa	eP	12	22	39	23	8	4	9.445			
		PR ₁		26	38							
		S		33	10							
		L		50								
		M ₁	13	08-09		21,20						
		M ₂		10								
		M ₃		41								
		F										
26 "	Pa	traces	19	26						V. Galitzine.	Pas de données.	
		F	20	00								
27 "	St	eL	1	39						Galitzine.		
		F	2	42						"	Iles Philippines. 13°25' N 124°30' E Baguio et Butuan. Manila iP 1h15m 37s 405km Tachkent P 24 26 6100 Sverdlovsk iP 25 04 7180	
27 "	Pa	traces	2	18						V. Galitzine.	Pas de données.	
		F		42								
27 "	St	eP'	6	31	25				11.600	V. Galitzine.		
		e		32	19					V. Wiechert.	Célèbes.	
		iPR ₁		33	00					Verticaux.	Ressenti à Manihasa, (Nord Célèbes).	
		i			35					V. Galitzine.	Nord Moluques et ile Sangih.	
		iPR ₂		34	32					"	Ressenti aussi dans	
		i		35	16					"	les Philippines :	
		S _c P _c P _c S		39	01					Galitzine.	degré II à Davao.	
		iPS		40	28					N. Galitzine.	3°5' N 127° E	
		ePPS		42	25					E. Galitzine.	Amboina iP 6h 15m 19s 850km	
		eL		53							Manila iP 17 34 1410	
		F	9	00							Batavia iP 19 07 2560	
	Pa	eP	6	33	21				8.740			
		PR		39	14							
		e(S)		43	(18)							
		L	7	01								
		M ₁		17-18		23,24	11	11				
		M ₂		22-23		25	14					
		M ₃		26-27		21		10				
		F	9,0									
30 "	Pa	iP	2	18	07				9.300		Côte ouest du Mexique. 19° N 105° W	
		(PR)		22	40						Toronto iP 2h 11m 52s 3545km	
		S		28	31	9		14			Ottawa iP 12 18	
		L		43							La Paz iP 14 13 5660	
		M ₁		46-47		39,39	54	67			La Plata P 16 42 7630	
		M ₂		47-48		34,34	70	51				
		M ₃		49-50		38		120				
		M ₄		50-51		26		70				
		F	5,7									
	St	iP	2	18	19				10.100	V. Galitzine, Dilatation.		
		iPR ₁		21	50					"		
		ePR ₂		24	03					N. Galitzine.		
		e		25	57					V. Galitzine.		
		iS _c P _c S		28	49					H. Galitzine.		
		iS		29	21							
		SR ₁		35	15							
		eSR ₃		41	54							
		eL		45								
		M ₁		47	20	25	+ 44					
		M ₂		50	50	20	-108					
		M ₃		51	00	25		-49				
		M ₄		52	15	20		-43				
		M ₅		53	30	20		-47				
		M ₆		58	30	(18)		-37				
		M ₇		59	10	(15)		+50				
		F				15		+35				
		dans le suivant										
	Al	eP	2	18	26				10.400	Int. min.		
		PR ₁		22	00					Int. min.		
		S _c P _c S		29	00							
		eS		29	37							
		eL		48								
		F	3	30								



Date	Station	Phase	Heure			T s	Amplitudes			Δ km	Remarques	Région épiscoptrale probable
			h.	m.	s.		A _N μ	A _E μ	A _Z μ			
30 Nov. (suite)	Be	ePR ₁	2	21	16?							
		eL F	3	48 35								
	Ma	e L F	2 3	22 45 50						Très faibles.		
	30 "	Ma	iP ₀ R ₂ S F	2 3	58 00 54				600			Au large de la côte italienne de l'Adriatique. Ressenti à Ancône, Venise, Trieste; en Yougo-Slavie à Ljubljana, Zora, etc. Ressenti dans toute l'Autriche, et surtout au sud de la Carinthie. 44° N 13° 3 E Vienne iP 2 ^h 59 ^m 25 ^s Belgrade iP 32,4 Graz iP 35
			dans le précéd.									
	St	iP	2	59	46				700	Verticaux, Dilatation.		
		iR ₂ P	3	00	20							
	e			54								
	eS		01	03								
	R ₂ PS ₂			23								
Be	iR ₂ S i i F			(48)						Int. min.		
				02	06							
			5	30	34							
	Be	iP e(S?) ? F	2	59	49				600 77			
			3	00	55							
				01	56							
	Pa	eP eS F	3	00	(28)				1.735		Phases confondues dans les L du précédent.	
					03	30						
					11							
30 "	Pa	traces	11	09-21						V. Galitzine.	Pas de données.	
30 "	St	eL F	21	09 31						Galitzine.	Emergences et longues.	
1 ^{er} Déc.	St	eL F	0	36						Galitzine.	Pasadena iP 0 ^h 03 ^m 33 ^s	
			1	03								
	Pa	traces F	1	05 25						V. Galitzine.		
1 ^{er} "	Pa	eL M F	19	55 59-60		12,13	4	4			Emergences et longues. Données insuffisantes.	
				20,2								
	St	eL F	19	56						Galitzine.		
			20	23								
3 "	St	eL F	3	01						Galitzine.	Honduras. 14° 3 N 88° 8 W Destructeur.	
			4	13								
	Pa	eL M ₁ M ₂ F	3	22		18	7				Agitation irrégulière.	
				26-27		20	9					
				28-29								
				4,0								
4 "	Al	eP S L M F	17	37 47	23 44				9.290		Chili. 19° 7 S 70° 9 W Destructeur dans la région Nord. Destructeur à Zapiga, ressenti à Tacna, d'après La Paz iP 17 ^h 25 ^m 32 ^s 400km La Plata P 28,79 2050 Little Rock eP 34 25	
			18	58 12								
	St	e(P) ePR ₁ e e(S ₁ P ₁ S) e(PS) eL F	17	37	52				(10.656)	V. Galitzine. " " N. Galitzine. V. Galitzine.		
				41	49							
				42	17							
				48	25							
				50	43							
	18	00										
		19	30									



Date	Sta- tion	Phase	Heure			T s	Amplitudes			Δ km	Remarques	Région épiscoptrale probable
			h.	m.	s.		A_N μ	A_E μ	A_Z μ			
4 Déc. (suite)	Pa	e ₁	17	40?								
		e ₂		48	12							
		L	18	09								
		M ₁		14-15		24		23				
5 »	Pa	M ₂		15-16		26,22	20	19				
		F	19,1									
5 »	Pa	eL	20	00?								
		F		15?							Pas d'int. min. Chiufeng eP 19 ^h 54 ^m 12 ^s Nanking P 27	
6 »	St	eL	20	09								
		F		24							Galitzine. »	
6 »	St	eL	1	52								
		F	3	24							II. Galitzine. » Pas de données.	
7 »	St	eL	11	29								
		F	12	03							Galitzine. Pasadena iP 11 ^h 21 ^m 05 ^s	
8 »	St	eL	10	17								
		F	11	06							Galitzine. » Mexique. Little Rock eP 9 ^h 39 ^m 58 ^s Pasadena iP 40 02 St-Louis eP 51	
11 »	St	e	9	41	42							
		i			49							
		i			57							
		F		42	30						H. Grand pendule. » » » Pas de données.	
14 »	Pa	traces	21	25								
		F		48							V. Galitzine. Thibet. 30° N 89° E Tachkent iP 20 ^h 46 ^m 54 ^s 2090km Sverdlovsk iP 49 03 3620	
15 »	St	e	21	27								
		F		33							Galitzine.	
15 »	Ma	eP	2	07	32				(8.150)			
		e		17	06							
		SR ₁ ?		21	24							
		L		25								
		F	3	45								
	St	iP ₇	2	07	58					6.950		
		i		08	02							
		iPR ₁		10	21							
		iPR ₂		11	57							
		iPR ₃		12	41							
		i		13	13							
		iS		16	24							
		iPS			46							
		SR ₁		20	57							
		SR ₂		23	00							
		eL		25								
		M ₁		33	00	18		-110				
M ₂			30	20	+220							
M ₃		34	30	15	+128							
M ₄		35	20	15			-76					
M ₅			30	18			-110					
M ₆		38	20	16			-85					
M ₇			30	16	+130							
M ₈		39	30	16			-103					
M ₉		41	30	16			-87					
F	5	00										
Be	(P)	e	2	08	16					6.980		
		e		12	20							
		(S)		16	52							
		SR ₁		21	16							
Pa	eP	L	4	24								
		F		35								
Pa	eP	P'	2	08	17					7.200		
		iS			27							
		L		17	05							
		L		22								



Date	Sta- tion	Phase	Heure			T s	Amplitudes			Δ km	Remarques	Région épiscoptrale probable
			h.	m.	s.		A _N μ	A _E μ	A _Z μ			
15 Déc. (suite)	Pa (suite)	M ₁	2	35-36		19	240					
		M ₂		36-37		16	150					
		M ₃		38-39		17,17	160	170				
		M ₄		40-41		15	110					
		M ₅		42-43		13			110			
		F	4,6									
	Ba	(P)	2	08	32					7.210	Très faible.	
		S		17	21							
		L			24							
		F	3	45								
	Al	eP	2	08	45							
		e?		13	18							
		iS		17	56							
		L			26							
		F	3	40								
15 "	St	e ₁	19	33								
		e ₂		35	35							
		cL	20	00								
		F		30								
17 "	St	e	3	06								
		cL		13								
		F		32								
	Pa	traces	3	13								
		F		28								
17 "	St	eL	4	24								
		F	5	50								
	Pa	cL	4	58								
		F	5	22								
17 "	St	e(P)	16	13	(20)							
		e		18								
		eL		23								
		M ₁	17	06	30	19						
		M ₂		07	00	18	+13	+9	+14			
	Pa	F	18	14								
e ₁		16	(15)									
e ₂			31									
L			56									
	St	M ₁	17	05-06		26		18				
M ₂			08-09		25,22	19	13					
F		18,1										
18 "	St	cL	11	49								
		F	12	12								
	Pa	eL	11	52								
		F	12	15								
21 "	St	cL	13	02								
		F		42								
	Pa	traces	13	14								
		F		33								
22 "	Pa	e ₁	14	(41)								
		e ₂		52								
		L		58								
		M ₁	15	09		19,31	10	29				
		M ₂		14-15		20	9	29				
		M ₃		15-16		16,19	9	22				
		M ₄		17-18		19		23				
		F	17,0									
St	e(P)	14	42	ca								
	e		45									
	e(S??)		53	ca								
	cL		58									

Au S des nouvelles Hébrides.
 21° S 172° E
 Riverview P 19^h 19^m 34^s
 Amboina iP 23 01
 Manila P 24 47

Région Formose.
 24° 2' N 121° 4' E
 Nanking P 3^h 38^m 04^s 900km
 Manila P 47 1245

Thibet.
 31° 5' N 87° 5' E
 Chiufeng iP 11^h 27^m 28^s 2635km
 Nanking iP 44 2900
 Manila P 29 00 3610

Asie orientale.
 Sverdlovsk P 12^h 45^m 32^s
 Manila P 46 5220km
 Pulkovo iP 47 41 5310

Pacifique.
 Près des côtes
 de l'Amérique Centrale.
 8° 5' N 88° W
 St-Louis eP 14^h 35^m 17^s 29° 7'
 Florissant eP 19 29° 8'
 Washington iP 34 32° 4'

V. Galitzine, Faible.
 E. Galitzine.
 H. Galitzine.



Date	Station	Phase	Heure			T s	Amplitudes			Δ km	Remarques	Région épiscoptrale probable
			h.	m.	s.		A _N μ	A _E μ	A _Z μ			
22 Déc. (suite)	St (suite)	M ₁	15	10	00	18	+13					
		M ₂		12	00	25		+12				
		M ₃		14	30	20	+14					
		M ₄		17	00	16						
		M ₅			30	18		+22		-19		
		M ₆		19	20	20	-16					
		M ₇		21	00	18		-15				
		M ₈		27	30	15			+17			
		F	16	40								
	Al	L	15	00								
		M		09								
		F		35								
23 "	Pa	e ₁	10	10								
		e ₂		19								
		L		38								
		F	11,4									
	St	ePR ₁	10	10	15				10.400	V. Galitzine.		
		e		16	07					"		
		S _c P _c S			24					E. Galitzine.		
		iS		17	27					H. Galitzine.		
		ePS		18	28					V. Galitzine.		
		eL		30						Galitzine.		
		F	11	20						"		
	Al	e(?)	10	10	44							
		i(S)		15	35							
		L		30								
23 "	Pa	eL	23	49						V. Galitzine.		
		F		0	18					"		
	St	eL	23	52						Galitzine.		
		F		0	02					"		
24 "	St	e	15	07						V. Galitzine.		
		eL		21						Galitzine.		
		F		44						"		
	Pa	e	15	21								
		L	16	02								
		M ₁		05-06		11,14	6	9				
		M ₂		06-07		12,12	7	10				
		F	16,8									
	Al	e?	15	57	(15)							
		e?	16	00	31							
		e(L)		06								
		F		30								
24 "	St	eL	16	03						Galitzine.		
		F		50						"		
25 "	St	eL	7	09						Galitzine.		
		F	8	10						"		
28 "	Pa	e	12	00	25							
		L		48								
		F	13	52								
	St	eL	12	40						Galitzine.		
		F	13	50						"		
30 "	St	P	14	04	51				9.510	V. Galitzine, Compression.		
		i		05	06					"		
		ePR ₁		08	38					"		
		ePR ₂		10	06					"		
		ePR ₃		12	21					"		
		S		15	27					N. Galitzine.		
		PS		16	21					E. Galitzine.		
		eSR ₂		24	35					N. Galitzine.		
		eSR ₃		27	03					E. Galitzine.		

Bolivie.
 18° S 67° 5 W
 La Paz iP 9h 53m 46s 520km
 La Plata P 56,30 1730
 Pasadena iP 10 03 50

Açores :
 Ile San Miguel.
 Degré III Angra do Heroismo.
 Cart. Gran. eP 23h 42m 50s 1860km
 Sverdlovsk eP 48 04 6560

Açores :
 Iles Terceira et San Miguel.
 Cart. Gran eP 15h 13m 52s 5145km

Atlantique.
 Pasadena iP 14h 41m 59s
 La Paz iP 42 52 5145km
 Probablement deux séismes.

Cart. Gran. P 15h 53m 34s 220km

Mariannes.
 18° N 148° E
 Hukuoka P 6h 32m 13s
 Manila P 52
 Chiufeng P 34 05

Région Samoa.
 20° S 170° W d'après
 Manila P 11h 34m 54s 8535km

Californie.
 31° 5 N 115° 5 W
 Ressenti au sud de la Californie
 Arizona et nord du Mexique.
 Denver iP 13h 54m 59s 11° 6
 La Paz iP 14 03 11 7410km
 Cart. Gran. iP 05 01



Date	Station	Phase	Heure			T	Amplitudes			Δ	Remarques	Région épiscoptrale probable	
			h.	m.	s.		A _N μ	A _E μ	A _Z μ				km.
30 Déc. (suite)	St (suite)	eL	14	30									
		M ₁		37	00	20							
		M ₂		39	20	18							
		M ₃			30	15			+15				
		M ₄		40	20	18							
		M ₅		41	40	15					+29		
		M ₆		42	30	18					-22		
	M ₇		44	00	15								
	F		16	12	12						-28		
	Pa	e ₁	14	05									
		e ₂		17									
		L		27									
		M ₁		37-38		15		26					
		M ₂		38-39		13,20		22					
		M ₃		41-42		15						32	
F		16,8								24			
Be	eL	14	32										
	F	15	25										
Al	L	14	34										
	F	15	00										
31 »	Pa	traces	9	21									
		F		39									
31 »	Pa	traces	12	18									
		F	13	05									
31 »	Pa	e(P)	18	58	18								
		(S)	19	08	45							(9.340)	
		L		18									
		M ₁		17-28		20		110					
		M ₂		29		19 21		110		80			
		M ₃		31-32		14,19		110		130			
		M ₄		32-33		14,14		120		120			
		F		23,1									
		St	P	18	58	31							
			i			50							9.250
	iPR ₁		19	02	38								
	ePR ₂			03	47								
	ePR ₃			05	35								
	iS		08	54									
	iPS		09	40									
eSR ₁		14	38										
iSR ₂		18	20										
iSR ₃		20	52										
Ba	eL		23										
	M ₁		30	00	18		+156						
	M ₂			30	18				-78				
	M ₃		33	00	16		+165		-85				
	M ₄		34	30	12					-77			
	M ₅		35	20	16				-52				
	M ₆			30	15				-117				
	M ₇		40	30	12					-53			
	M ₈		43	00	15				-63				
	M ₉			30	14				-97				
F		22	30	12						-59			
Al	(P)	18	58	37									
	S?	19	08	58							9.600 ?		
	SR ₁ ?		13	31							N. N. E. N.		
	L		25										
Al	F	20	45										
	eP	18	59	30									
	ePR ₁	19	02	43									
	eS(ouPS)		09	48									
	eL		22										
	M		30										
Al	M ₁		42		16		2,5mm		1,5mm				
	M ₂		47	30	14		1,0mm						
	F	20	50										

Philippines. Sud de Leyte
près Manille, et Butuan.
Manila P 1^h 03^m 34^s 640km
Pas de données.

Californie :
31° 8' N 115° W
Pasadena eP 18^h 46^m 35^s
Denver eP 48 25 11° 3
Little Rock iP 50 09 19° 7
La Paz eP 56 33 7725km

V. Galitzine.
V. Galitzine.
(9.340)
9.250 V. Galitzine, Compression.
»
»
»
»
N. Galitzine.
E. Galitzine.
H. Galitzine.

N.
N. E.
N.

Int. heure.